

გიორგი ბურჯალიანი

სითხისა და მასის ცვლის პროცესების გამოკვლევა
გაწიბოვნებულ-ზედაპირიან თბომცვლელ
აპარატებში

წარდგენილია დოქტორის აკადემიური ხარისხის
მოსაპოვებლად

საქართველოს ტექნიკური უნივერსიტეტი
თბილისი, 0175, საქართველო
2012წ.

საქართველოს ტექნიკური უნივერსიტეტი

სამშენებლო ფაკულტეტი

ჩვენ, ქვემოთ ხელისმომწერნი ვადასტურებთ, რომ გავეცანით გიორგი ბურჯალიანის მიერ შესრულებულ სადისერტაციო ნაშრომს დასახელებით: „სითხისა და მასის ცვლის პროცესების გამოკვლევა გაწიბოვნებულ - ზედაპირიან თბომცვლელ აპარატებში” და ვაძლევთ რეკომენდაციას საქართველოს ტექნიკური უნივერსიტეტის სამშენებლო ფაკულტეტის სადისერტაციო საბჭოში მის განხილვას დოქტორის აკადემიური ხარისხის მოსაპოვებლად.

თარიღი:

ხელმძღვანელი:

რეცენზენტი:

რეცენზენტი:

საქართველოს ტექნიკური უნივერსიტეტი

2012წ.

ავტორი:	გიორგი ბურჯალიანი
დასახელება:	„სიონისა და მასის ცვლის პროცესების გამოკვლევა გაწიბოვნებულ-ზედაპირიან თბომცვლელ აპარატებში”
ფაკულტეტი:	სამშენებლო ფაკულტეტი
აკადემიური ხარისხი:	დოქტორი
სხდომა ჩატარდა:	თარიღი

ინდივიდუალური პიროვნებების ან ინსტიტუტების მიერ ზემოობის დასახელების დისერტაციის გაცნობის მიზნით მოთხოვნის შემთხვევაში მისი არაკომერციული მიზნებით კოპირებისა და გავრცელების უფლება მინიჭებული აქვს საქართველოს ტექნიკურ უნივერსიტეტს.

ავტორის ხელმოწერა

ავტორი ინარჩუნებს დანარჩენ საგამომცემლო უფლებებს და არც მთლიანი ნაშრომის და არც მისი ცალკეული კომპონენტების გადაბეჭდვა ან სხვა რაიმე მეთოდით რეპროდუქცია დაუშვებელია ავტორის წერილობითი ნებართვის გარეშე.

ავტორი ირწმუნება, რომ ნაშრომში გამოყენებული საავტორო უფლებებით დაცულ მასალებზე მიღებულია შესაბამისი ნებართვა (გარდა იმ მცირე ზომის ციტატებისა, რომლებიც მოითხოვენ მხოლოდ სპეციფიურ მიმართებას ლიტერატურის ციტირებაში, როგორც ეს მიღებულია სამეცნიერო ნაშრომების შესრულებისას) და ყველა მათგანზე იღებს პასუხისმგებლობას.

1. რეზიუმე

ვენტილაციის და ჰაერის კონდიცირების ტექნიკის განვითარების მთავარ ამოცანას წარმოადგენს ენერგიის მოხმარების, მეტალისშემცველობის შემცირება, მათი მუშაობის საიმედოობის და ეფექტურობის ამაღლება. ამ როგორი ამოცანის გადაწყვეტას განსაკუთრებული მნიშვნელობა ენიჭება ამჟამად, როცა ძალზედ ძირია როგორც სათბობი და შესაბამისად ენერგია, ასევე მეტალური ნაწარმი. პრობლემის აქტუალობა განპირობებულია იმით, რომ ენერგიის მოხმარების მხრივ თბომომარაგების, ვენტილაციის და ჰაერის კონდიცირების ტექნიკას ერთ-ერთი პირველი ადგილი უჭირავს სახალხო მეურნეობის ენერგომომხმარებელ დარგებს შორის. ცნობილია, რომ ნორმალურ პირობებში თბომომარაგების, ვენტილაციის და ჰაერის კონდიცირების სისტემების მუშაობისთვის იხარჯება ქვეყანაში მოპოვებული სათბობის დაახლოებით 35%. მაღალია აგრეთვე აღნიშნულ სისტემებში მეტალის, ხშირ შემთხვევაში ძვირადდირებული ფერადი ლითონების ხარჯი. ამასთან დაკავშირებით აუცილებელია თბომომარაგების, ვენტილაციის და ჰაერის კონდიცირების სისტემების მუშაობაზე დახარჯული ენერგიის და მეტალის მაქსიმალურად შესაძლო შემცირება გახდეს ერთ-ერთ მთავარ ამოცანად ამ სისტემების პროექტირებისა და ექსპლუატაციის დროს.

ზემოთ აღნიშნულიდან გამომდინარე, ნაშრომის მიზანია, გამოვავლინოთ რიგი ტექნიკური წინადადებების მიზანშეწონილობა, რომელიც საშუალებას მოგვცემს შეგამციროთ თბური თუ ელექტროენერგიის, მეტალის ხარჯი ვენტილაციის და ჰაერის კონდიცირების სისტემებში. ამ ამოცანის გადაჭრის ძირითადი პირობაა ვენტილაციის და ჰაერის კონდიცირების სისტემების ძირითადი სითბომასათამცვლელი მოწყობილობების შემდგომი სრულყოფა.

აღნიშნული მიზნის მისაღწევად ნაშრომში გადაჭრილია შემდეგი ამოცანები:

გაწიბოვნებულზედაპირიანი თბომცვლელი აპარატების თბოტექნიკური გაანგარიშების ოეორიული საფუძვლების დამუშავება სითბოსა და მასათა ცვლის პროცესებზე სხვადასხვა ფაქტორების ზემოქმედების გათვალისწინებით.

მშრალი და მოსარწყავი წიბოების ტემპერატურული ველის და ეფექტურობის კოეფიციენტის თეორიული ფორმულების მიღება თბოცვლის კოეფიციენტისა და ჰაერის ტემპერატურის ცვლილების გათვალისწინებით.

სწორი წიბოს ეფექტურობის კოეფიციენტის გამოსათვლელი ფორმულა სითხის ორგანიზებული ნაკადის სხვადასხვა მიმართულების, ხარჯისა და საწყისი პარამეტრების შემთხვევაში

ექსპრიმენტალური გამოკვლევების მეთოდიკის დამუშავება და მათი განხორციელება.

ნაშრომის მეცნიერებული სიახლე:

გაწიბოვნებულზედაპირიანი თბომცვლელი აპარატების გაანგარიშებისას დიდი მნიშვნელობა ენიჭება წიბოს ეფექტურობის კოეფიციენტის სწორ განსაზღვრას. წიბოს ეფექტურობის კოეფიციენტი ჩვეულებრივ გამოითვლება თბოგამტარობის დიფერენციალური განტოლებიდან მიღებული ფორმულებით, დაშვებით, რომ წიბოს შემომვლები ჰერის ტემპერატურა მუდმივია. ასეთი დაშვება გამართლებულია მცირე ტემპერატურული დაწნევების და დაბალი წიბოების დროს. პრაქტიკაში სშირად გვხვდება მაღალი ტემპერატურული დაწნევები, მაგალითად ღუმელებიდან გამომავალი აირებიდან სითბოს ართმევის დროს. ასევე ხშირია მაღალი წიბოებით აღჭურვილი თბომცვლელი აპარატები. ასეთ შემთხვევაში საჭირო ხდება წიბოს შემომვლები ჰაერის ან სითბოს ტემპერატურის ცვლილების გათვალისწინება. გასათვალისწინებულია აგრეთვე

ჰაერის ან სითხის ნაკადისა და წიბოს სისქეში სითბოს კონდუქტიური ნაკადის ურთიერთმიმართულება.

სითხის ორგანიზებული ნაკადის, წიბოს ფუძის გასწვრივ მოძრაობის შემთხვევაში, განხილვას ექვემდებარება სწორი წიბო შეუზღუდავი სიგრძით, რომლის ზედაპირზე ტემპერატურული ველი თრგანზომილებიანია. შედგენილია დიფერენციალური განტოლება და ამოხსნილია იგი ცვლადთა განცალკევების მეთოდით. მიღებულია წიბოს ზედაპირის ორგანზომილებიანი ველის და წიბოს ეფექტურობის კოეფიციენტის გამოსახულება ჰაერის ტემპერატურის ცვლილების გათვალისწინებით. დადგენილია, რომ წიბოს სიგრძის გაზრდით იზრდება მისი ეფექტურობის კოეფიციენტი. მოსარწყავზედაპირიან თბომცვლელ აპარატებში გაწიბოვნებული ზედაპირის ტემპერატურული ველის და მათი ეფექტურობის კოეფიციენტის გამოსათვლელი ფორმულები, ისევე როგორც მშრალი წიბოების კლასიფირი გაანგარიშების შედეგები მიღებულია დაშვების საფუძველზე, რომ ჰაერსა და წიბოს ზედაპირს შორის თბოცვლის კოეფიციენტი მუდმივია. რეალურად, ვენტილაციის და ჰაერის კონდიცირების სისტემებში გამოყენებულ თბომცვლელ აპარატებში, განსაკუთრებით მოსარწყავზედაპირიან აპარატებში, თბოცვლის კოეფიციენტი იცვლება.

ამოცანის რეალიზებისგან მიღებული შედეგები:

პროექტის განხორციელების შედეგად მიღებულ იქნა გაწიბოვნებულზედაპირიანი თბომცვლელი აპარატის ეფექტურობის კოეფიციენტის დაზუსტებული გამოსათვლელი ფორმულები, ჰაერის ტემპერატურის და თბოცვლის კოეფიციენტის ცვლილების გათვალისწინებით, რომელიც შესაძლებელია გამოყენებულ იქნეს როგორც აღნიშნული სისტემების შესარჩევად პროექტირებისას, ასევე კონსტრუირების დროს მათი ენერგოეფექტურობის ამაღლების მიზნით.

ჩატარებული გამოკვლევათა შედეგები საშუალებას იძლევა გავაკეთოთ შემდეგი დასკვნები:

გამოკვლეულ იქნა ჰაერის ტემპერატურის ცვლილების გავლენა სწორი წიბოს ტემპერატურულ ველზე და მის ეფექტურობის კოეფიციენტზე წიბოს სისქეში კონდუქტიური ნაკადისა და ჰაერის ნაკადის ურთიერთმიმართულებათ გათვალისწინებით. მიღებულია წიბოს ტემპერატურული ველის და ეფექტურობის კოეფიციენტის გამოსათვლელი ფორმულები აღნიშნულ ნაკადთა თანმხვედრი და ურთიერთსაწინააღმდეგო მიმართულების დროს.

გამოკვლეულ იქნა ჰაერსა და წიბოს ზედაპირს შორის თბოცვლის კოეფიციენტის გავლენა როგორც მშრალი, ასევე მოსარწყავზედაპირიანი წიბოების ეფექტურობის კოეფიციენტზე. მიღებულია, რომ მშრალი წიბოების შემთხვევაში ეს გავლენა შეიმჩნევა წიბოს სიმაღლის ნახევრიდან. მოსარწყავზედაპირიან წიბოებზე წყლის ორთქლის კონდენსაციის დროს თბოცვლის კოეფიციენტის ცვლილება გავლენას ვერ ახდენს ეფექტურობის კოეფიციენტის ზრდაზე მშრალ წიბოებთან შედარებით, რაც საშუალებას იძლევა გაიზარდოს წიბოს სიმაღლე. წყლის აორთქლების შემთხვევაში, თბოცვლის მაღალი კოეფიციენტის გამო, მოსარწყავზედაპირიანი წიბოს ეფექტურობის კოეფიციენტი მცირდება და საჭირო ხდება ძალზე დაბალი წიბოების ან კაპილარული ზედაპირების გამოყენება.

გამოკვლეულ იქნა შემთხვევა, როცა სითხის ნაკადი მოძრაობს სწორი წიბოს ფუძის პერპენდიკულარულად. სითხის საწყისი ტემპერატურა და წიბოს ფუძის ტემპერატურა სხვადასხვაა და სითხის ტემპერატურა განსხვავდება წიბოს ზედაპირის ტემპერატურისაგან. მიღებულია ფორმულები სითხის და წიბოს ზედაპირზე ტემპერატურული ველის განსასაზღვრავდ. მიღებულია აგრეთვე სწორი წიბოს ეფექტურობის კოეფიციენტის გამოსათვლელი ფორმულა სითხის ორგანიზებული ნაკადის სხვადასხვა მიმართულების, ხარჯისა და საწყისი პარამეტრების შემთხვევაში.

შექმნილი იქნა ოთხი ექსპერიმენტალური სტენდი და ექსპერიმენტების შედეგად მიღებული მონაცემები დატანილ იქნა თეორიულ მრუდებთან ერთად. თეორიული და ექსპერიმენტალური მონაცემების დამაკმაყოფილებელმა შეთანაწყობამ გვიჩვენა თეორიული დასკვნების სისტორე.

RESUME

To the competitor G. Burjaliani's dissertation work: "Fluid and mass exchange processes research in heat equipments rib surface"

The main objectives of development of ventilation and air conditioning equipment consist in reducing of energy consumption and steel intensity, improvement of reliability and efficiency of its operation. Solution to this difficult task is particularly important nowadays, when very expensive are the fuel and accordingly energy, as well as metalworks. Urgency of the problem is stipulated due to the fact that energy consumption by heat supplies, ventilation and air conditioning equipment is in one of first places in the power consumption fields of national economy. It is known that under normal circumstances for functioning of heat supplies, ventilation and air conditioning systems in the country is consumed approximately 35% of fuel resources. Also are high in mentioned systems consumption of metal, in many cases the high-costly non-ferrous metals. In this order it is necessary to become one of the main task at design and operation for heat supplies, ventilation and air conditioning systems the maximal possible reduction of power consumption and metal intensity of these systems.

Based on the above mentioned, the objective of work is to reveal the expediency of lot of technical proposals due that is possible to reduce the heat or power consumption and metal intensity in ventilation and air conditioning systems. The basic condition of task solving is the further improvement of ventilation and air conditioning systems and equipment.

For achievement of these objectives in this work are solved the following tasks:

The development of theoretical foundations of heat equipment's ribbed surfaces thermotechnical calculation with taking into account impact of various factors on mass and heat change processes.

The theoretical formulae of dry and irrigated ribs temperature field and efficiency ratio with taking into account the changes in thermal conductivity and air temperature is obtaining.

The design formulae of straight rib efficiency coefficient calculation in the cases of organized fluid flow in different directions, consumption and initial parameters.

The development of experimental research methods and their implementation.

The scientific novelty of work:

At calculation of heat equipment rib surfaces great importance has the correct determination of heat efficiency ratio. The rib efficiency ratio generally is calculated due the obtained from rib thermal conductivity differential equation formulae, with assumption that to the rib flow air temperature is constant. Such assumption is justified at low temperature pressure and low ribs. In practice often occurs a high temperature pressure, for example, at heat exchange from furnaces gases-out. Also often occurs equipped with high-ribs heat exchanging devices. In this case it becomes necessary to take into account the change of rib flow air or heat temperature. The directions of air or fluid flows and in rib thickness of heat conductivity flows also would be considered.

In the case of fluid organized flow motion along the rib basis, will be considered and the straight rib with unlimited length on which surface the temperature

field is two-dimensional. Are generated differential equation and it is solved by variables separation method. The expression of rib surface two-dimensional field and rib effectiveness ratio with taking into account the change in air temperature is obtained. It is defined that due the rib length increasing improves its efficiency ratio. The design formulae for the irrigated surfaces heat exchanging devices temperature field of rib surfaces and their efficiency ratio as well as dry ribs classical calculation results are obtained on the basis of assumption that the heat exchanging ratio between rib surface and air is constant. In fact, in applied in heat exchanging devices of ventilation and air conditioning systems, especially in irrigated devices, the thermal conductivity is changed.

The results obtained from the task realization:

As the result of project implementation is obtained rif surfaced heat exchanging equipment efficiency ratio defined design formulae, taking into account the changes in air temperature and thermal conductivity that would be applied at these systems selection at planning, as well as at design, in order to improving their energy efficiency.

The carried our researches results give the possibility to make the following conclusions:

Are studied influence of changes in air temperature on straight rib's temperature field and its efficiency ratio with taking into account the air and heat conductivity flow directions in rib thickness. The rib temperature field and efficiency coefficient calculation formulae are obtained at mentioned flows following and reverse directions.

Is studied influence of thermal conductivity between the air and rib surface on efficiency coefficient in the case of dry, as well as irrigated rib efficiency ratio. Is obtained that this effect is observed in the case of dry rib from half-rib height. On irrigated ribs at the condensation of water vapor changes in thermal conductivity isn't influenced on improvement of efficiency coefficient in comparison with the dry ribs that gives the possibility increase the rib height. In the case of water evaporation due the high thermal conductivity the irrigated rib's efficiency ratio is reduced and it is necessary to apply very low rib or capillary surface.

Is studied the case when the fluid flow is moving in perpendicular to the straight rib base. The fluid initial temperature and the rib's basis temperature are different and fluid's temperature is different from the rib surface temperature. The formulae for definition of temperature field if liquid and the rib surface temperature are obtained. Also is obtained design formula for straight rib efficiency at different, consumption and initial parameters of organized fluid flow.

Are created four experimental rigs and obtained as a result of the experiments confidential data will be plotted on theoretical curves. The satisfactory comparison of theoretical and experimental data showed the correctness of theoretical conclusions.

The results of the dissertation works are published in 4 scientific articles and are reported in the 3 international scientific conferences.

The total value of the work makes up to 113 pages; it includes an introduction, five chapters, conclusions and references that consist from 124 titles.

შინაარსი

შესაბამი	14
თავი 1. პროგლობათა თანამედროვე მდგრადერობის ანალიზი და გამოკვლევათა ამოცანები	18
თავი 2. გაწიგოვნებული ზედაპირის ეფექტურობის გამოკვლევა ჰაერის ტემპერატურის ცვლილების ბაზალის შინებით	32
თავი 3 წიბოს ზედაპირსა და ჰაერს შორის თბოცვლის პოეზიის განვითარება წიბოს ეფექტურობაზე	49
თავი 4. სითხის ორგანიზებული ნაკადის გაცვლენა მოსარტყავა, გაზიგოვნებულ ზედაპირიანი თბოცვლების აკარატების ეფექტურობაზე.....	59
4.1 სწორი წიბოს ზედაპირის ტემპერატურული ველის და ეფექტურობის გამოკვლევა სითხის ორგანიზებული ნაკადის ფუძის პერპენდიკულარული მოძრაობის დროს	59
4.2 სწორი წიბოს ზედაპირის ტემპერატურული ველის და ეფექტურობის გამოკვლევა სითხის ორგანიზებული ნაკადის ფუძის გასწვრივად მოძრაობის დროს	68
4.3 მრგვალი წიბოს ზედაპირის ტემპერატურული ველის და ეფექტურობის გამოკვლევა სითხის ორგანიზებული ნაკადის შემთხვევაში	74
თავი 5. წიბოს ზედაპირის ტემპერატურული ველის ესავრიმენტალური გამოკვლევა	80
5.1 ექსპერიმენტალური დანადგარის აღწერა	99
5.2 საზომი ხელსაწყოები და გაზომვის მეთოდიკა	99
ძირითადი დასტნები	103
ლიტერატურა	107

ცხრილების ნუსხა

<i>ცხრილი 1</i> k_1 –ს წიბოს სიმაღლეზე დამოკიდებულების მანქანური გამოთვლის შედეგები.....	37
<i>ცხრილი 2</i> k_2 –ს წიბოს სიმაღლეზე დამოკიდებულების მანქანური გამოთვლის შედეგები.....	38

ნახაზების ნუსხა

ნახაზი 1 სითბოს გადაცემა გაწიბოვნებულ ზედაპირზე, სითბოსა და მასის ერთდროული ცვლის დროს.....	30
ნახაზი 2 სითბოს კონდუქტიური ნაკადისა და ჰაერის ნაკადის ურთიერთსაწინააღმდეგო მიმართულების დროს პროცესის მოდელი და კოორდინატთა სისტემა.....	33
ნახაზი 3 წიბოების ეფექტურობათა საშუალო კოეფიციენტის, წიბოს სიმაღლეზე დამოკიდებულების გრაფიკი.....	40
ნახაზი 4 თბომცვლელი აპარატი “მილი მილში”.....	41
ნახაზი 5 სწორი წიბო, მუდმივი სისქით და თბოგამტარობით, რომლის სიგრძე შეუზღუდავია.....	43
ნახაზი 6 სწორი წიბოს ეფექტურობის კოეფიციენტის დამოკიდებულება მის სიგრძეზე წიბოს სხვადასხვა სიმაღლის დროს.....	47
ნახაზი 7 წიბოს ზედაპირზე, გრაფიკულად გამოსახული ტემპერატურული ველი.....	50
ნახაზი 8 სწორკუთხა და სამკუთხა პროფილის რადიაური წიბოების ტემპერატურათა განაწილების მრუდები ცვლადი თბოგაცემის კოეფიციენტის პირობებში.....	52
ნახაზი 9 ტენის გამოყოფის ξ კოეფიციენტის დამოკიდებულება $t_f - t_b$ სხვაობაზე.....	54
ნახაზი 10 წიბოს ეფექტურობის კოეფიციენტის დამოკიდებულება მის სიმაღლეზე ჰაერის სხვადასხვაგვარი თერმოდინამიკური დამუშავების დროს.....	57
ნახაზი 11 წიბოს სისქეში, სითბოს კონდუქტიური ნაკადის და სითხის ნაკადის პროცესის მოდელი და კოორდინატთა სისტემა.....	60
ნახაზი 12 წიბოების ზედაპირის და სითხის ტემპერატურების განაწილების მრუდები.....	65
ნახაზი 13 სითხის ნაკადიანი წიბოს ეფექტურობის კოეფიციენტის დამოკიდებულება წიბოს სიმაღლეზე.....	67
ნახაზი 14 სწორი წიბო, მუდმივი სისქით და თბოგამტარობით,	

რომლის სიგრძე შეუზღუდავია.....	69
ნახაზი 15 თბომცვლელი აპარატები, რომლის ცილინდრული ზედაპირები (მილები) აღჭურვილია მრგვალი წიბოებით.....	75
ნახაზი 16 ერთგვაროვანი მასალის მრგვალი წიბო, მუდმივი სისქით.....	76
ნახაზი 17 მრგვალი წიბოს ეფექტურობის დამოკიდებულება სიდიდეზე $m(r_2 - r_1)$ სითხის სხვადასხვა ხარჯის დროს.....	78
ნახაზი 18 პირველი ექსპერიმენტალური სტენდის სქემა.....	81
ნახაზი 19 ექსპერიმენტული გამოკვლევების რეზულტატები.....	83
ნახაზი 20 მეორე ექსპერიმენტალური სტენდის სქემა.....	86
ნახაზი 21 ექსპერიმენტალური დანადგარი.....	88
ნახაზი 22 ექსპერიმენტალური გამოკვლევების შედეგები.....	90
ნახაზი 23 მესამე ექსპერიმენტალური სტენდის სქემა.....	94
ნახაზი 24 ექსპერიმენტალური გამოკვლევების შედეგები.....	95
ნახაზი 25 მეოთხე ექსპერიმენტალური სტენდის სქემა.....	97
ნახაზი 26 ექსპერიმენტალური გამოკვლევების შედეგები.....	98
ნახაზი 27 თერმოწყვილების ელექტრო სქემა.....	101

გადლიერება

მადლობას კუხდი ტექნიკის მეცნიერებათა კანდიდატს, სრულ
პროფესორ ოთარ ფურცელაძეს გაწეული დასმარებისა და
კონსულტაციებისათვის.

შესავალი

შენობებისა და ნაგებობების მიკროკლიმატის კონდიცირება ითვლება ერთ-ერთ ძირითად დარგად სამშენებლო მეცნიერებასა და ტექნიკაში.

მიკროკლიმატის კონდიცირების სისტემა უზრუნველყოფს შიგა კლიმატურ პირობებს. პ.კ.ს. შენობაში შეიძლება მუშაობდეს გათბობა-გენტილაციის სისტემასთან ერთობლივად. პ.კ.ს. შენობაში ან უფრო საპასუხისმგებლო სათავსებში ქმნის აუცილებელ კლიმატურ პირობებს, წლის როგორც ცივ, ისე ცხელ პერიოდში.

პაერის მდგომარეობის განსაზღვრა ითვლება აუცილებელ, ხშირ შემთხვევაში გადამწყვეტ პირობად ახალი ტექნოლოგიური პროცესების განხორციელებისათვის. კვების, მსუბუქი მრეწველობის, ტყავის, ქადალდის მრეწვწლობიდან აუცილებელია გამოიყოს ელექტრო მოწყობილობების წარმოება, ნახევარგამტარების, ტელერადიოსისტემის, ზუსტი მანქანათმშენებლობის, ხელოვნური მასალების წარმოება. სამედიცინო დაწესებულებებში, საჭირო ტემპერატურის და ტენიანობის მქონე სუფთა, სტერილური საჭარო გარემოს შექმნა აუცილებელია წარმატებული მკურნალობისათვის. საჭირო ტემპერატურისა და ტენიანობის რეჟიმის შექმნას დიდი მნიშვნელობა ენიჭება მეცნოველეობისა და კულტივაციის ნაგებობებში მიმდინარე ტექნოლოგიის პროცესებში და აგრეთვე სოფლის მეურნეობის პროდუქტების გადამუშავება-შენახვაში. არსებითი მნიშვნელობა ენიჭება პ.კ.ს.-ს ელექტრო გამომთვლელი მანქანების შეუფერხებული მუშაობისათვის, რომლის დროსაც წარმოებს გამოკვლევები ქიმიის, ფიზიკის და ბიოლოგიის სფეროში. შენობებსა და სათავსებში კულტურული და ისტორიული ფასეულობების შენახვისათვის აუცილებელია დავიცვათ განსაზღვრული კლიმატური პირობები, რომელსაც ქმნის პ.კ.ს.

ვენტილაციის და პაერის კონდიცირების ტექნიკის განვითარების მთავარ ამოცანას წარმოადგენს ენერგიის მოხმარების, მეტალისშემცველობის შემცირება, მათი მუშაობის საიმედოობის და ეფექტურობის ამაღლება. ამ რთული ამოცანის გადაწყვეტას

განსაკუთრებული მნიშვნელობა ენიჭება ამჟამად, როცა ძალზედ ძვირია როგორც სათბობი და შესაბამისად ენერგია, ასევე მეტალური ნაწარმი. პრობლემის აქტუალობა განპირობებულია იმით, რომ ენერგიის მოხმარების მხრივ თბომომარაგების, ვენტილაციის და ჰაერის კონდიცირების ტექნიკას ერთ-ერთი პირველი ადგილი უჭირავს სახალხო მეურნეობის ენერგომომხმარებელ დარგებს შორის. ცნობილია, რომ ნორმალურ პირობებში თბომომარაგების, ვენტილაციის და ჰაერის კონდიცირების სისტემების მუშაობისთვის იხარჯება ქვეყანაში მოპოვებული სათბობის დაახლოებით 35%. მაღალია აგრეთვე აღნიშნულ სისტემებში მეტალის, ხშირ შემთხვევაში ძვირადლირებული ფერადი ლითონების ხარჯი. ამჟამად, ჩვენთან გრძელდება გაუმართლებლად ბევრი სათბობის, ელექტროენერგიის, მეტალის და სხვა რესურსების ხარჯვა ნაციონალური შემოსავლის ერთულზე გაანგარიშებით. ამასთან დაკავშირებით აუცილებელია თბომომარაგების, ვენტილაციის და ჰაერის კონდიცირების სისტემების მუშაობაზე დახარჯული ენერგიის და მეტალის მაქსიმალურად შესაძლო შემცირება გახდეს ერთ-ერთ მთავარ ამოცანად ამ სისტემების პროექტირებისა და ექსპლუატაციის დროს. ყველა ენერგოდამზოგი ღონისძიება, რომელიც ამცირებს ენერგიის ხარჯვას როგორც ტექნოლოგიური პროცესების შესრულებისას, ასევე საყოფაცხოვრებო-კომუნალურ მეურნეობაში და საზოგადოებრივ შენობებში, შეიძლება გაერთიანდნენ ორ ჯგუფში.

ღონისძიებათა პირველი ჯგუფი ითვალისწინებს ენერგოდამზოგ ტექნოლოგიურ პროცესებზე და მოწყობილობებზე გადასვლას; თბომომარაგების, ვენტილაციის და ჰაერის კონდიცირების დანადგარების მარგი ქმედების კოეფიციენტის გაზრდას მათი სრულყოფის საფუძველზე; მეორადი ენერგორესურსების და ტექნოლოგიური პროცესების ენერგოშემცვლელი ნარჩენების გამოყენებას.

ენერგოდამზოგ ღონისძიებათა მეორე ჯგუფში შედიან გეოთერმული წყლების და მზის ენერგიის გამოყენება სხვადასხვა დანიშნულების შენობების გათბობის, ვენტილაციის და ჰაერის კონდიცირებისთვის; შენობათა თბური დაცვის ოპტიმიზაცია; იზოლირებული თბოგამტარებიდან სითბოს დანაკარგების შემცირება;

გარე პაერის გათბობაზე სითბოს ხარჯის შემცირება; გათბობის, ვენტილაციის და პაერის კონდიცირების სისტემების სრულყოფა, მათი მუშაობის დისპეჩერიზაცია და ავტომატიზაცია.

მოცემულ ნაშრომში შევეცადეთ სწორედ ამ თვალსაზრისით გამოვავლინოთ რიგი ტექნიკური წინადადებების მიზანშეწონილობა, რომელიც საშუალებას მოგვცემს შევამციროთ თბური თუ ელექტროენერგიის, მეტალის ხარჯი ვენტილაციის და პაერის კონდიცირების სისტემებში. ამ ამოცანის გადაჭრის ძირითადი პირობაა ვენტილაციის და პაერის კონდიცირების სისტემების ძირითადი სითბომასათამცვლელი მოწყობილობების შემდგომი სრულყოფა. აუცილებელია თბომომარაგების, ვენტილაციის და პაერის კონდიცირების სისტემების მუშაობაზე დახარჯული ენერგიის და მეტალის მაქსიმალურად შემცირება გახდეს ერთ-ერთ მთავარ ამოცანად ამ სისტემების პროექტირებისა და ექსპლუატაციის დროს.

გაწიბოვნებულზედაპირიანი თბომცვლელი აპარატების გაანგარიშებისას დიდი მნიშვნელობა ენიჭება წიბოს ეფექტურობის კოეფიციენტის სწორ განსაზღვრას. წიბოს ეფექტურობის კოეფიციენტი ჩვეულებრივ გამოითვლება თბოგამტარობის დიფერენციალური განტოლებიდან მიღებული ფორმულებით, დაშვებით, რომ წიბოს შემომვლები პაერის ტემპერატურა მუდმივია. ასეთი დაშვება გამართლებულია მცირე ტემპერატურული დაწნევების და დაბალი წიბოების დროს. პრაქტიკაში ხშირად გვხვდება მაღალი ტემპერატურული დაწნევები, მაგალითად ღუმელებიდან გამომავალი აირებიდან სითბოს ართმევის დროს. ასევე ხშირია მაღალი წიბოებით აღჭურვილი თბომცვლელი აპარატები, მაგალითად პაერგამობობი კონვექტორები. ასეთ შემთხვევაში საჭირო ხდება წიბოს შემომვლები პაერის ტემპერატურის ცვლილების გათვალისწინება. გასათვალისწინებულია აგრეთვე პაერის ან სითხის ნაკადისა და წიბოს სისქეში სითბოს კონდუქტიური ნაკადის ურთიერთმიმართულება.

განხილვას ექვემდებარება სწორი წიბო შეუზღუდავი სიგრძით, რომლის ზედაპირზე ტემპერატურული ველი ორგანზომილებიანია. შედგენილია დიფერენციალური განტოლება და ამოხსნილია იგი ცვლადთა განცალკევების მეთოდით. მიღებულია წიბოს ზედაპირის

ორგანზომილებიანი ველის და წიბოს ეფექტურობის კოეფიციენტის გამოსახულება პაერის ტემპერატურის ცვლილების გათვალისწინებით. დადგენილია, რომ წიბოს სიგრძის გაზრდით იზრდება მისი ეფექტურობის კოეფიციენტი. მოსარწყავზედაპირიან თბომცვლელ აპარატებში გაწიბოვნებული ზედაპირის ტემპერატურული ველის და მათი ეფექტურობის კოეფიციენტის გამოსათვლელი ფორმულები, ისევე როგორც მშრალი წიბოების კლასიკური გაანგარიშების შედეგები მიღებულია დაშვების საფუძველზე, რომ პაერსა და წიბოს ზედაპირს შორის თბომცვლის კოეფიციენტი მუდმივია.

ერთ-ერთ მთავარ ღონისძიებად მიგვაჩნია თბომცვლელი აპარატების გაწიბოვნებულ ზედაპირებზე სითხის (წყლის) ორგანიზებული ნაკადის შექმნა. აღნიშნული გამოკვლევების შედეგად მიღებული იქნა, რომ სითხის ორგანიზებული ნაკადი ზრდის წიბოს ეფექტურობის კოეფიციენტს, პაერიდან წყლის ორთქლის კონდენსაციის შემთხვევაში, ანუ პაერის გაცივების და გაშრობის დროს, რის გამოც შესაძლებელია გაიზარდოს წიბოს სიმაღლე. პაერის გათბობის და ტენიანობის პირობებში, როცა საკმაოდ მაღალია აორთქლებადი სითხიდან თბოგაცემის საერთო კოეფიციენტი, წიბოს ეფექტურობის კოეფიციენტი პირიქით მცირდება. ეს უკანასკნელი დასტურდება სხვა ავტორთა გამოკვლევებით [5, 6]. ამიტომ, მაღალწიბოებიანი მოსარწყავი თბომცვლელი ზედაპირები, რაც იძლევა მეტალის მნიშვნელოვან ეკონომიას, მიზანშეწონილია გამოყენებულ იქნას პაერის გასცივებლად და გასაშრობად. პაერიდან წყლის ორთქლის კონდენსაციის პირობებში.

მოსარწყავი გაწიბოვნებული ზედაპირების გამოყენების ძირითად სფეროს წარმოადგენს ზედაპირული პაერგამცივებლები, რომელთა დანიშნულებაა პაერის გაცივება და გაშრობა ვენტილაციის და პაერის კონდიციონების სისტემებში. ამ აპარატების კონსტრუირებისა და პროექტირებისათვის საჭიროა მთლიანად აპარატში მიმდინარე სითბოსა და მასის ცვლის პროცესების შესწავლა, ექსპერიმენტალური მონაცემების საფუძველზე სითბოსა და მასის ცვლის კოეფიციენტების დადგენა და მათი განზოგადება კრიტერიალური განტოლებების სახით.

თავი 1. პროგლემათა თანამედროვე მდგრადარეობის ანალიზი და გამოკვლევათა ამოცანები.

თბომომარაგების, გენტილაციის და ჰაერის კონდიცირების სისტემების ერთ-ერთ მთავარ კომპონენტს წარმოადგენს თბომცვლელი აპარატები, რომელთაგან გამოყენების თვალსაზრისით მნიშვნელოვანია გაწიბოვნებულზედაპირიანი მშრალი ან მოსარწყავი აპარატები. ეს აპარატები გამოიყენება როგორც ჰაერის გასაცივებლად და გასაშრობად, ანუ როცა ჰაერიდან მის ზედაპირზე ხდება წყლის ორთქლის კონდენსაცია, ასევე ჰაერის გასათბობად და გასატენიანებლად, ზედაპირიდან სითხის (წყლის) აორთქლების დროს. კვლევის მიზანია, მიღებულ იქნეს აღნიშნული თბომცვლელი აპარატების ეფექტურობის კოეფიციენტის გამოსათვლელი ფორმულები ჰაერის ტემპერატურისა და ჰაერსა და ზედაპირს შორის თბომცვლის კოეფიციენტის ცვლილების გათვალისწინებით, რაც კლასიკურ ლიტერატურაში არ არის ცნობილი და რომელიც საშუალებას მოგვცემს დაგსახოთ დონისძიებები აღნიშნული აპარატების ეფექტურობის ასამაღლებლად.

გენტილაციის და ჰაერის კონდიცირების სისტემების ძირითადი სითბომასათაცვლელი აპარატები იყოფა ორ ჯგუფად: კონტაქტური, ანუ „სკელი“ ტიპის და ზედაპირული, ანუ „მშრალი“ ტიპის აპარატებად. კონტაქტურ აპარატებს მიეკუთვნებიან სარწყავი საკანი, ქაფიანი, ერლიფტური, სხვადასხვა მასალის, ფორმის და ზომის მოსარწყავსაცმებიანი აპარატები. ამ აპარატებში ჰაერის თერმოდინამიური დამუშავება ხორციელდება ჰაერისა და მეორადი გარემოს (წყალი, მარილის ხსნარი) უშუალო კონტაქტის შედეგად. მიუხედავად მათი გარკვეული უნივერსალობისა თბოტექნიკური თვალსაზრისით, ეს აპარატები ხასიათდებიან რიგი უარყოფითი თვისებებით: სითხის გასაფრქვევად საჭირო ენერგიის მნიშვნელოვანი ხარჯი, ნაკლები საექსპლუატაციო საიმედოობა მფრქვევანების მტკრით ამოცების გამო, დიდი გაბარიტები (სარწყავი საკანი), ჰაერის მოძრაობის შეზღუდული სიჩქარე, მოცულობითი სითბოსა და მასის

ცვლის კოეფიციენტების დაბალი მნიშვნელობები, სათავსებში ბაქტერიებისა და მიკროორგანიზმების გავრცელება და სხვა.

ზედაპირულ თბომცვლელ აპარატებში ჰაერი ეხება გლუვი ან გაწიბოვნებული მილების ზედაპირს, რომელთა შიგნით მიედინება წყალი, მარილის ხსნარი ან მაცივარაგენტი. ასეთი ტიპის აპარატებს მიეკუთვნებიან კალორიფერები და ზედაპირული ჰაერგამაცივებლები. მათი ძირითადი უარყოფითი თვისებებიდან აღსანიშნავია. მეტალის დიდი ხარჯი და ჰაერის თერმოდინამიური დამუშავების შეზღუდულობა, გინაიდან ვერ ხორციელდება ჰაერის დატენიანება.

ზედაპირული თბომცვლელი აპარატების უარყოფითი თვისებები გარკვეულწილად გამოირიცხება მოსარწყავ ზედაპირულ თბომცვლელ აპარატში, რომელიც წარმოადგენს გაწიბოვნებულზედაპირიან თბომცვლელ აპარატს, რომლის გარე ზედაპირზე ხდება რეცირკულირებული წყლის მიფრქვევა. ასევე ეს აპარატები გამოიყენება როგორც სამაცივრო მანქანების და თბური ტუმბოების საჰაერო კონდენსატორები. დამუშავებულია მათი გამოყენების რაციონალური სქემები ჰაერის კონდიცირების სისტემებში [1]. ჰაერის გასაცივებლად და გასაშრობად ამ აპარატების გამოყენების საკითხები განხილულია ნაშრომში [2]. მიზანშეწონილია მოსარწყავზედაპირიანი თბომცვლელი აპარატების გამოყენება მეორადი ენერგორესურსების უტილიზაციის და ბუნებრივი ენერგორესურსების დაბალპოტენციალური წყაროების გამოყენების დანადგარებში [3] აღნიშნული აპარატების მოსარწყავ გაწიბოვნებულ ზედაპირებზე მიმდინარეობს მეტად რთული თბოფიზიკური პროცესი, როდესაც ერთდროულად წარმოებს და ურთიერთდაკავშირებულია სითბოსა და მასის ცვლა, სითხის და ჰაერის ნაკადების პიდროდინამიკა და აეროდინამიკა, წიბოს სისქეში სითბოს გავრცელება თბოგამტარობით. ექსპერიმენტალური მონაცემების შედეგად აღრიცხულ სითბოსა და მასის ცვლის პროცესების ინტენსივიკაციას „მშრალი“ ტიპის თბომცვლელ აპარატებთან შედარებით, მკვლევარები ხსნიან დამატებით, გაფრქვეული წყლის წვეთების მიერ შექმნილი, სითბომასათაცვლის ზედაპირით [3, 4] ამ პრობლემისადმი მიძღვნილ არც ერთი ნაშრომში არ განიხილება

გაწიბოვნებულ ზედაპირზე შექმნილი სითხის (წყლის) ნაკადის გავლენა წიბოს ტემპერატურულ ველზე და შესაბამისად წიბოს ეფექტურობაზე.

განსაკუთრებულად საჭიროდ მიგვაჩნია შევჩერდეთ გაწიბოვნებული ზედაპირის ეფექტურობის კოეფიციენტზე. ცნობილია, რომ გაწიბოვნებულზედაპირიანი თბომცვლელი აპარატის მუშაობის ეფექტურობას განსაზღვრავს ე.წ. წიბოს ეფექტურობის კოეფიციენტი, რომელიც წარმოადგენს წიბოს ზედაპირიდან სითბოს ნაკადის Q_{v} ფარდობას იგივე ზედაპირიდან სითბოს ნაკადთან $Q_{\text{v}0}$ როცა წიბოს ზედაპირის ტემპერატურა T_{v} ტოლია წიბოს ფუძის ტემპერატურისა T_{v} .

$$\eta_{\text{v}} = \frac{Q_{\text{v}}}{Q_{\text{v}0}} \quad (1)$$

„მშრალი” წიბოს თბოგამტარობის თეორია საქმაოდ კარგად არის დამუშავებული და გაშუქებული შრომებში [5, 6, 7]. ნაკლებადაა შესწავლილი და იწვევს აზრთა სხვადასხვაობას წიბოს მუშაობა სითბოსა და მასის ერთდროული ცვლის პირობებში, როცა წიბოს ზედაპირზე წარმოიქმნება სითხის აფსკი.

ნაშრომში [3] მოცემულია წიბოს ზედაპირზე ტემპერატურის განაწილების განმსაზღვრელი ძირითადი განტოლება შემდეგი სახით:

$$\frac{\partial}{\partial \bar{x}_1} \left(\frac{\partial i_p}{\partial x_1} \bar{f} \right) + \frac{\partial i_p}{\partial \bar{x}_2} \left(\frac{\partial i_p}{\partial x_2} \bar{f} \right) = m^2_1 \left(i_{\text{v}} - i \right), \quad (2)$$

$$\text{სადაც } \bar{x}_1 = x_1 / \delta; \quad \bar{x}_2 = x_2 / \delta; \quad \bar{f} = f^{yg} / \delta^2;$$

$$m_1 = \left(\frac{2\alpha c_H}{\lambda \delta c_3} \right)^{\frac{1}{2}} \quad (3)$$

λ -წიბოს მასალის თბოგამტარობის კოეფიციენტია ვტ/ტK f^{yg} - წიბოს განივი კვათის ფართია, მოსული პერიმეტრის ერთეულზე $\text{მ}^2/\text{მ}$;

α -თბოცვლის კოეფიციენტია ვტ/ტ 2 გრად;

i_{v}, i - პაერის სითბოშემცველობებია აფსკის ზედაპირზე და პაერის ნაკადში კჯოული/კგ. განტოლება (2-2) ანალოგიურია წიბოს

თბოგამტარობის განტოლებისა „მშრალი” თბოცვლის პირობებში [2]. განსხვავება მხოლოდ იმაში მდგომარეობს, რომ წიბოს ტემპერატურის ფუნქციას ასრულებს ენტალპია i_{f} . ამის გარდა პარამეტრული

კოეფიციენტი m_1 , შეიცავს გაჯერებული ჰაერის სითბოტევადობის C_b ფარდობას ჰაერის სითბოტევადობასთან C_{g} , ეს შეფარდება „მშრალი” თბოცვლის შემთხვევაში ტოლია ერთისა. ამის შედეგად ავტორები გვთავაზობენ ნაშრომში [5] მოყვანილი სხვადასხვა კონფიგურაციის წიბოების ეფექტურობის კოეფიციენტების დამოკიდებულებები თ პარამეტრისაგან გამოყენებულ იქნეს წიბოს ეფექტურობის გამოსათვლელად ერთდროული სითბოსა და მასის ცვლის პირობებში. მხოლოდ საჭიროა პარამეტრი m_1 განისაზღვროს (2-3) ფორმულის საშუალებით. ისინი თვლიან, რომ ამ შემთხვევაში სრული სითბოს ნაკადი წიბოს გარე ზედაპირიდან (ან გარე ზედაპირისკენ) იზრდება მასათა ცვლის გამო. ამიტომ წიბოს თერმიული ეფექტურობის კოეფიციენტი, რომელიც სწორკუთხა პროფილის h სიმაღლის მქონე სწორი წიბოს შემთხვევაში ტოლია:

$$\eta_{\text{f}} = \frac{thmh}{mh}, \quad (4)$$

$$m = \sqrt{\frac{2\alpha}{\lambda\delta}}$$

გამოდის ნაკლები, ვიდრე „მშრალი” თბოცვლის შემთხვევაში. ფორმალურად ამას ითვალისწინებს ის გარემოება, რომ $m_1/m = (c_H/c_g)^{1/2} \geq 1$ და m -ს გაზრდით წიბოს თერმიული ეფექტურობა მცირდება.

ნაშრომში [4] მოყვანილია ვენტილაციის და ჰაერის კონდიცირების სისტემებში ჰაერის გასათბობად და გასატენიანებლად გამოყენებული მოსარწყავზედაპირიან თბომცვლელ აპარატებში მიმდინარე სითბოსა და მასის ცვლის პროცესების თეორიული და ექსპერიმენტალური გამოკვლევების შედეგები. შემოთავაზებულია მოსარწყავზედაპირიანი თბომცვლელი აპარატების გაანგარიშების სამი მოდელი: აფსკურ - წვეთოვანი, აფსკური და გამარტივებული აფსკურ -

წვეთოვანი. აფსკურ - წვეთოვან მოდელში გათვალისწინებულია, რომ მომრწყველი სითხე წიბოთა შორის სივრცეში მოძრაობს როგორც აფსკის სახით, რომლითაც დაფარულია თბომცველი ზედაპირი, ასევე წვეთების სახით, რომელთა მოძრაობა ემთხვევა დასამუშავებული ჰაერის მოძრაობის მიმართულებას. მოდელის ღირსებას წარმოადგენს მოსარწყავზედაპირიან თბომცვლელ აპარატში მიმდინარე პროცესების საქმაოდ სრული ასახვა. ამასთან, აღნიშნული მოდელის პრაქტიკული რეალიზაცია აწყდება რიგ წინააღმდეგობებს, რომლებიც დაკავშირებულია აფსკის და წვეთების სახით მოძრავი სითხის სარჯების ცალ - ცალკე განსაზღვრის აუცილებლობასთან.

აღნიშნული სირთულის გათვალისწინებით განხილულია აგრეთვე თბომცვლელი აპარატის გამარტივებული ფიზიკური მოდელი-აფსკური, სადაც ნავარაუდევია, რომ მთელი სითხე აპარატში მოძრაობს აფსკის სახით. ასეთი გამარტივების შედეგად არ განიხილება სითბოსა და მასის ცვლის პროცესი წვეთებსა და ჰაერს შორის; მაგრამ აფსკური მოდელით გაანგარიშებული მომრწყველი სითხის საბოლოო ტემპერატურა გამოდის უფრო მაღალი ვიდრე ექსპერიმენტალურადად მიღებული. ამასთან დაკავშირებით შემოთავაზებულია შუალედური, გამარტივებული აფსკურ-წვეთოვანი მოდელი, სადაც როგორც პირველ მოდელში ჩათვლილია, რომ აპარატის ზედაპირზე აფსკის სახით მოძრაობს მომრწყველი სითხის მხოლოდ ნაწილი. შესაძლებლადაა მიჩნეული ჰაერისა და აფსკის პარამეტრების გაანგარიშება აფსკური მოდელის განტოლებათა საშუალებით, რომლებშიც მომრწყველი სითხის საერთო ხარჯი შეცვლილია სითხის ხარჯით აფსკში.

თითოეული განხილული მოდელისათვის ნაშრომში მიღებულია დიფერენციალურ განტოლებათა სისტემა, რომელთა დახმარებით და ეგმ-ს გამოყენებით ექსპერიმენტალური გამოკვლევების საფუძველზე გამოთვლილ იქნა სითბოსა და მასის ცვლის კოეფიციენტები ფირფიტოვანი და სპირალური გაწიბოვნების მქონე მიღების ორ და სამ რიგიანი მოსარწყავზედაპირიანი თბომცვლელი აპარატებისთვის.

წყლის აფსკით დაფარული წიბოს თერმიული ეფექტურობის კოეფიციენტის გამოსათვლელად მიღებულია ფორმულა:

$$\eta_V = \frac{\operatorname{th} \left(h \sqrt{\frac{2K_H}{\lambda \delta}} \right)}{h \sqrt{\frac{2K_H}{\lambda \delta}}} \quad (5)$$

სადაც K_H - წიბოს ზედაპირსა და ჰაერს შორის სითბომასათაცვლის კოეფიციენტია, რომელიც განისაზღვრება ექსპერიმენტალურად მიღებული შემდეგი კრიტერიალური განტოლების საშუალებით:

$$K_{iH} = c Re^n \mu^m \quad (6)$$

სადაც კირპიჩოვის მოდიფიცირებული კრიტერიუმი

$$K_{iH} = \frac{K_H D_{\text{აქ}}}{\lambda_3};$$

$$\text{რეინოლდსის კრიტერიუმი } Re = \frac{W_3 D_{\text{აქ}}}{v_3};$$

$$\text{მორწყვის კოეფიციენტი } \mu = \frac{G_b}{G_3};$$

$D_{\text{აქ}}$ - ექვივალენტი დიამეტრია, ტოლი წიბოებს შორის მანძილისა ბ; $\lambda_{\text{აT}}$ v_e - ჰაერის თბოგამტარობის და სიბლანტის კინემატიკური კოეფიციენტებია, შესაბამისად $\partial \Phi / \partial K$ და θ^2 / ν_e ; W_3 -ჰაერის მოძრაობის სიჩქარეა, θ / ν_e ; G_b, G_3 -მომრწყველი სითხისა და ჰაერის სარჯებია, კგ/სთ; c, n, m - ექსპერიმენტალურად მიღებული ემპირიული კოეფიციენტებია, ფირფიტოვანი წიბოებისთვის $c = 0.567$, $n = 0.648$, $m = 0.44$.

ეველა ზემოთგანხილულ ნაშრომში დაშვებულია, რომ გაწიბოვნებული ზედაპირების შემომვლები ჰაერის ტემპერატურა მუდმივია და არ არის შესწავლილი მისი ცვლილების გავლენა როგორც წიბოს ტემპერატურულ კელში, ასევე მისი ეფექტურობის კოეფიციენტზე. ასევე არ არის საფუძვლიანად შესწავლილი წიბოს ზედაპირსა და ჰაერს შორის თბოცვლის კოეფიციენტის გავლენა მის

ეფექტურობაზე. ამიტომ წინამდებარე ნაშრომში მიზნად დავისახეთ ამ ხარვეზის აღმოფხვრა.

ვენტილაციის და ჰაერის კონდიცირების ტექნიკის სფეროში ენერგეტიკული და სათბობი და ოესურსების გამოყენების ეფექტურობის ამაღლების, კაპიტალური და ექსპლუატაციური დანახარჯების შემცირების ერთ-ერთ შესაძლო გზას წარმოადგენს ჰაერის თერმოდინამიური დამუშავებისთვის მოსარწყავზედაპირიანი თბომცვლელი აპარატების გამოყენება.

ზედაპირული თბომცვლელი აპარატები მორწყვის გარეშე მუშაობენ: ჰაერის „მშრალად“ გათბობის ან გაცივების რეჟიმში, რაც დამახასიათებელია სავენტილაციო გამთბობ - მიმწოდებელი საქნებისთვის, ადგილობრივი და ზონალური ჰაერგამაცივებლებისთვის, ფანჯრისქვეშა ვენტილატორული და ჰემპტიური დამყვანებისთვის; ჰაერის ერთდროული გაცივების და გაშრობის რეჟიმში, რაც ჩვეულებრივ ხორციელდება ავტონომიურ, ადგილობრივ და ცენტრალურ კონდიციონერებში; ჰაერის ლრმად გაცივების და გაშრობის რეჟიმში (თრთვილის გამოყოფით), როცა ჰაერგამაცივებლის მილებში მიედინება მარილის ხსნარი ან მაცივარ აგენტი.

ჰაერის და სიცივის მატარებლის მდგომარეობის და რაოდენობის გარკვეული შეთავსების შემთხვევაში შესაძლებელია, რომ ჰაერგამაცივებლის წინა ნაწილში განხორციელდეს ჰაერის მიერ მხოლოდ აშკარა სითბოს გაცემა, ხოლო უკანა ნაწილში კი ერთდროულად სითბოს და მასის გაცემა. მის გარდა, ზედაპირულ ჰაერგამაცივებელში გამორიცხულია ჰაერის დატენიანების შესაძლებლობა. ესენი და სხვა უარყოფითი მოვლენები გამოირიცხება, თუ მოვაწყობთ მოსარწყავ ზედაპირულ თბომცვლელ აპარატს, რომელიც წარმოადგენს გაწიბოვნებულზედაპირიანი თბომცვლელი აპარატის და დამოკლებული სარწყავი საკნის კომბინაციას, სადაც ხდება გაწიბოვნებულ ზედაპირზე რეცირკულირებული წყლის მიურქვევა.

გაწიბოვნებული ზედაპირების შედარებით მცირე რაოდენობის რეცირკულირებული წყლით მორწყვით ხორციელდება ჰაერისა და თბომცვლელი ზედაპირის მტვრისგან გაწმენდა, ჰაერიდან

არასასიამოვნო სუნის მოცილება და სითბოსა და მასის ცვლის პროცესების ინტენსიფიკაცია. ამის გარდა ზედაპირის მორწყვით შესაძლებელია სათავსში ჰაერის ფარდობითი ტენიანობის რეგულირება, მაგალითად ნამის წერტილის მეთოდით. ზედაპირული თბომცვლელი აპარატების მორწყვა საშუალებას იძლევა განხორციელდეს ჰაერის დამუშავების ყველა პროცესი, რომლებიც მიმდინარეობს სარწყავ საკანში, რის გამოც მოსარწყავი ზედაპირული თბომცვლელი აპარატი, როგორც სარწყავი საკანი, თბოტექნიკური თვალსაზრისით უნივერსალურია. ამასთან, მას არ ახასიათებს სარწყავი საკნის უარყოფითი თვისებები: მფრქვევანების დამტვერიანება, დიდი გაბარიტები, მოცულობითი სითბოსა და მასის ცვლის კოეფიციენტების დაბალი მნიშვნელობები, სათავსებში ბაქტერიებისა და მიკროორგანიზმების გავრცელება და სხვა.

კონვექციური სითბოს მასის ცვლა, რომელიც მიმდინარეობს მოსარწყავ ზედაპირულ თბომცვლელ აპარატებში ჰაერიდან წყლის ორთქლის კონდენსაციის ან წყლის აორთქლების შემთხვევაში წარმოადგენს რთულ ფიზიკურ პროცესს, ვინაიდან ერთდროულად ხორციელდება სითბოს ნივთიერებების მასის და იმპულსის გადაცემა. ამ მოვლენის შესწავლას აქვს როგორც თეორიული, ისე პრაქტიკული მნიშვნელობა რიგი ტექნიკური პრობლემების გადასწყვეტად ამ ტიპის აპარატების კონსტრუირების და გაანგარიშებისას.

ჰაერის კონდიციონების, ვენტილაციის და სამაცივრო ტექნიკის სისტემებში გამოყენებულ მოსარწყავზედაპირიან თბომცვლელ აპარატებში მიმდინარე სითბოსა და მასის ცვლის პროცესების გამოკვლევა მოცემულია ე.ე. კარპისის [45], ლ.მ. ზესმანოვიჩის [17;113], ა.ა გოგოლინის [46], [48], ო.ო. კოკორინის [54], მ.ბ. რაიაკის [55], [50], გ.ს. კულიკოვის [52], ბ.ი. ბიალის [49] და სხვათა შრომებში.

აღნიშნულ ნაშრომთა ანალიზი უფლებას გვაძლევს დაგასკვნათ, რომ ისინი ძირითადად ექსპერიმენტალური ხასიათისაა, ხოლო თეორიული გამოკვლევები მიძღვნილია ცალკეული კერძო ამოცანების ამოხსნისადმი. მათ მიერ ჩატარებული გამოკვლევების შედეგად მიღებული დამოკიდებულებათა კერძო ხასიათი გამომდინარეობს არა მხოლოდ სხვადასხვა გაწიბოვნების ტიპის და თბომცვლელი

აპარატების მილთა რიგის რიცხვით, მორწყვის მეთოდით და მომრწყველი სითხის სახით, სითბოსა და მასის ცვლის პროცესის ხასიათით და ჰაერის თერმოდინამიური დამუშავების რეჟიმით, არამედ ექსპერიმენტალური შედეგების ინტეგრალების სახით განზოგადების წესით, რომელიც არ ითვალისწინებს სითბოსა და მასის ცვლის ცალკეული ეტაპების ურთიერთ კავშირის თავისებურებებს.

მოსარწყავზედაპირიან თბომცვლელ აპარატებში მიმდინარე სითბოსა და მასის ცვლის პროცესების ექსპერიმენტალური გამოკვლევების შედეგების განზოგადება ჩვეულებრივ ხდებოდა „მშრალი” ტიპის ზედაპირული თბომცვლელი აპარატის ანალოგიურად, ჰაერსა და მილების შიგნით მოძრავ სითხეს შორის სითბოს გადაცემის კოეფიციენტის საშუალებით [11, 48, 49, 56]. მიმდინარე პროცესების ასეთი გამარტივების შედეგად მარტივი და მოსახერხებელი ხდება თბური დატვირთვების გაანგარიშება; მაგრამ შეუძლებლად გვესახება მოსარწყავზედაპირიანი თბომცვლელი აპარატების კონსტრუქციის სრულყოფის მიმართულების შერჩევა, მათი მუშაობის რეჟიმის ფართო დიაპაზონში ოპტიმიზირება სითბოს გადაცემის პირობითი კოეფიციენტების საფუძველზე. ამისათვის საჭიროა სითბოსა და მასის ცვლის პროცესების უფრო დეტალურად, დიფერენცირებულად შესწავლა გარემოთა შორის სითბოს და მასის გადატანის ეტაპების განმსაზღვრელი შემდგენ მახასიათებლების გათვალისწინებით: სითხიდან მილის შიგა ზედაპირზე თბოგაცემის კოეფიციენტი; α_1 ; მილის ერთი ან მრავალშრიანი კონსტრუქციის თერმული წინადობა R_{T_f} ; მილის გარე გაწიბოვნებული ზედაპირის ეფექტურობის კოეფიციენტი ε_f ; გაწიბოვნებული ზედაპირიდან მომრწყველ სითხეზე თბოგაცემის კოეფიციენტი α_f ; სითხესა და ჰაერს შორის თბოცვლის კოეფიციენტი α_s .

სითბოს გადაცემის თეორიიდან ცნობილი დამოკიდებულებების საშუალებით პრაქტიკისათვის დამაკმაყოფილებელი სიზუსტით შესაძლებელია განისაზღვროს მხოლოდ კოეფიციენტები α_b ერთფაზიანი სითხის მოძრაობის სხვადასხვა რეჟიმში და მილის

ერთშრიანი კედლის თერმული წინაღობა. α_1 , α_2 , δ ε_1
 კოეფიციენტების მნიშვნელობათა განსაზღვრა გაძნელებულია
 მომრწყველი სითხის არასტაბილური ნაკადისა და გამყოფი
 ზედაპირების ცვლადი სტრუქტურის პირობებში სითბოსა და მასის
 ცვლის პიდროდინამიური პროცესების სირთულის გამო. ამ
 პირობებისთვის რეკომენდირებულია გამოყენებულ იქნეს თბომცვლელი
 აპარატები გლუვი მილებით ან მილები ხრახნილი ნაჭდევით, რომელთა
 გაწიბოვნების კოეფიციენტი ≤ 2 .

განხილულ და ყველა სხვა ნაშრომში, რომლებშიც შეისწავლება
 სითბოსა და მასის ცვლის პროცესები მოსარწყავზედაპირიან
 თბომცვლელ აპარატებში, პროცესების სრული მათემატიკური მოდელის
 შემუშავებისა და პრაქტიკულად გამოყენების სირთულის გამო,
 დაშვებულია მნიშვნელოვანი გამარტივება მომრწყველი სითხის
 პარამეტრების ერთგვაროვნების შესახებ. ნავარაუდევია, რომ
 მომრწყველი სითხის ტემპერატურა პაერ-სითხის მთელ გამყოფ
 ზედაპირზე მუდმივია. ეს წინაპირობა საკმაოდ ეფექტურად გამოიყენება
 ისეთი ინტენსიფიცირებული კონტაქტური აპარატების გაანგარიშებისას,
 როგორიცაა ერლიფტური, ბარბოტაჟული, ძაფიანი და სხვა მაღულარი
 შრის მქონე აპარატები [60, 61]. გარკვეულწილად გამართლებულია
 აგრეთვე ასეთი დაშვება ზედაპირულ თბომცვლელ აპარატებში, როცა
 ზედაპირზე მისხურებული წყლის ჭავლის მიმართულება
 პერპენდიკულარულია წყლის აფსკის მოძრაობის მიმართულებისა,
 მაგრამ სრულიად გაუმართლებელია, როცა ეს მიმართულებები
 ერთმანეთს ემთხვევა. უკანასკნელ შემთხვევაში მორწყული წყლის
 ტემპერატურა, აპარატის სიმაღლის მიმართულებით მნიშვნელოვნად
 შეიცვლება.

აღნიშნული პრობლემებისადმი მიძღვნილ შრომებში წიბოს
 ეფექტურობის შემცირების მიზეზად მოყვანილია ფაზური გარდაქმნების
 პირობებში გაწიბოვნებული ზედაპირიდან თბომცვლის საერთო
 კოეფიციენტის გაზრდა. „მშრალი” თბომცვლის პირობებში თბოგაცემის
 კოეფიციენტის გაზრდა ნამდვილად იწვევს წიბოს ეფექტურობის
 კოეფიციენტის შემცირებას, რაც აშკარად გამომდინარეობს ამ
 კოეფიციენტის გამომთვლელი ფორმულიდან, მაგრამ

მოსარწყავზედაპირიან თბომცვლელ აპარატებში წიბოს ზედაპირზე იქმნება სითხის (წყლის) ნაკადი, რომელიც მოქმედებს წიბოს ზედაპირზე ტემპერატურის განაწილების ხასიათზე და შესაბამისად წიბოს ეფექტურობის კოეფიციენტზე. ეს საკითხი არცერთ ნაშრომში არ არის განხილული.

ამასთან დაკავშირებით, ჰაერსა და მოსარწყავ გაწიბოვნებულ ზედაპირს შორის სითბოსა და მასის ცვლის მექანიზმის შესწავლის მიზნით, საჭიროა გამოკვლეული იქნეს წიბოს ზედაპირზე ტემპერატურის განაწილება და მისგან გამომდინარე წიბოს ეფექტურობა მომრწყველი სითხის ორგანიზებული ნაკადის სხვადასხვა მიმართულების, ხარჯის და საწყისი პარამეტრების პირობებში.

ჰაერის კონდიცირების დანადგარების აპარატებში ჰაერის თბოტენიანობის დამუშავების პროცესების განხილვა მნიშვნელოვან სირთულეს აწყდება, რაც მოითხოვს პროცესის სურათის აღწერის გამარტივებას და ხშირად შემოიფარგლება მხოლოდ ექსპერიმენტალური შედეგებით. ექსპერიმენტალური შედეგები მიღებულია სხვადასხვა აპარატებისათვის, რომლებშიც ჰაერის დამუშავება ხდება ცხელი ან ცივი წყლის მკვრივ ზედაპირთან კონტაქტის საშუალებით. ერთ აპარატში ჰაერი გადის უძრავ ან მოძრავ შეწიბოებულ ზედაპირში, მეორეში მოსარწყავ სივრცეში, მესამედ წყალი ჩაედინება აფსკის გადამტან ზედაპირზე, წარმოქმნის ტალღოვან ან გლუვ ზედაპირს. მიმოცვლითი გარემოს ნაკადის მიმართულება და მათ შორის ხანგრძლივობა შეიძლება იყოს სხვადასხვანაირი.

ჰ.კ.ს. მრავალ აპარატში პროცესების გადატანა ხორციელდება ჰაერსა და სველ ზედაპირს შორის. ასეთი აპარატები მუშაობენ ლიუისის თანაფარდობასთან მიახლოვებულ შესრულებულ პირობებში. განხილულ შემთხვევაში ცხადი სითბოსა და ტენის გადატანის განტოლებები (ფარული სითბოს გადატანა) შეიძლება შეიცვალოს ენტალპიის გადატანის ერთ განტოლებად (სრული სითბოს გადატანა)

$$\frac{1}{\omega} \frac{\partial I}{\partial T} + \frac{\partial I}{\partial x} = \frac{\alpha_t F_{YD}}{\omega f c_s} (1_{\eta_{\text{დ}}^{\text{დ}}} - 1) \quad (7)$$

განვიხილოთ პარტსევადი თბომცვლელის ელემენტი დადგენილი რეჟიმის პირობებში სითბოსა და მასათა ცვლის ერთობლივ გადამკვეთ პროცესებში, როცა თბომცვლელის ზედაპირზე პარტის მხრიდან წარმოიქმნება კონდენსატის აფსკი (ნახ. 1) თბური ნაკადის განმსაზღვრელი განტოლება განისაზღვრება:

სითხის კედლის შიგა ზედაპირიდან.

$$\theta = \alpha_{\omega} (t_{\text{b}_{\text{ფ}\text{ღ}1}} - t_{\omega}) F \quad \text{კედლის გარე ზედაპირიდან} \quad \theta = \frac{\lambda_{CT}}{\delta_{CT}} (t_{\text{b}_{\text{ფ}\text{ღ}2}} - t_{\text{b}_{\text{ფ}\text{ღ}1}}) F$$

$$\text{აფსკის გარე ზედაპირიდან} \quad \theta = \frac{\lambda_{II}}{\delta_{II}} (t_{\text{b}_{\text{ფ}\text{ღ}3}} - t_{\text{b}_{\text{ფ}\text{ღ}2}}) F$$

პარტიდან აფსკის ზედაპირისკენ (მერკელის განტოლება)

$$\theta = \frac{\alpha_{\text{3}}}{C_{\text{3}}} (I_{\text{3}} - I_{\text{b}_{\text{ფ}\text{ღ}3}}) F.$$

გამოვიყენეთ ნაჯერი პარტის ენტალპიის წრფივი აპროქსიმაცია და მივიღეთ განტოლება:

$$\theta = \frac{\alpha_{\text{3}} C_{\text{б}\text{օ}\text{x}}}{C_{\text{3}}} \left(\frac{IB}{C_{\text{б}\text{օ}\text{x}}} - \frac{A}{C_{\text{б}\text{օ}\text{x}}} - t_{\text{b}_{\text{ფ}\text{ღ}3}} \right) F$$

განტოლების გარდაქმნით მივიღებთ:

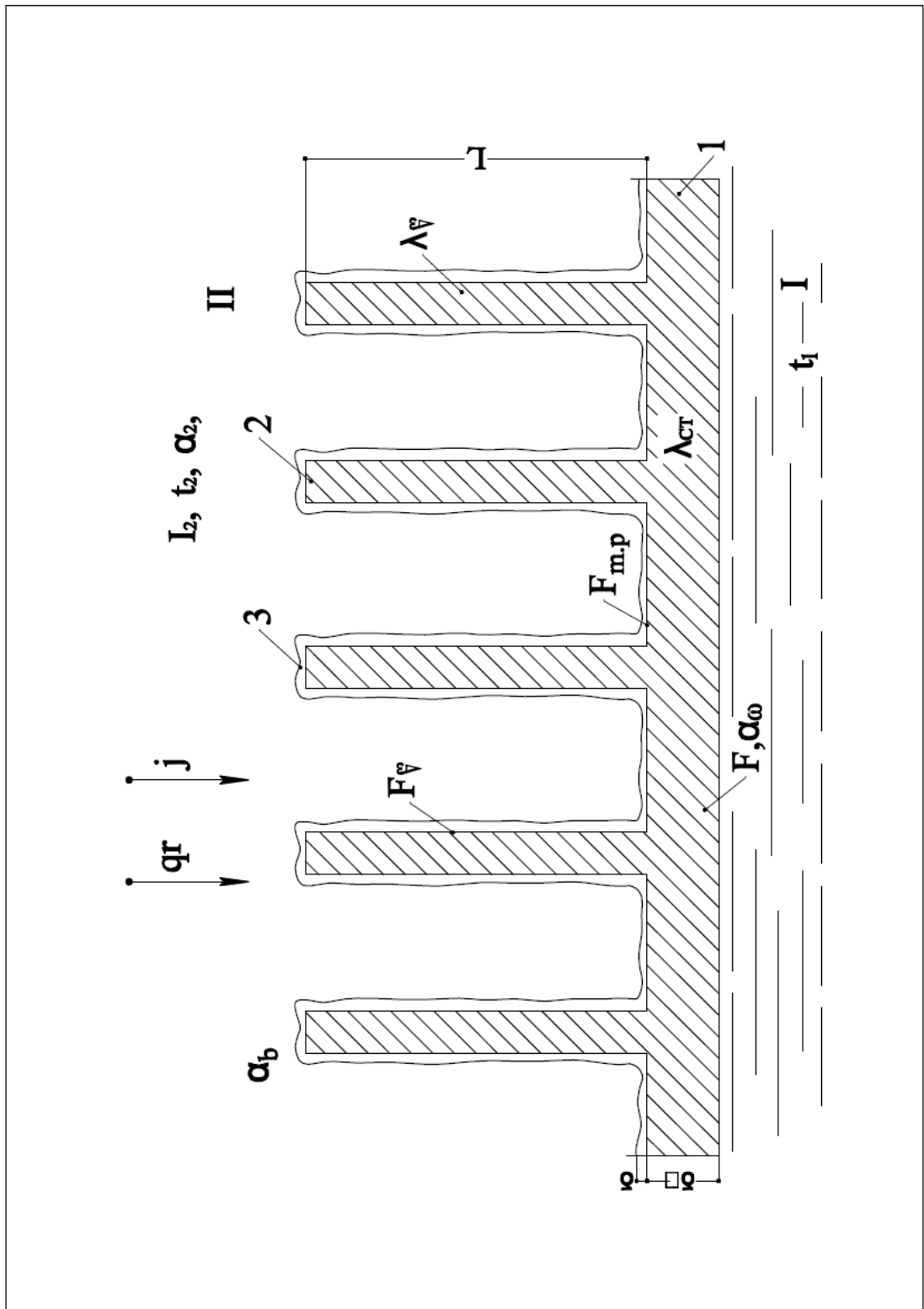
$$\theta = \frac{1}{1/\alpha_{\omega} + \delta_{CT}/\lambda_{CT} + \delta_{II}/\lambda_{II} + C_{\text{3}}/\alpha_{\text{3}} C_{\text{б}\text{օ}\text{x}}} \left(\frac{I_{\text{3}} A}{C_{\text{б}\text{օ}\text{x}}} - t_{\omega} \right) F \quad (8)$$

განტოლებაში პირველი ფაქტორი წარმოადგენს სრული სითბოს გადაცემის კოეფიციენტს ცხადი და ფარული სითბოს ერთდროული გადატანის გათვალისწინებით.

$$K = \frac{1}{1/\partial_{\omega} + \delta_{CT}/\lambda_{CT} + \delta_{II}/\lambda_{II} + C_{\text{3}}/\alpha_{\text{3}} C_{\text{б}\text{օ}\text{x}}} \left\{ \begin{array}{l} I_{\omega} = C_{\text{б}\text{օ}\text{x}} t_{\omega} + A \\ \end{array} \right.$$

განტოლებიდან მივიღებთ:

$$\theta = K_1 F (I_{\text{3}} - I_{\omega}) C_{\text{б}\text{օ}\text{x}} \quad (9)$$



ნახ. 1 სითბოს გადაცემა გაწიბოვნებულ ზედაპირზე, სითბოსა და მასის
ერთდღოული ცვლის დროს

გურალი თბოცვლის პირობებისათვის $C_{\text{გურალი}} - C_{\text{პირობები}}$, $K_1 = K$ და
განტოლება მიიღებს სახეს: $q = K(t_1 - t_2)$.

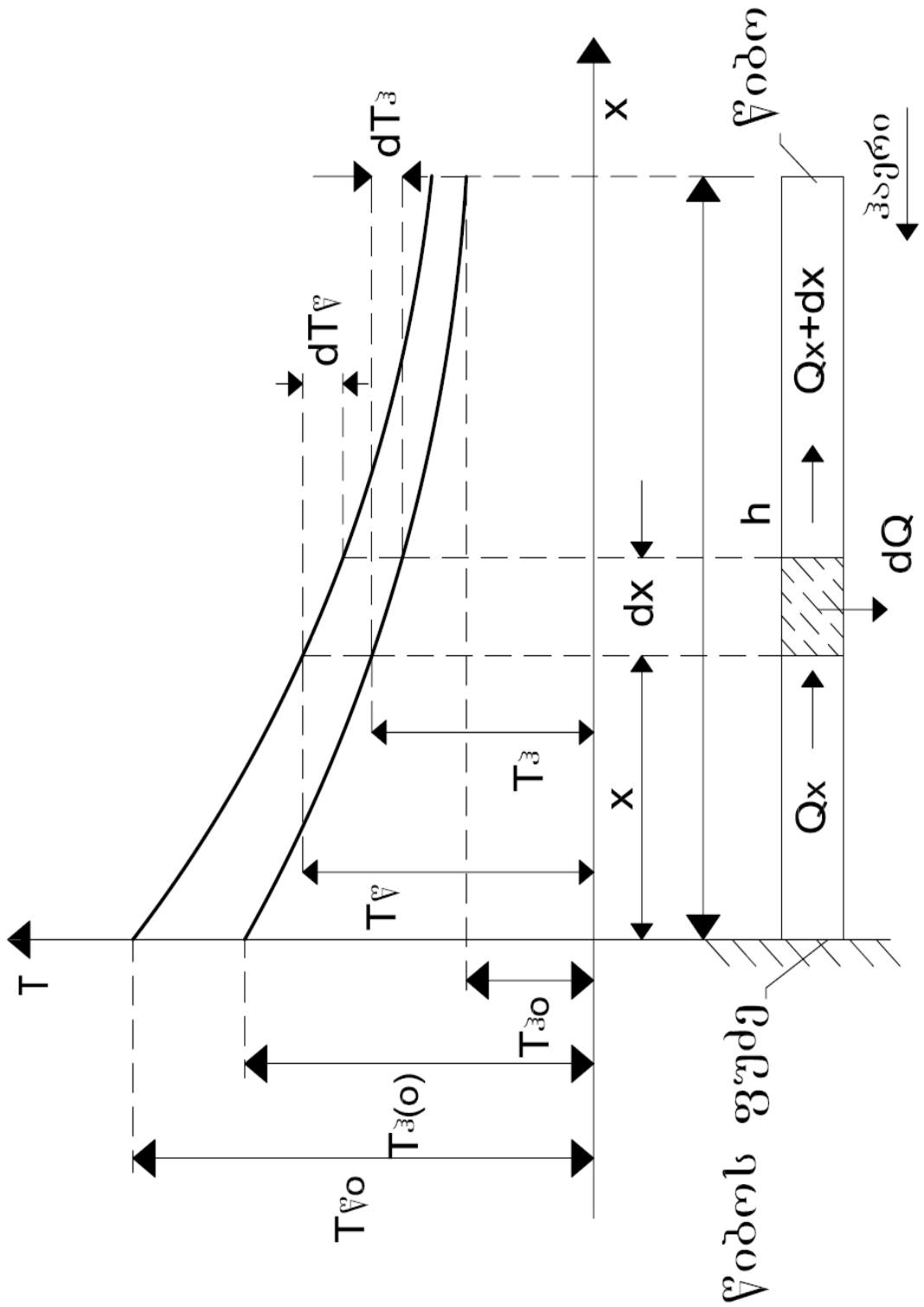
თავი 2. გაწიბოვნებული ზედაპირის ეფექტურობის გამოკვლევა პაროს ტემპერატურის ცვლილების გათვალისწინებით.

გაწიბოვნებული ზედაპირების გაანგარიშება ჩვეულებრივ ტარდება თბოგამტარობის დიფერენციალური განტოლებიდან მიღებული ფორმულებით იმ დაშვებით, რომ წიბოს შემომვლები პაერის ტემპერატურა მუდმივია [2, 3]. ასეთი დაშვება გამართლებულია მცირე ტემპერატურული დაწნევების და დაბალი წიბოების დროს. მაგრამ, ზოგიერთ შემთხვევაში, ტემპერატურული დაწნევები შეიძლება იყოს ძალზე მნიშვნელოვანი, მაგალითად, ღუმელებიდან გამომავალი აირებიდან სითბოს ართმევის დროს. ასევე ხშირად გვხვდება მაღალი წიბობით აღჭურვილი თბომცვლელი აპარატები, მაგალითად პაერგამთბობი კონვექტორები. ასეთ შემთხვევებში საჭირო ხდება წიბოს შემომვლები პაერის ტემპერატურის ცვლილების გათვალისწინება.

თავიდან განვიხილოთ შემთხვევა, როცა პაერის ნაკადი მოძრაობს სწორი წიბოს ფუძის პერპენდიკულარულად. ისევე როგორც სითხის ნაკადიანი ზედაპირის შემთხვევაში, საჭირო ხდება წიბოს სისქეში სითბოს კონდუქტორი ნაკადისა და პაერის ნაკადის ურთიერთმიმართულებათა გათვალისწინება.

აღნიშნულ ნაკადთა ურთიერთსაწინააღმდეგო მიმართულების დროს პროცესის მოდელი და კოორდინატთა სისტემა მოცემულია ნახაზზე 2. განიხილება სწორი წიბო მუდმივი სისქით δ კვეთის ფართით f კვეთის პერიმეტრით a , სიმაღლით h . წიბოს თბოგამტარობის კოეფიციენტი λ , პაერსა და ზედაპირს შორის თბომცვლის კოეფიციენტი α პაერის ხარჯი G და სითბოტევადობა $c_{\frac{V}{T}}$ - მუდმივია. წიბოს

ზედაპირის ტემპერატურა T_f და პაერის ტემპერატურა T_a იცვლება მხოლოდ წიბოს სიმაღლის მიმართულებით. წიბოს ფუძეზე ზედაპირის ტემპერატურა აღინიშნება T_{so} , პაერის ტემპერატურა წიბოს ფუძესთან- T_{so} , წიბოდან მოშორებული პაერის ტემპერატურა – T_{so} .



ნახ. 2 სითბოს კონდუქციური ნაკადისა და ჰაერის ნაკადის ურთიერთსაწინააღმდეგო მიმართულების დროს პროცესის მოდელი და კოორდინატთა სისტემა

სითბოს ბალანსის დიფერენციალური განტოლება dx
ელემენტარული ზედაპირისთვის იქნება:

$$\lambda f \frac{d^2 T_p}{dx^2} = \alpha u \left(T_{\nabla} + T_{\mathfrak{J}} \right) dx$$

$$s6 \quad \frac{d^2 T_p}{dx^2} = m^2 \left(T_{\nabla} - T_{\mathfrak{J}} \right) \quad (10)$$

$$s6 \quad m = \left(\frac{\alpha u}{\lambda f} \right)^{\frac{1}{2}}$$

იმ შემთხვევაში, როცა ჰაერის ტემპერატურა მუდმივია, ამ განტოლების ამოხსნას აქვს სახე [3]

$$T_{\nabla} - T_{\mathfrak{J}} = \left[T_{\nabla 0} - T_{\mathfrak{J}(0)} \right] e^{-mx}$$

კუმულატიური, რომ ჰაერის ტემპერატურის ცვლილებისას ტემპერატურათა სხვაობა $T_{\nabla} - T_{\mathfrak{J}}$ ასევე შეიცვლება ექსპონენციალური კანონით, მივიღებთ:

$$T_{\nabla} - T_{\mathfrak{J}} = \left[T_{\nabla 0} - T_{\mathfrak{J}(0)} \right] e^{-k_1 x} \quad (11)$$

მაშინ (10) მიიღებს სახეს:

$$\frac{d^2 T_{\nabla}}{dx^2} = m^2 \left[T_{\nabla 0} - T_{\mathfrak{J}(0)} \right] e^{-k_1 x} \quad (12)$$

ხარჯის განტოლების საშუალებით, ზედაპირის dx ელემენტითვის ჩაიწერება:

$$\alpha u \left(T_{\nabla} - T_{\mathfrak{J}} \right) dx = -C_{\nabla \mathfrak{J}} G dT_{\nabla}$$

$$d\dot{T}_j = -a \left[T_{V0} - T_{j(0)} \right] e^{-k_1 x} dx \quad (13)$$

$$a = \frac{\alpha u}{C_{Vj} G}$$

მისი ინტეგრირებით მივიღებთ:

$$T_j = \frac{a}{K_1} \left[T_{V0} - T_{j(0)} \right] e^{-k_1 x} + C \quad (14)$$

ინტეგრირების მუდმივას ვსაზღვრავთ სასაზღვრო პირობიდან,
 როცა $x=h$, $T_j = T_{j0}$ და $C = T_{j0} - \frac{a}{k_1} \left[T_{V0} - T_{j(0)} \right] e^{-k_1 h}$,

რომლის ჩასმით (14) - ში გვექნება:

$$T_j = T_{j0} + \frac{a}{k_1} \left[T_{V0} - T_{j(0)} \right] \left(e^{-k_1 x} - e^{-k_1 h} \right) \quad (15)$$

ტემპერატურა $T_{j(0)}$ მიიღება მეორე სასაზღვრო პირობიდან
 როცა $x=0$, $T_j = T_{j(0)}$ და

$$T_{j(0)} = T_{j0} \frac{k_1}{k_1 + a \left(1 - e^{-k_1 h} \right)} + T_{V0} \frac{a \left(1 - e^{-k_1 h} \right)}{k_1 + a \left(1 - e^{-k_1 h} \right)} \quad (16)$$

საბოლოო მივიღებთ პარის ტემპერატურის ცვლილების
 გამოსახულებას:

$$T_{j0} = T_{j0} + \left(T_{V0} - T_{j0} \right) \frac{a \left(e^{-k_1 x} - e^{-k_1 h} \right)}{K_1 + a \left(1 - e^{-k_1 h} \right)} \quad (17)$$

ან უგანზომილებო სახით:

$$\theta_{\bar{J}} = \frac{T_{\bar{J}} - T_{\bar{J}0}}{T_{\bar{V}0} - T_{\bar{J}0}} = \frac{a \left(e^{-k_1 x} - e^{-k_1 h} \right)}{k_1 + a \left(1 - e^{-k_1 h} \right)} \quad (18)$$

წიბოს ზედაპირის ტემპერატურის ცვლილება გამოისახება შემდეგი ფორმულით:

$$T_{\bar{V}} = T_{\bar{J}0} + \left(T_{\bar{V}0} - T_{\bar{J}0} \right) \frac{a \left(e^{-k_1 x} - e^{-k_1 h} \right) + k_1 e^{-k_1 x}}{k_1 + a \left(1 - e^{-k_1 h} \right)} \quad (19)$$

ან უგანზომილებო სახით:

$$\theta_{\bar{V}} = \frac{T_{\bar{V}} - T_{\bar{J}0}}{T_{\bar{V}0} - T_{\bar{J}0}} = \frac{a \left(e^{-k_1 x} - e^{-k_1 h} \right) + k_1 e^{-k_1 x}}{k_1 + a \left(1 - e^{-k_1 h} \right)} \quad (20)$$

წიბოს ეფექტურობის კოეფიციენტი იქნება:

$$\eta_1 = \frac{1}{h} \int_0^h \theta_{\bar{V}} dx = \frac{\left(a + k_1 \left(1 - e^{-k_1 h} \right) \right) - a k_1 h e^{-k_1 h}}{k_1 h \left[k_1 + a \left(1 - e^{-k_1 h} \right) \right]} \quad (21)$$

უცნობი სიდიდის k_1 - ს საპოვნელად (12) - ს თანამიმდევრული ინტეგრირებით განვსაზღვრავთ

$$T_{\bar{J}} = T_{\bar{V}0} + \left[T_{\bar{V}0} - T_{\bar{J}0} \right] \left[\frac{m^2}{k_1^2} e^{-k_1 x} + \frac{m^2}{k_1} e^{-k_1 h} x - \frac{m^2}{k_1^2} - e^{-k_1 x} \right]$$

და შევიტანო მას (13) - ში. მიღებული განტოლების ორივე ნაწილის ინტეგრირებით:

$$\int_0^h dT_{\beta} = - \int_0^h a \left[T_{\beta(0)} - T_{\beta(x)} \right] e^{-k_1 x} dx$$

მივიღებთ შემდეგ გამოსახულებას:

$$k_1^2 + ak_1 + m^2 = -m^2 \frac{k_1 h}{e^{k_1 h} - 1} \quad (22)$$

k_1 სიდიდე ამ განტოლებიდან გამოითვლება ეგბ-ს საშუალებით. მაგალითისთვის მოგვყავს k_1 –ს წიბოს სიმაღლეზე დამოკიდებულების მანქანური გამოთვლის შედეგები როცა $a=6$, $m=45$.

$h \partial$	0,01	0,02	0,03	0,04	0,05	
k_1	4,06	13,35	21,18	27,27	31,76	
$h \partial$	0,06	0,07	0,08	0,09	0,1	∞
k_1	34,94	37,15	38,68	39,73	40,46	42,1

ცხრილი 1. k_1 –ს წიბოს სიმაღლეზე დამოკიდებულების მანქანური გამოთვლის შედეგები

ანალოგიური გამოკვლევების შედეგად მიღებილ იქნა პაერისა და წიბოს ზედაპირის ტემპერატურათა ცვლილების დამოკიდებულებები იმ

შემთხვევისთვის, ოოცა პარისა და სითბოს კონდუქტორი ნაკადთა მიმართულებები ერთმანეთს ემთხვევა:

$$\theta_{\beta} = \frac{T_{\beta} - T_{\beta 0}}{T_{\beta 0} - T_{\beta 0}} = \frac{a}{k_2} \left(1 - e^{-k_2 x} \right) \quad (23)$$

$$\theta_{\gamma} = \frac{T_{\gamma} - T_{\beta 0}}{T_{\gamma 0} - T_{\beta 0}} = \frac{a}{k_2} \left(1 - e^{-k_2 x} \right) + e^{-k_2 x} \quad (24)$$

წიბოს გვექურობის კოეფიციენტი:

$$\eta_2 = \frac{1}{h} \int_0^h \theta_{\gamma} dx = \frac{a}{k_2} + \frac{k_2 - a}{k_2^2 h} \left(1 - e^{-k_2 h} \right) \quad (25)$$

ეგზ-ს საშუალებით k_2 -ს გამოსათვლელ ამოსავალ განტოლება წარმოადგენს:

$$k_2^2 - ak_2 - m^2 = -m^2 \frac{k_2 h}{e^{k_2 h} - 1} \quad (26)$$

k_2 - ს დამოკიდებულება წიბოს სიმაღლეზე a და m -ს იგივე მნიშვნელობებისთვის მოცემულია ცხრილის სახით:

h	0,01	0,02	0,03	0,04	0,05
k_1	15,86	24,6	31,65	40,58	43,1

$h \partial$	0,06	0,07	0,08	0,09	0,1	∞
k_1	44,78	45,9	46,64	47,14	47,46	48,1

ცხრილი 2. k_2 -ს წიბოს სიმაღლეზე დამოკიდებულების მანქანური
გამოთვლის შედეგები

ზემოთ განხილული ორივე წიბოს ერთად მუშაობის შემთხვევაში, როცა ჰაერის ნაკადი თავიდან ეხება წიბოს სითბოს კონდუქტიური ნაკადის საწინააღმდეგო მიმართულებით, ხოლო შემდეგ წიბოს კონდუქტიური ნაკადის თანმხედრი მიმართულებით, ჰაერის საწყისი ტემპერატურა T_{30} (23) - (25) ფორმულებში მიიღება როგორც ჰაერის ტემპერატურა წიბოს ფუძეზე და განისაზღვრება (16) ფორმულით. მაშინ თანმხედრსვლიანი წიბოს ეფექტურობის კოეფიციენტი გამოისახება შემდეგნაირად:

$$\eta_2 = \frac{ak_1 h + k_1 \left(1 - e^{-k_2 h}\right) \frac{k_2 - a}{k_2} + ak_2 h \left(1 - e^{-k_1 h}\right)}{k_1 h \left[k_1 + a \left(1 - e^{-k_1 h}\right) \right]} \quad (27)$$

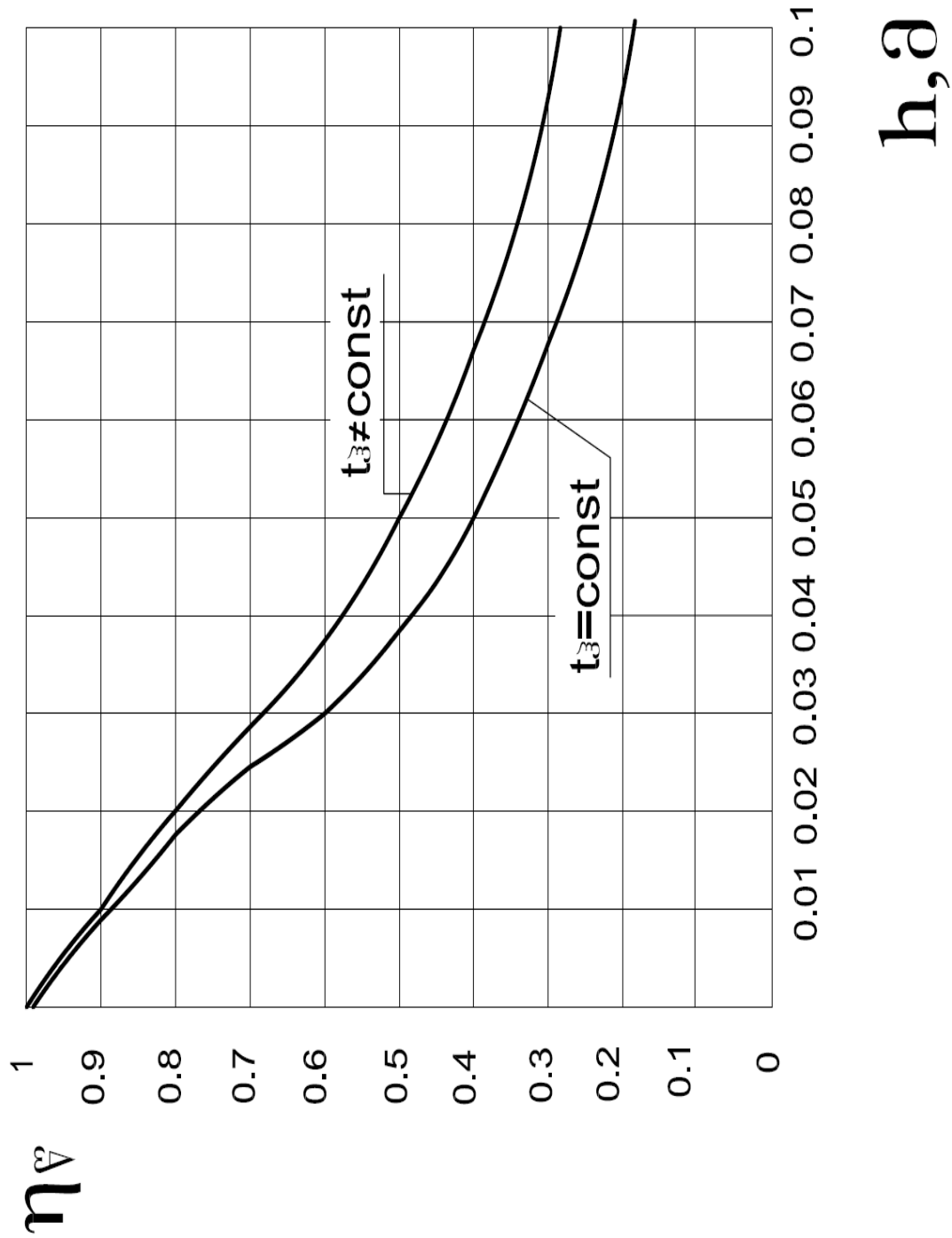
ხოლო გაწიბოვნებული ზედაპირის მუშაობის ეფექტურობა შეფასდება ეფექტურობის საშუალო კოეფიციენტის მეშვეობით:

$$\eta_{\bar{V}} = \frac{\eta_1 + \eta_2}{2} \quad (28)$$

ნახაზზე 3 მოცემულია წიბოების ეფექტურობათა საშუალო კოეფიციენტის წიბოს სიმაღლეზე დამოკიდებულების გრაფიკი როცა

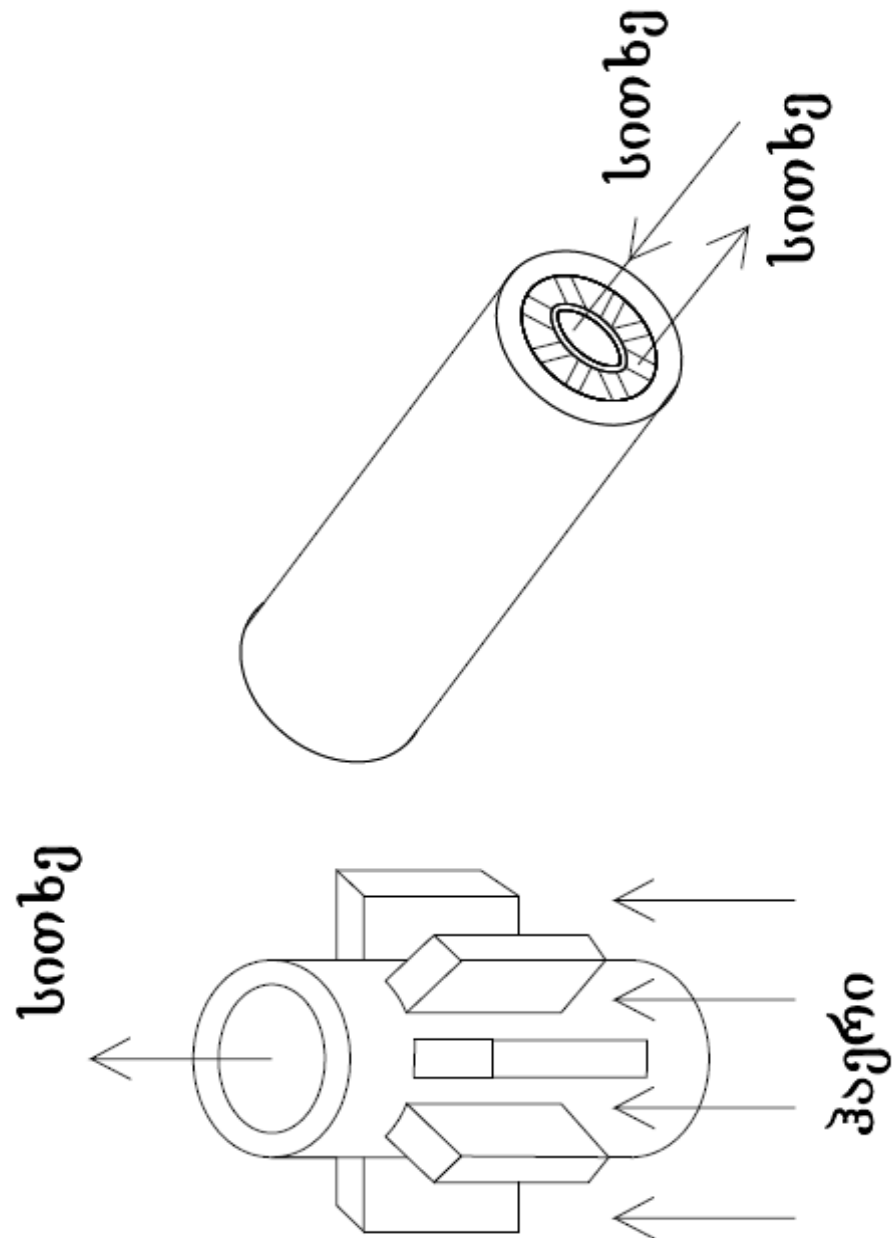
$a=6$ და $m=45$. იქვე დატანილია $\eta_{\nabla} = f(h)$ დამოკიდებულების მრუდი როცა პარას ტემპერატურა მიჩნეულია მუდმივად და გაიანგარიშება იგივე პირობებისთვის ფორმულით:

$$\eta_{\nabla} = \frac{\text{th}(mh)}{mh} \quad (29)$$



ნახ. 3 წიბოების ეფექტურობათა საშუალო კოეფიციენტის, წიბოს სიმაღლეზე დამოკიდებულების გრაფიკი

შედარებითი გრაფიკი გვიჩვენებს, რომ წიბოს ეფექტურობის კოეფიციენტი გაანგარიშებული ჰაერის ტემპერატურის ცვლილების გათვალისწინებით, მეტია ვიდრე ამ ცვლილების გაუთვალისწინებლად. სხვაობა მათ შორის იზრდება წიბოს სიმაღლის გაზრდით.



ნახ. 4 თბომცვლელი აპარატი “მილი მილში”

პრაქტიკაში ხშირად გვხვდება შემთხვევები, როცა ჰაერი ან წყალი მოძრაობს წიბოს ფუძის პარალელურად. ასეთია მაგალითად გათბობის სისტემის ვერტიკალურ დგარზე მოწყობილი სწორი წიბოები სადაც ჰაერი მოძრაობს წიბოების ფუძის გასწვრივ ქვემოდან ზევით

ნახ. 4 და თბომცვლელი აპარატი “მილი მილში”, რომლის შიგა მილი აღჭურვილია გასწევრივი წიბოებით და მათ შორის მიედინება თხევადი მუშა გარემო ნახ. 4. ამ შემთხვევებში ტემპერატურული ველი წიბოს ზედაპირზე ორგანზომილებიანია.

განვიხილოთ თხელი სწორი წიბო მუდმივი სისქით δ და თბოგამტარობით λ , რომლის სიგრძე G უდაგია OY დერძის მიმართულებით ნახ. 5 დაშვებულია, რომ მუდმივია ჰაერის ან სითხის სიტბოტევადობა C_{v} და მასური ხარჯი G , წიბოს ტემპერატურა ფუძეზე T_0 და თბოგაცემის კოეფიციენტი α . წიბოს ზედაპირის და სითხის ტემპერატურები წიბოს ზედაპირზე თითქმის არ განსხვავდებიან ერთმანეთისგან. ჰაერის ან სითხის ტემპერატურა წიბოს გარეთ – T_{bo}

სითბოს ბალანსის დიფერენციალური განტოლება $\frac{\partial \theta}{\partial x} dx + \frac{\partial \theta}{\partial y} dy = 0$ ელემენტარული ზედაპირისათვის ჩაიწერება შემდეგნაირად.

$$\lambda \delta \times \left(\frac{\partial^2 \theta}{\partial x^2} + \frac{\partial^2 \theta}{\partial y^2} \right) dx dy = \frac{C_{\text{v}} G}{h} \frac{\partial \theta}{\partial y} dx dy$$

$$36 \quad \frac{\partial^2 \theta}{\partial x^2} + \frac{\partial^2 \theta}{\partial y^2} = \alpha \frac{\partial \theta}{\partial y} \quad (30)$$

$$\text{სადაც } \theta = T - T_{\text{vo}}; \alpha = \frac{C_{\text{v}} G}{h \lambda \delta}$$

სასაზღვრო პირობები შემდეგია:

$$\text{როცა } x = 0, \theta = 0 \quad (31)$$

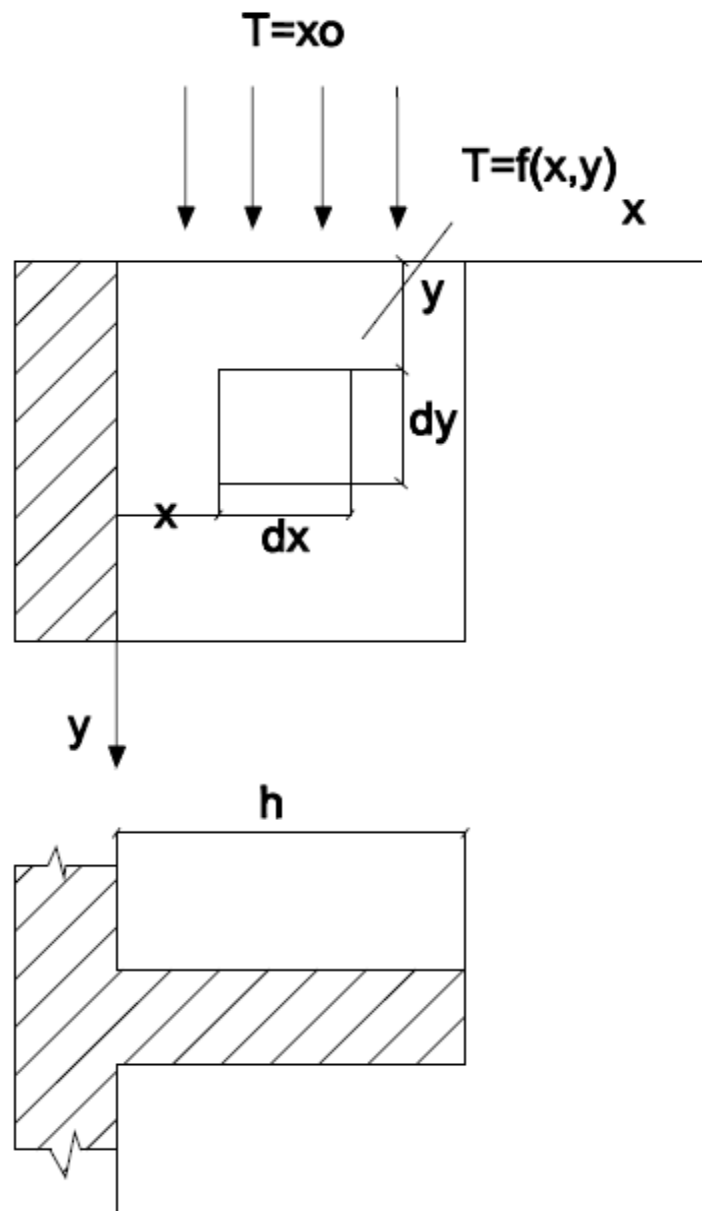
$$x = h, \frac{\partial \theta}{\partial x} \quad (32)$$

$$x \rightarrow \infty, \frac{\partial \theta}{\partial y} = 0 \quad (33)$$

$$y = 0, -\lambda \frac{\partial \theta}{\partial y} = \alpha (\theta_{\text{bo}} - F_{(x)}) \quad (34)$$

$$\text{სადაც } \theta_{\text{bo}} = T_{\text{bo}} - T_{\text{vo}}; F_{(x)} = f_{(x)} - T_{\text{vo}}.$$

სითბოს ნაკადი



ნახ. 5 სწორი წიბო, მუდმივი სისქით და თბოგამტარობით, რომლის
სიგრძე შეუზღუდავია

(30) დიფერენციალური განტოლების ამოსახსნელად ვიყენებთ
ცვლადთა განცალკევების მეთოდს. დაუშვებოთ, რომ $\theta = f_{(x,y)} = \varphi_{(x)} \Psi_{(y)}$,
მაშინ, (30) მიიღებს სახეს:

$$\frac{\varphi''_{(x)}}{\varphi_{(x)}} = -\frac{\Psi''_{(y)}}{\Psi_{(y)}} + \alpha \frac{\varphi'_{(y)}}{\Psi_{(y)}} = \text{const} \quad (35)$$

მიღებული განტოლების მარცხენა და მარჯვენა ნაწილები ტოლია და მუდმივი. აღვნიშნოთ ისინი ε^2 -ით. მივიღებთ ორ ჩვეულებრივ დიფერენციალურ განტოლებას:

$$\varphi''(x) + \varepsilon^2 \varphi(x) = 0 \quad (36)$$

$$\Psi''(y) - a\Psi'(y) - \varepsilon^2 \Psi(y) = 0 \quad (36')$$

ამ განტოლებათა ამოხსნა იქნება შემდეგი სახის ფუნქციები:

$$\varphi(x) = c_1 \cos(\varepsilon x) + c_2 \sin(\varepsilon x) \quad (37)$$

$$\Psi(y) = c_3 e^{k_1 y} + c_4 e^{k_2 y} \quad (38)$$

სადაც

$$k_{1,2} = \frac{a + \sqrt{a^2 + 4\varepsilon}}{2}$$

(30) განტოლების ზოგადი ამონახსნი მიიღება (37) და (38) განტოლებათა გადამრავლებით.

$$\theta = [c_1 \cos(\varepsilon x) + c_2 \sin(\varepsilon x)] \cdot \left(c_3 e^{k_1 y} + c_4 e^{k_2 y} \right) \quad (39)$$

(31) სასაზღვრო პირობიდან გამომდინარეობს, რომ $c_1 = 0$, ხოლო (33) –დან $c_3 = 0$, ამრიგად (30)-ის ზოგადი ამონახსნი მიიღებს სახეს:

$$\theta = c \sin(\varepsilon x) e^{k_2 y} \quad (40)$$

იმისათვის, რომ მიღებულმა გამოსახულებამ დააკმაყოფილოს (32) სასაზღვრო პირობა:

$$\left(\frac{\partial \theta}{\partial x} \right)_{x=h} = c \varepsilon \cos(\varepsilon h) e^{k_2 y} = 0, \quad \text{უნდა იყოს } \cos(\varepsilon h) = 0 \text{ გ.ი.}$$

$$\varepsilon = \frac{(2n-1)\pi}{2h}$$

სადაც n -ნებისმიერი მთელი რიცხვია.

მივანიჭებთ რა n -ს მთელ დადგებით მნიშვნელობებს და შევქმნით ამონასნოა ჯამს, მივიღებთ:

$$\theta = \sum_{n=1}^{n=\infty} c_n \sin\left[\frac{(2n-1)\pi}{2h}x\right] e^{k_2 y} \quad (41)$$

$$k_2 = \frac{a - \sqrt{a^2 + \frac{(2n-1)^2 \pi^2}{h^2}}}{2} < 0$$

დარჩენილი c_n მუდმივები განისაზღვრებიან (34) სასაზღვრო პირობიდან:

$$\begin{aligned} \left(\frac{d\theta}{dy} \right)_{y=0} &= \sum_{n=1}^{n=\infty} c_n k_2 \sin\left(\frac{(2n-1)\pi}{2h}x\right) = -\frac{\alpha}{\lambda} (\theta_{bo}) - F(x) \\ \text{ამასთან } F(x) &= \theta(x, 0) = \sum_{n=1}^{n=\infty} c_n \sin\left(\frac{(2n-1)\pi}{2h}x\right) \quad \text{საიდანაც} \end{aligned}$$

$$\sum_{n=1}^{n=\infty} c_n \sin\left(\frac{(2n-1)\pi}{2h}x\right) \left(k_2 + \frac{\alpha}{\lambda} \right) = -\frac{\alpha}{\lambda} \theta_{bo} \quad (42)$$

მიღებული განტოლების მარჯვენა წევრი გავშალოთ
ტრიგონომეტრიულ მცდივად:

$$-\frac{\alpha}{\lambda} \theta_{bo} = -\frac{\alpha}{\lambda} \theta_{bo} \frac{4}{\pi} \sum_{n=1}^{n=\infty} \frac{1}{2n-1} \sin\left(\frac{(2n-1)\pi}{h}x\right) \quad (43)$$

c_n მუდმივთა მიშვნელობები მიიღება (41) - ის შედარებით (43) - თან:

$$c_n = -\frac{4}{\pi} \frac{\alpha}{\lambda} \frac{1}{2n-1} \frac{1}{k_2^2 - \frac{\alpha}{\lambda}} \theta_{bo}$$

საბოლოოდ, მივიღებთ წიბოს ზედაპირის ორგანზომილებიანი ტემპერატურული ველის გამოსახულებას უსასრულო მწკრივის სახით, რომელიც სწრაფად იკრიბება:

$$\theta(X, Y) = \theta_{bo} \frac{4}{\pi} \frac{\alpha}{\lambda} \sum_{n=1}^{\infty} \frac{1}{2n-1} \frac{1}{\frac{\alpha}{\lambda} - k_2^2} \sin\left(\frac{(2n-1)\pi}{2h}x\right) e^{k_2 y} \quad (44)$$

წიბოს ზედაპირის საშუალო ტემპერატურა განისაზღვრება ფორმულით:

$$\bar{\theta} = \frac{1}{hL} \int_0^L \int_0^h \theta(x, y) dx dy \quad (45)$$

(44) მწკრივის სწრაფად კრებადობის გამო შეგვიძლია შემოვიდარგლოთ მისი პირველი ორი წევრით, მაშინ მივიღებთ:

$$\bar{\theta} = \theta_{bo} \frac{8}{L\pi^2} \frac{\alpha}{\lambda} \left(\frac{e^{k_2' L} - 1}{-\left(\frac{\alpha}{\lambda} - k_2'\right)k_2'} + \frac{e^{k_2'' L} - 1}{9\left(\frac{\alpha}{\lambda} - k_2''\right)k_2''} \right) \quad (46)$$

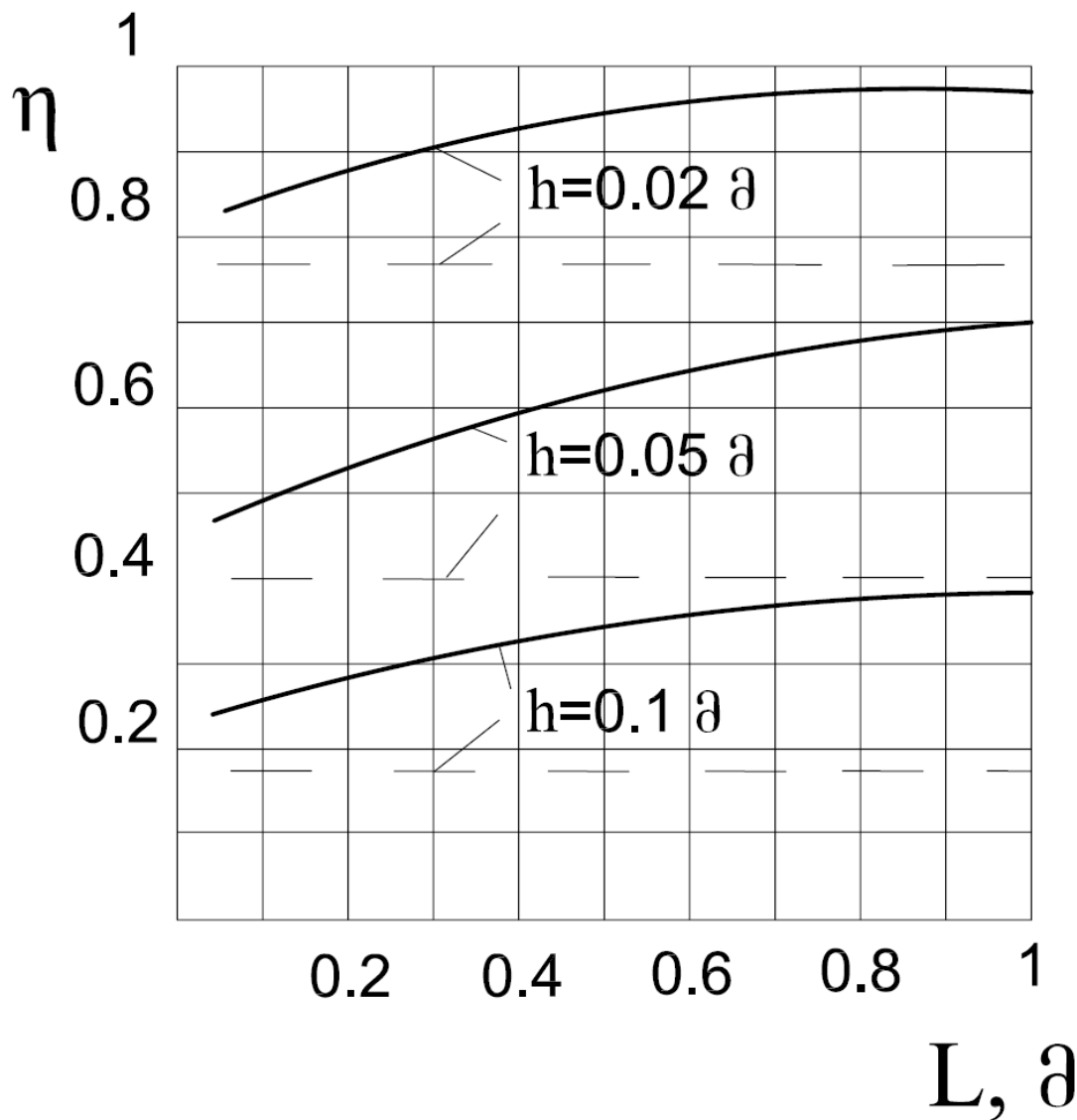
$$\text{სადაც } k_2' = \frac{a - \sqrt{a^2 + \left(\frac{\pi^2}{h}\right)}}{2}, \quad k_2'' = \frac{a - \sqrt{a^2 + \left(\frac{3\pi^2}{h}\right)}}{2}$$

წიბოს ეფექტურობის კოეფიციენტი კი იქნება:

$$\eta = 1 - \frac{\bar{\theta}}{\theta_{bo}} = 1 - \frac{8}{L\pi^2} \frac{\alpha}{\lambda} \left(\frac{e^{k_2' L} - 1}{\left(\frac{\alpha}{\lambda} - k_2'\right)k_2'} + \frac{e^{k_2'' L} - 1}{\left(\frac{\alpha}{\lambda} - k_2''\right)k_2''} \right) \quad (47)$$

ნახაზზე 6 მოცემულია სწორი წიბოს ეფექტურობის კოეფიციენტის დამოკიდებულება მის სიგრძეზე წიბოს სხვადასხვა

სიმაღლის დროს შემდეგი პირობებისათვის: თბოცვლის კოეფიციენტი ჰაურსა და წიბოს ზედაპირს შორის $\alpha = 33$ გატი/გ²к, წიბოს თბოგამტარობის კოეფიციენტი $\lambda = 16$ გატი/გ к, წიბოს სისქე $\delta = 0,0018$. იქვე წყვეტილი ხაზებით დატანილია წიბოს ეფექტურობის კოეფიციენტების მნიშვნელობები იმავე პირობებისათვის ჰაურის ტემპერატურის ცვლილების გაუთვალისწინებლად.



ნახ. 6 სწორი წიბოს ეფექტურობის კოეფიციენტის დამოკიდებულება მის სიგრძეზე წიბოს სხვადასხვა სიმაღლის დროს

როგორც გრაფიკიდან ჩანს, წიბოს სიგრძის გაზრდით იზრდება მისი ეფექტურობის კოეფიციენტი. მისი მნიშვნელობა უტოლდება ტრადიციული მეთოდით გამოანგარიშებულ ეფექტურობის

კოეფიციენტის მნიშვნელობას წიბოს დასაწყისში, რაც ფაქტიურად ამოცანის პირობაში იყო ჩადებული.

თავი 3. ფიგურს ზედაპირსა და ჰაერს შორის თბოცვლის კოეფიციენტის გავლენა ფიგურს ეფექტურობაზე.

მოსარწყავზედაპირიან თბოცვლელ აპარატებში გაწიბოვნებული ზედაპირების ტემპერატურული გელის და მათი ეფექტურობის კოეფიციენტის გამოსათვლელი ფორმულები ისევე, როგორც მშრალი წიბოების კლასიკური გაანგარიშების შედეგები [2, 3, 9, 12] მიღებულია დაშვების საფუძველზე, რომ ჰაერსა და წიბოს ზედაპირს შორის თბოცვლის კოეფიციენტი მუდმივია. იმ მცირერიცხოვან ნაშრომებს შორის, რომლებშიც შეისწავლება წიბოს სტაციონარული სითბოს გადაცემის პროცესი თბოცვლის ცვლადი კოეფიციენტის პირობებში, არის რამდენიმე საინტერესო მაგალითად: ხანმა და ლევკოვიცმა [13] შეიწავლეს სწორკუთხა პროფილის მქონე გასწვრივი წიბოს ტემპერატურული გელი და ეფექტურობის კოეფიციენტი, როცა თბოგაცემის კოეფიციენტი წიბოს ზედაპირზე იცვლება შემდეგი კანონით:

$$\alpha_{(x)} = (\gamma + 1)\alpha_{(0)} - \left(\frac{x}{h}\right)^{\gamma} \quad (48)$$

სადაც $\alpha_{(0)}$ თბოგაცემის საშუალო კოეფიციენტია,

h -წიბოს სიმაღლეა.

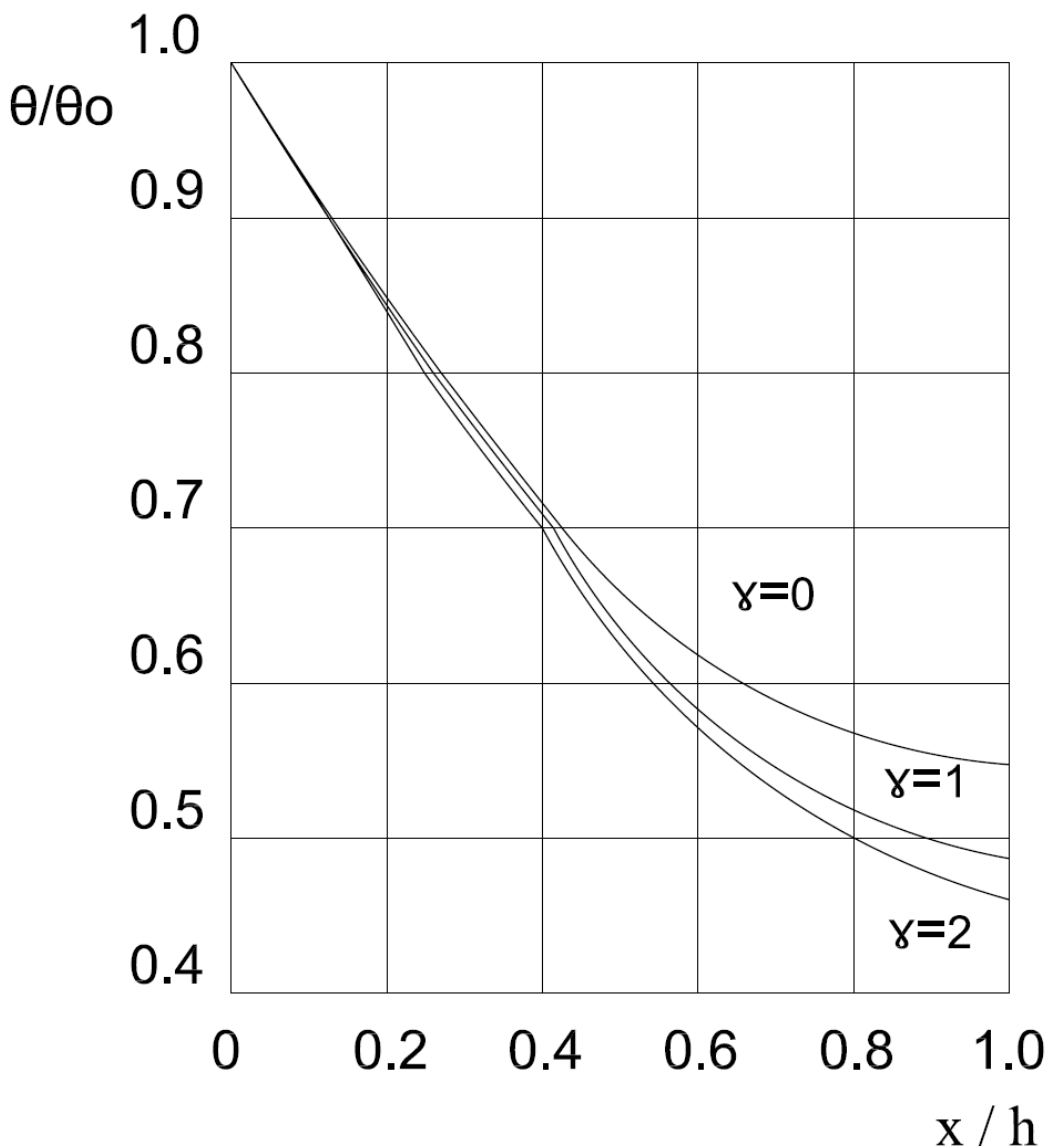
როცა $\gamma=0$, თბოგაცემის კოეფიციენტი $\alpha_{(x)}$ მუდმივია წიბოს მთელ

ზედაპირზე. როცა $\gamma=1$ თბოგამტარობის კოეფიციენტი სწორხაზობრივად იზრდება წიბოს ფუძიდან ($x=0$) წიბოს ბოლომდე ($x=h$). $\gamma \geq 2$ მნიშვნელობებს მივყავართ პარაბოლურ განაწილებამდე. ყველა შემთხვევაში, როცა $\gamma \geq 1$, თბოგაცემის კოეფიციენტი წიბოს ფუძეზე უტოლდება ნულს, რაც მეთოდის არსებით ნაკლად უნდა ჩაითვალოს. აღნიშნული განაწილების საფუძველზე მათ მიერ მიღებული იქნა წიბოს ეფექტურობის კოეფიციენტის შემდეგი გამოსახულებება:

$$\eta = \left(\frac{(\gamma+2)(\gamma+1)}{(mh)^2(\gamma+1)} \right)^{1/(\gamma+2)} \left(\frac{I(\gamma+1)(\gamma+2)(U_h)}{I - (\gamma+1)(\gamma+2)(U_h)} \right) \cdot \left(\frac{\Gamma(\gamma+1)(\gamma+2)}{\Gamma(1/(\gamma+2))} \right) \quad (49)$$

$$\text{საფინანსო } U_h = \frac{2\sqrt{\gamma+1}}{\gamma+2} mh, m = \sqrt{\frac{2\alpha(0)}{\lambda\delta}}$$

λ - წილის თბოგამტარობის კოეფიციენტი,
 δ - წილის სისქე



ნახ. 7 წილის ზედაპირზე, გრაფიკულად გამოსახული ტემპერატურული გელი

ხოლო ტემპერატურული ველი წიბოს ზედაპირზე გრაფიკულად შემდეგნაირად გამოისახება ნახაზზე 7.

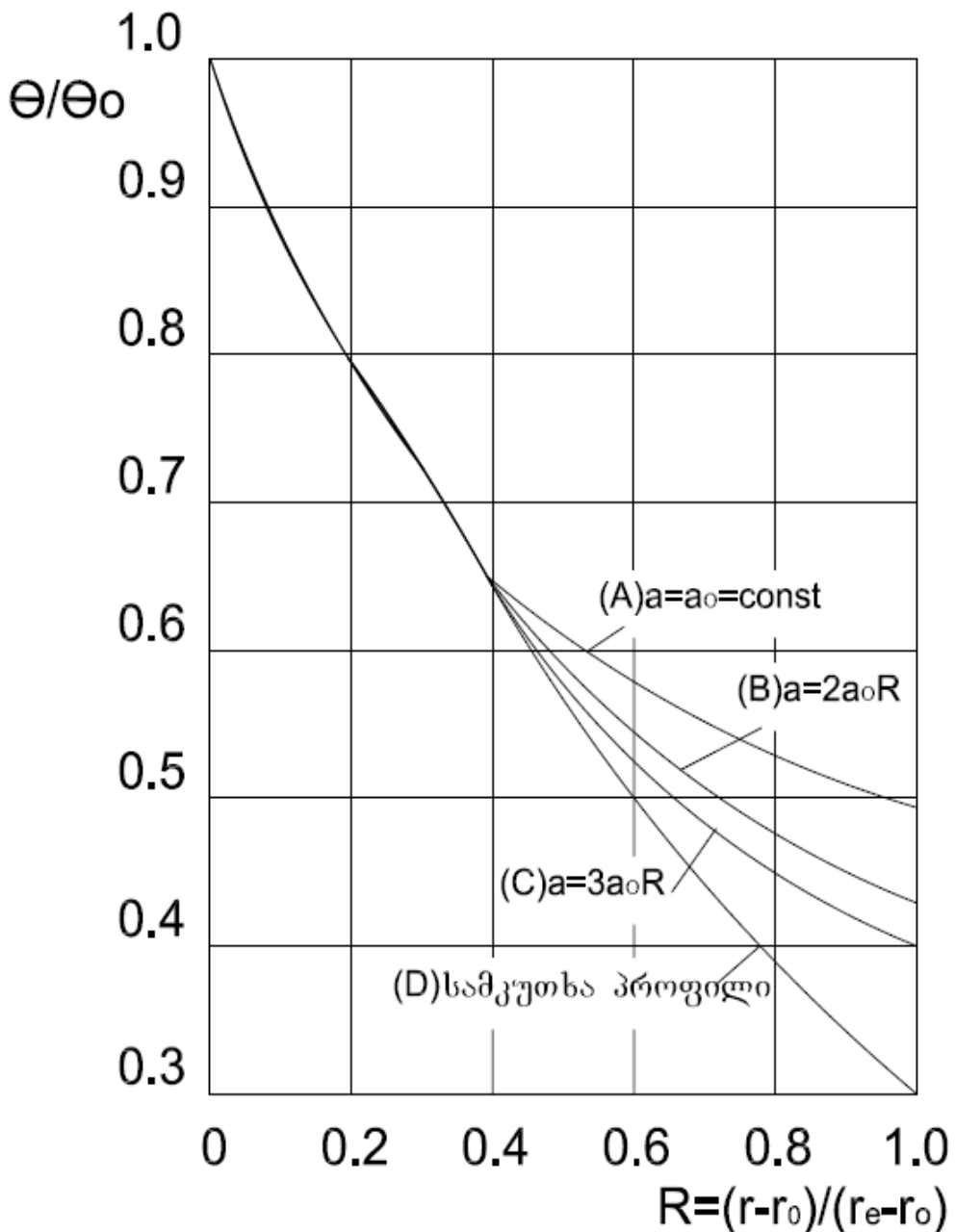
გამოიყენა რა სასრულ სხვაობათა მეთოდი ეგმ-ზე თბოგამტარობის პრობლემების განხოგადებულ პროგრამასთან ერთად, ვინდმა [15] მიიღო სწორკუთხა და სამკუთხა პროფილის რადიაციური წიბოების ტემპერატურათა განაწილების მრუდები ცვლადი თბოგაცემის კოეფიციენტის პირობებში. გაანგარიშებათა შედეგები მოცემულია ნახაზზე 8. მრუდი A ახასიათებს სწორკუთხა პროფილის წიბოს ტემპერატურულ ველს მუდმივი თბოგაცემის კოეფიციენტის შემთხვევაში. მრუდები B და C აღწერენ წიბოს ტემპერატურულ ველებს, როცა თბოგაცემის კოეფიციენტის დამოკიდებულება რადიუსზე შესაბამისად გამოისახება:

$$\alpha_{(r)} = 2\alpha_0 R \quad \text{და} \quad \alpha_{(r)} = 3\alpha_0 R$$

$$\text{სადაც } R = \frac{r - r_{(0)}}{r_{(e)} - r_{(0)}}$$

ეს მრუდები აგებულია თბოგაცემის კოეფიციენტის საშუალო მნიშვნელობის $\alpha_{(0)} = 57$ ვტ/მ²К დროს რადიალური წიბოსთვის რომლის გარე დიამეტრი $r_{(e)} = 50,8$ მმ, შიგა დიამეტრი $r_{(e)} = 25,4$ მმ, სისქეა - 3,2 მმ. წიბოს მასალის თბოგამტარობის კოეფიციენტი $\lambda = 34,1$ ვტ/მK. მრუდი D ახასიათებს სამკუთხა პროფილის მქონე რადიალური წიბოს ტემპერატურულ ველს, როცა ფუძის სისქე ტოლია 3,2 მმ-ის.

როგორც 7 და 8 ნახაზებიდან ჩანს, თბოგაცემის კოეფიციენტის ასეთი მკვეთრი ზრდის შემთხვევაშიც კი მისი გავლენა როგორც სწორი, ასევე რადიალური წიბოს ტემპერატურულ ველზე შეიმჩნევა წიბოს სიმაღლის ნახევრიდან. მოსარწყავზედაპირიან წიბოს შემთხვევაში, როცა მის ზედაპირზე შექმნილია სითხის (წყლის) ნაკადი, მიმდინარეობს სითბოსა და მასის ერთდროული ცვლა, ან ჰაერიდან წყლის ორთქლის კონდესაცია ან სითხის აორთქლება. როცა სითხის ტემპერატურა ნაკლებია ჰაერის ნამის წერტილის ტემპერატურაზე t_f, ჰაერიდან ხდება ტენის გამოყოფა, როცა სითხის



ნახ. 8 სწორკუთხა და სამკუთხა პროფილის რადიაციური წიბოების
ტემპერატურათა განაწილების მრუდები ცვლადი თბოგაცემის
კოეფიციენტის პირობებში

ტემპერატურა მეტია t_p -ზე, მაშინ სითხე თრთქლდება. ამ დროს
თბოგაცემის საერთო კოეფიციენტი ტოლია:

$$\alpha_{\varepsilon} = \alpha + \beta \frac{P_{30} - P_{3b}}{t_0 - t_b} \quad (50)$$

სადაც α -აშეარა თბოცვლის კოეფიციენტია.

β_{v} - მასათა ცვლის კოეფიციენტი.

r - ორთქლგადქვევის ფარული სითბო.

$P_{\text{so}} P_{\text{sb}}$ - წყლის ორთქლის პარციალური წნევებია პაერის ნაკადში და სითხის ზედაპირზე.

$t_o t_b$ - პაერისა და სითხის ზედაპირის ტემპერატურებია.

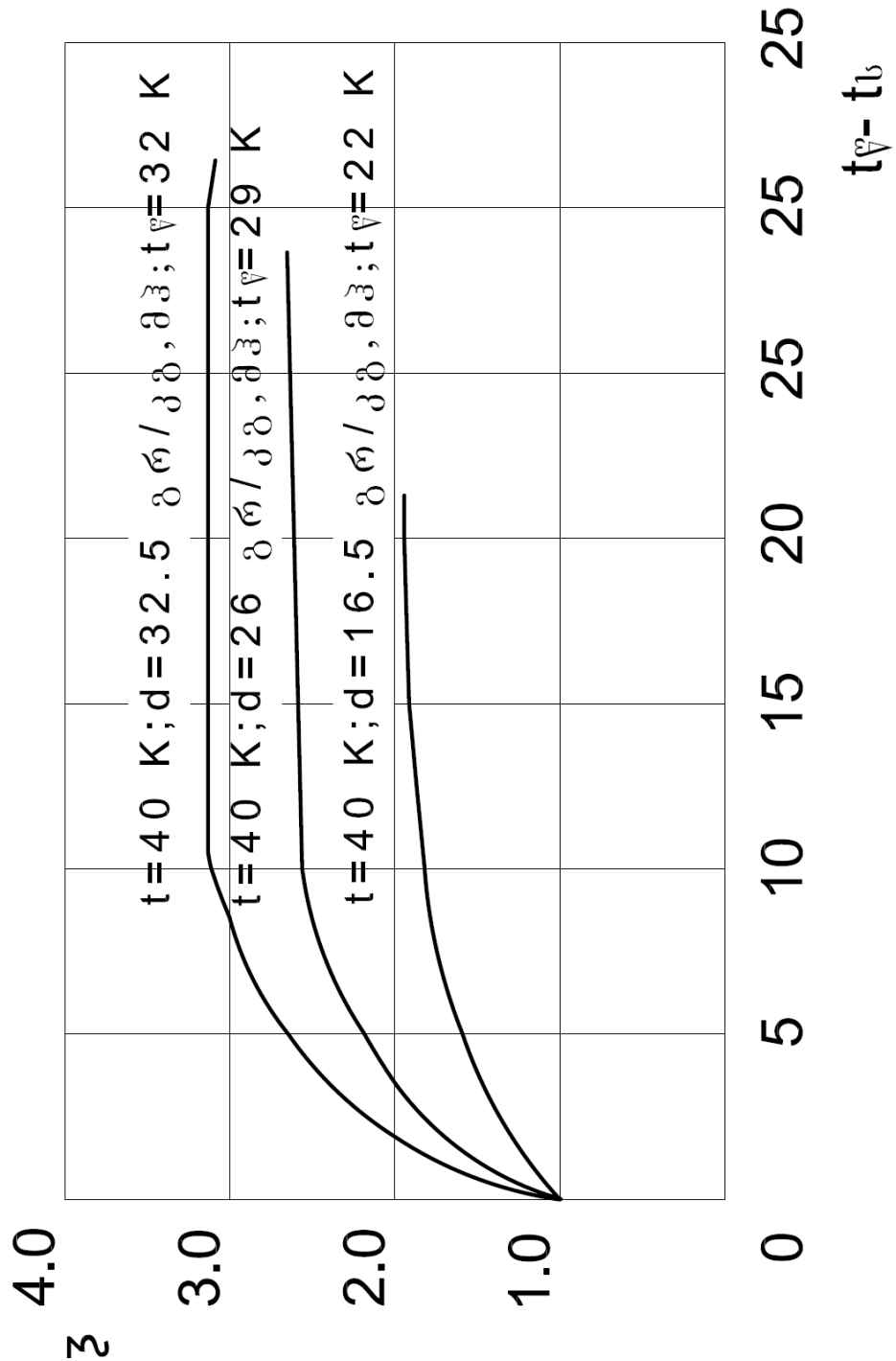
აშეარა თბოცვლის და მასათა ცვლის კოეფიციენტების სიდიდეები პაერის იძულებითი კონგექციის შემთხვევაში, რასაც ადგილი აქვს ვენტილაციის და პაერის კონდიცირების სისტემების თბომცვლელ აპარატებში, ძირითადად დამოკიდებული არიან პროცესის აეროდინამოკურ პირობებზე და არ იცვლებიან ზედაპირის ტემპერატურის ცვლილებით. ეს გარემოება დადასტურებულია აგრეთვე სითბოსა და მასის ცვლის ლოკალური კოეფიციენტების გამოკვლევის შედეგად. სხვანაირად, თბოგაცემის საერთო კოეფიციენტი შეძლება წარმოვადგინოთ როგორც $\alpha_e = \xi \alpha$, სადაც ξ ე.წ.ტენის გამოყოფის კოეფიციენტია [18] და ტოლია.

$$\xi = 1 + \frac{\beta_{\text{v}}}{\alpha} r \frac{P_{\text{so}} - P_{\text{sb}}}{t_o - t_b} \approx 1 + 2.34 \frac{P_{\text{so}} - P_{\text{sb}}}{t_o - t_b} \quad (51)$$

ამრიგად, თბოგაცემის საერთო კოეფიციენტის სიდიდეს განსაზღვრავს შეფარდება $\frac{P_{\text{so}} - P_{\text{sb}}}{t_o - t_b}$, უფრო სწორედ მისი მრიცხველი $P_{\text{so}} - P_{\text{sb}}$ რომელიც წარმოადგენს მასათა ცვლის პოტენციალს, ან მისი ტემპერატურული ანალოგი $t_{\text{v}} - t_b$ [17].

ნახაზზე 9 მოცემულია ტენის გამოყოფის ξ კოეფიციენტის დამოკიდებულება $t_{\text{v}} - t_b$ სხვაობაზე პაერიდან წყლის ორთქლის კონდენსაციის პირობებში პაერის სხვადასხვა საწყისი მდგომარეობისთვის, როცა პაერის ნამის წერტილის ტემპერატურა t_{v} მუდმივია და იცვლება სითხის ზედაპირის ტემპერატურა t_b 0-დან $t_{\text{v}} - t_b$. როგორც გრაფიკიდან ჩანს სითხის ზედაპირის ტემპერატურის ცვლილების ძირითად ინტერვალში ξ კოეფიციენტი და შესაბამისად

თბოგაცემის საერთო კოეფიციენტი ძალზე მცირდედ იცვლება. მის მნიშვნელოვან ცვლილებას ადგილი აქვს როცა ზედაპირის ტემპერატურა ძალზე ახლოა ჰაერის ნამის წერტილის ტემპერატურასთან. როცა ეს ტემპერატურები ერთმანეთს უტოლდება,



ნახ. 9 ტენის გამოყოფის და კოეფიციენტის დამოკიდებულება $t_v - t_b$ სხვაობაზე

წყდება პაერიდან წყლის ორთქლის კონდენსაცია და ξ
კოეფიციენტი ერთის ტოლი ხდება.

გრაფიკიდან აგრეთვე ჩანს, რომ კონდენსაციის ზღვართან ახლოს
ξ კოეფიციენტის ცვლილება დამოკიდებულია გარემო პაერის
მდგომარეობაზე. რაც უფრო ნაკლებია მისი ტენშემცველობა ძ მით
უფრო მცირედ იცვლება ξ. ამასთან, სითხის ტემპერატურის ცვლილება
ადნიშნულ ზღვართან ახლოს იწვევს თბოცვლის საერთო
კოეფიციენტის არა ზრდას, როგორც ზოგიერთ ავტორთა
გამოკვლევებში იყო გათვლისწინებული, არამედ შემცირებას, რის
გამოც წიბოს ეფექტურობის კოეფიციენტი საერთო ჯამში იზრდება.

მოსარწყავზედაპირებიანი წიბოს ტემპერატურული ველისა და
ეფექტურობის კოეფიციენტის ანალიზური ფორმულების გამოყენების
არეს დასადგენად დავუშვით უკიდურესად არახელსაყრელი შემთხვევა,
როდესაც წიბოს ზედაპირზე მოძრაობს სითხის ნაკადი, მაგრამ წიბო
გამორთულია, ე.ი. როცა თბოცვლა მიმდინარეობს მხოლოდ სითხის
ნაკადსა და პაერს შორის. ამ შემთხვევაში განაწილება სითხის
ზედაპირზე გამოითვლება ფორმულით:

$$T_b - T_3 = (T_{b0} - T_3) e^{-a_3 x} \quad (51')$$

სადაც T_b - სითხის ტემპერატურა; T_{b0} - სითხის საწყისი
ტემპერატურა;

T_3 - პაერის ტემპერატურა;

$$a_3 = \frac{\alpha_3 u}{C_{v3} G}; \quad \alpha_3 - \text{თბოცვლის კოეფიციენტი პაერსა და სითხეს}$$

C_{v3} - სითხის სითბოტევადობა; G - სითხის ხარჯი;

u - წიბოს კვეთის პერიმეტრი

იმისათვის, რომ წიბოს მთელ ზედაპირზე მიმდინარეობდეს
პაერიდან წყლის ორთქლის კონდენსაცია, სითხის ტემპერატურა წიბოს
ბოლოში ნაკლები უნდა იყოს პაერის ნამის წერტილის ტემპერატურაზე.
ეს მოთხოვნა განხორციელებადია იმ შემთხვევაში, თუ წიბოს სიმაღლე
დააკმაყოფილებს პირობას:

$$h \leq \frac{\ln \frac{t_3 - t_v}{t_3 - t_{b_0}}}{a_3} \quad (52)$$

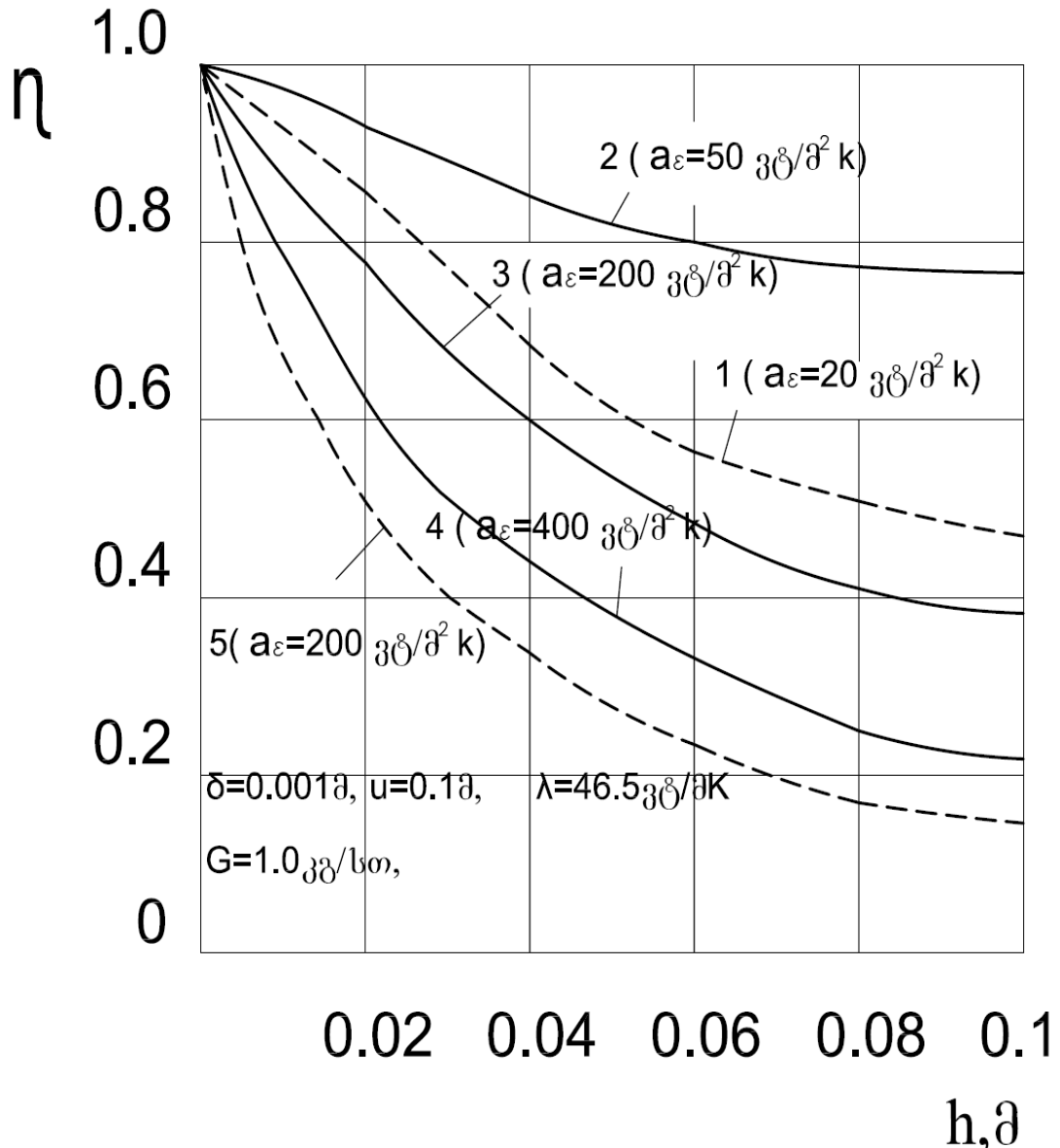
სადაც t_{b_0} - სითხის საწყისი ტემპერატურა.

t_v - წიბოს ტემპერატურა.

ანალოგიურმა გამოკვლევებმა გვიჩვენა, რომ სითხის აორთქლების შემთხვევაში ობოცვლის საერთო კოეფიციენტი ზედაპირის ტემპერატურის ზრდასთან ერთად მკვეთრად იზრდება. ამასთან, ობომცვლელ აპარატებში რომელთა მოსარწყავი ზედაპირები გამოიყენება ჰაერის გასათბობად და გასატენიანებლად, სითხის ზედაპირის საშუალო ტემპერატურა საკმაოდ მაღალია და ობოცვლის საერთო კოეფიციენტი $10 \div 20$ ჯერ სჭარბობს კონვექციური ობოცვლის კოეფიციენტს, მაშინ როდესაც ჰაერის გაცივების და გაშრობის შემთხვევაში ეს მატება $1 \div 3$ ჯერადია.

ნახაზზე 10 მოყვანილია შედარებითი გრაფიკი, რომელიც გვიჩვენებს სწორი წიბოს ეფექტურობის კოეფიციენტის დამოკიდებულებას მის სიმაღლეზე ჰაერის სხვადასხვაგარი თერმოდინამიკური დამუშავების დროს. მრუდი 1 აღწერს „მშრალი“ წიბოს მუშაობას, როცა მისი ზედაპირი არ ირწყვება ($G=0$) და ჰაერიდან არ ხდება წყლის ორთქლის კონდენსაცია. ჰაერსა და წიბოს ზედაპირს შორის ობოცვლის კოეფიციენტი $\alpha=20$ ვატი/ $\text{მ}^2\text{K}$, შეესაბამება რეალურს ვენტილაციის და ჰაერის კონდიციების ობომცვლელ აპარატებში, როცა ობოცვლას თან არ სდევს მასათა ცვლა. ყველა სხვა მრუდი განეკუთვნება მოსარწყავზედაპირიან წიბოებს და აგებულია სწორი წიბოს ეფექტურობის კოეფიციენტის გამოსათვლელი ანალიზური ფორმულებით. მრუდი 2 გვიჩვენებს წიბოს ეფექტურობის დამოკიდებულებას მის სიმაღლეზე ჰაერიდან წყლის ორთქლის კონდენსაციის დროს ($\alpha_\xi=50$ ვატი/ $\text{მ}^2\text{K}$), მრუდები 3 და 4 წყლის აორთქლების შემთხვევაში, $\alpha_\xi=200$ ვატი/ $\text{მ}^2\text{K}$ და $\alpha_\xi=400$ ვატი/ $\text{მ}^2\text{K}$, როცა მომრწყველი სითხის საწყისი ტემპერატურა ტოლია წიბოს ფუძის ტემპერატურისა. მრუდი 5 აღწერს წიბოს მუშაობას აორთქლების პირობებში, როცა $\alpha_\xi=200$ ვატი/ $\text{მ}^2\text{K}$, „აღიაბატურ“ რეჟიმში, როცა

გაწიბოვნებული ზედაპირები ირწყვებიან რეცირკულირებული წყალით წინასწარი თერმიული დამუშავების გარეშე.



ნახ. 10 წიბოს ეფექტურობის კოეფიციენტის დამოკიდებულება მის სიმაღლეზე პაერის სხვადასხვაგვარი თერმოდინამიკური დამუშავების დროს

შედარებითი გრაფიკი გვიჩვენებს, რომ როცა თბომცვლელი აპარატი გამოიყენება პაერის გასაცივებლად და გასაშრობად, სითხის (წყლის) ნაკადის ორგანიზება წიბოს ზედაპირზე ზრდის წიბოს ეფექტურობის კოეფიციენტს. ამასთან, გამოკვლევებმა გვიჩვენეს, რომ სითხის ხარჯის ზრდა რეალურ ფარგლებში,

$$H_w = \frac{G}{u} = (10 \div 30) \text{ град/д},$$

საშუალებას გვაძლევს მნიშვნელოვნად გავზარდოთ წიბოს სიმაღლე „მშრალ” წიბოსთან შედარებით ეფექტურობის კოეფიციენტის ერთი და იგივე მნიშვნელობის პირობებში, რითაც მიიღწევა მეტალის საგრძნობი ეკონომია.

საწინააღმდეგო სურათს აქვს ადგილი თბომცვლელ აპარატებში, რომლებიც გამოიყენება ჰაერის გასათბობად და გასატენიანებლად. წყლის აორთქლების დროს, თბომცვლის მაღალი კოეფიციენტის გამო, მოსარწყავზედაპირიანი წიბოს ეფექტურობის კოეფიციენტი მცირდება და როგორც ზოგიერთი ავტორს აქვს მითითებული [5, 6] საჭირო ხდება ძალზე დაბალი წიბოების ($h = 0.002 \div 0.005\text{д}$) ან გლუგზედაპირიანი მიღების გამოყენება.

აღნიშნულიდან გამომდინარე, ოპტიმალურ ვარიანტად მიგვაჩნია ჰაერის გასათბობად და გასატენიანებლად წყლის აფსკური აორთქლების პროცესის განხორციელება დასველებული კაპილარული ზედაპირებიდან.

თავი 4. სითხის ორგანიზებული ნაკადის გავლენა მოსარტყაგ, გაფიბოვნებულ ზედაპირიანი თბომცვლელი აკარატების ეფექტურობაზე

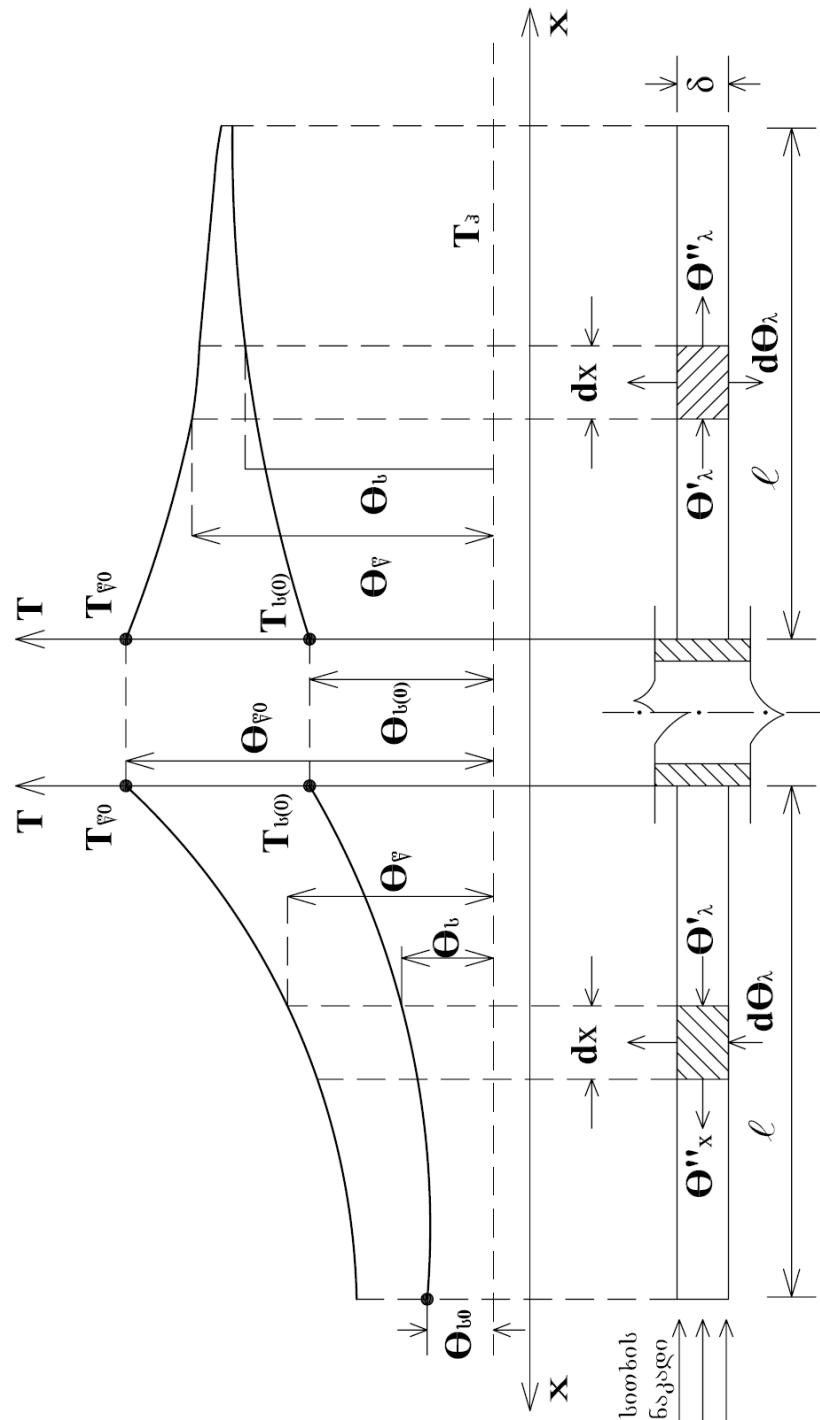
ზედაპირული თბომცვლელი აპარატების თბოტექნიკური მახასიათებლები ბევრადაა დამოკიდებული გაწიბოვნებული ზედაპირის ეფექტურობაზე, რომელიც თავის მხრივ დამოკიდებულია წიბოს ზედაპირზე სითბოსა და მასის ცვლის კოეფიციენტებზე, წიბოს მასალაზე, მის ფორმასა და გეომეტრიულ ზომებზე. წიბოს ზედაპირზე სითხის ორგანიზებული ნაკადის შემთხვევაში ამ ფაქტორებს ემატებათ სითხის ხარჯი, მისი საწყისი პარამეტრები და ნაკადის მიმართულება. აქტუალურია პარამეტრები და გაწიბოვნებულ ზედაპირს შორის სითბოსა და მასის ცვლის მექანიზმის შესწავლა წიბოს ზედაპირზე ტემპერატურის განაწილების გამოკვლევის საშუალებით, სითხის ორგანიზებული ნაკადის სხვადასხვა მიმართულებით, ხარჯისა და საწყისი პარამეტრების შემთხვევაში.

აღნიშნულ პრობლემისადმი მიძღვნილ ნაშრომებში განხილულია შემთხვევა, როცა სითხის საწყისი ტემპერატურა ტოლია წიბოს ფუძის ტემპერატურისა და წიბოს ნებისმიერ წერტილში მისი ზედაპირის და სითხის ტემპერატურები ერთმანეთისაგან არ განსხვავდებიან. პრაქტიკისათვის უფრო მნიშვნელოვანია შემთხვევა, როცა სითხის საწყისი ტემპერატურა და წიბოს ფუძის ტემპერატურა სხვადასხვაა და სითხის ტემპერატურა განსხვავდება წიბოს ზედაპირის ტემპერატურისაგან. ამ დროს საჭირო ხდება განხილულ იქნას ორი ვარიანტი: პირველი - როცა სითხის ორგანიზებული ნაკადი მოძრაობს წიბოს ფუძის პერპენდიკულარულად და მეორე - როცა სითხის ნაკადი მოძრაობს წიბოს ფუძის გასწვრივ.

თავი 4.1. სწორი წიგოს ზედაპირის ტემპერატურული ველის და ეფექტურობის გამოკვლევა სითხის ორგანიზებული ნაკადის უსმის პერანდიპულარული მოძრაობის დროს

ამ შემთხვევაშიც საჭიროა განვიხილოთ ორი ვარიანტი: პირველი - როცა წიბოს სისქეში სითბოს კონდუქციური ნაკადის მიმართულება ემთხვევა სითხის ნაკადის მიმართულებას და მეორე - როცა ამ

ნაკადების მიმართულებები ურთიერთსაწინააღმდეგოა. აღნიშნული ვარიანტების პროცესის მოდელი და კოორდინატთა სისტემა მოცემულია ნახაზზე 11.



ნახ. 11 წიბოს სისქეში, სითბოს კონდუქციური ნაკადის და სითბოს ნაკადის პროცესის მოდელი და კოორდინატთა სისტემა

გერტიკალურად განლაგებული სწორი წიბოს ფუძიდან ზემო ნაწილში შემოდის სითხის ორგანიზებული ნაკადი საწყისი ტემპერატურით $T_{b(o)}$, ხარჯით G , სითბოტევადობით $C_{v(b)}$. სითხის ნაკადი წიბოს ფუძეზე დებულობს ტემპერატურას $T_{b(o)}$ და ამ ტემპერატურით იწყებს მოძრაობას წიბოს ქვემო ნაწილზე. წიბოს ფუძის ტემპერატურა $T_{v(o)}$, სისქე- δ , კვეთის ფართი- f , კვეთის პერიმეტრი- u , სიმაღლე- ℓ , თბოგამტარობის კოეფიციენტი- λ . დაშვებულია, რომ პაურის ტემპერატურა T_{β} , თბოცვლის კოეფიციენტი წიბოს ზედაპირსა და სითხეს შორის α_v , თბოცვლის კოეფიციენტი სითხესა და პაურს შორის α_{β} -მუდმივია.

წიბოს ზემო ნაწილს dx ელემენტისათვის გვექნება შემდეგი თბური განტოლებები:

$$\alpha_v u(\theta_v - \theta_b) dx + C_{v(b)} G \frac{d\theta_b}{dx} dx = \alpha_{\beta} U \theta_b dx \quad (53)$$

$$\lambda t \frac{d^2 \theta_v}{dx^2} dx = \alpha_v U (\theta_v - \theta_b) dx \quad (54)$$

$$\begin{aligned} \text{შემოვიდოთ შემდეგი აღნიშვნები: } a_2 &= \frac{\alpha_v U}{C_{v(b)} G}; \\ a_3 &= \frac{\alpha_{\beta} U}{C_{v(b)} G}; \end{aligned}$$

$$a_1 = a_2 + a_3; \quad m \sqrt{\frac{\alpha_v U}{\lambda t}}; \quad \theta_v = T_v - T_{\beta}; \quad \theta_b = T_b - T_{\beta};$$

დავუშვათ, რომ სხვაობა $\theta_v - \theta_b$ იცვლება შემდეგი ექსპონენციალური კანონით:

$$\theta_v - \theta_b = [\theta_{v(o)} - \theta_{b(o)}] \exp(-K_1 X) \quad (55)$$

რომელშიც უცნობი სიდიდე K_1 , მოითხოვს ცალკე გამოკვლევას, მაშინ (53) და (54) მიიღებენ სახეს:

$$\frac{d\theta_b}{dx} - a_3 \theta_b = -a_2 [\theta_{v(o)} - \theta_{b(o)}] \exp(-K_1 X) \quad (56)$$

$$\frac{d^2\theta_{\bar{v}}}{dx^2} = m^2 \left[\theta_{\bar{v}_0} - \theta_{b(o)} \right] \exp(-K_1 X) \quad (57)$$

(56)-ს ინტეგრირებით მივიღებთ:

$$\theta_b = \left[\theta_{\bar{v}_0} - \theta_{b(o)} \right] \frac{a_2}{a_3 + K_1} \exp(-K_1 X) + C_1 \exp(-a_3 x) \quad (58)$$

როცვა $X = \ell$, $\theta_b = \theta_{b_0}$

$$C_1 = \theta_{b_0} \exp(-a_3 \ell) - \left[\theta_{\bar{v}_0} - \theta_{b(o)} \right] \frac{a_2}{a_3 + K_1} \exp[-(a_3 + k_1)\ell]$$

$$\begin{aligned} \theta_b &= \theta_{b_0} \exp[-a_3(\ell - x)] + \left[\theta_{\bar{v}_0} - \theta_{b(o)} \right] \frac{a_2}{a_3 + k_1} \{ \exp(-k_1 x) \\ &- \exp[-a_3(\ell - x) - k_1 \ell] \} \end{aligned} \quad (59)$$

სითხის ტემპერატურა წიბოს ფუძეზე გამოითვლება პირობიდან:

როცვა $X = 0$, $\theta_b = \theta_{b(o)}$ და

$$\theta_{b(o)} = \theta_{b_0} \frac{(a_3 + k_1) \exp(-a_3 \ell)}{a_1 + k_1 - a_2 \exp[-(a_3 + k_1)\ell]} + \theta_{\bar{v}_0} \frac{a_2 \{1 - \exp[-(a_3 + k_1)\ell]\}}{a_1 + k_1 - a_2 \exp[-(a_3 + k_1)\ell]} \quad (60)$$

(60)-ს შემთხვევა (59)-ში საბოლოოდ მივიღებთ:

$$\theta_b = \theta_{b_0} \exp[-a_3(\ell - x)] + [\theta_{\bar{v}_0} - \theta_{b_0} \exp(-a_3 \ell)] \frac{a_2 [\exp(-k_1 x) - \exp[-a_3(\ell - x) - k_1 \ell]]}{a_1 + k_1 - a_2} \quad (61)$$

$$\begin{aligned} \theta_{\bar{v}} &= \theta_b + [\theta_{\bar{v}_0} - \theta_{b(o)}] \exp(-k_1 x) = \theta_{b_0} \exp[-a_3(\ell - x)] + \\ &+ [\theta_{\bar{v}_0} - \theta_{b_0} \exp(-a_3 \ell)] \frac{(a_1 + k_1 [\exp(-k_1 x) - a_2 \exp[-a_3(\ell - x) - k_1 \ell]])}{a_1 + k_1 - a_2 \exp[-(a_3 + k_1)\ell]} \end{aligned} \quad (62) \quad (10)$$

წიბოს ეფექტურობის კოეფიციენტი ტოლი იქნება:

$$\begin{aligned} n_{\bar{v}} &= \frac{\theta_{b_0}}{\theta_{\bar{v}_0}} \frac{1 - \exp(-a_3 \ell)}{a_3 \ell} + \frac{\theta_{\bar{v}_0} - \theta_{b_0} \exp(-a_3 \ell)}{\theta_{\bar{v}_0}} \times \\ &\times \frac{a_2}{a_1 + k_1 - a_2 \exp[-(a_3 + k_1)\ell]} \left\{ \frac{1 - \exp(-k_1 \ell)}{k_1 \ell} - \frac{\exp(-k_1 \ell) [1 - \exp(-a_3 \ell)]}{a_3 \ell} \right\} \end{aligned} \quad (63)$$

ამ ფორმულებში შემავალი უცნობი სიდიდის k_1 - ის საპოვნელად, ბალანსური დიფერენციალური განტოლებებიდან რიგი მათემატიკური გარდაქმნების შემდეგ მივიღებთ შემდეგ გამოსახულებას:

$$k_1^2 + a_2 k_1 - m^2 = -m^2 \frac{k_1 \ell}{\exp(k_1 \ell) - 1} \quad (64)$$

რომლის ამოხსნა შესაძლებელია ეგმ-ის საშუალებით.

წიბოს სიმაღლის გაზრდით (64) განტოლების მარჯვენა წევრი მიისწრაფებ ნულისაკენ და მაღალი წიბოების შემთხვევაში შეიძლება დაგუშვათ:

$$k_1 = -\frac{a_2}{2} + \sqrt{\left(\frac{a_2}{2}\right)^2 + m^2} \quad (65)$$

სწორი წიბოს ქვემო ნაწილის dx ელემენტისათვის თბური ბალანსის განტოლებას ექნება შემდეგი სახე:

$$\frac{d\theta_b}{dx} + a_3 \theta_b = a_2 [\theta_{v_0} - \theta_{b(o)}] \exp(-k_2 x) \quad (66)$$

რომლის ინტეგრირებით მივიღებთ:

$$\theta_b = [\theta_{v_0} - \theta_{b(o)}] \frac{a_2}{a_3 - k_2} \exp(-k_2 x) + C_2 \exp(-a_3 x) \quad (67)$$

$$\text{როცდ } X=0, \quad \theta_b = \theta_{b(o)} \quad \text{და} \quad C_2 = \theta_{b(o)} - [\theta_{v_0} - \theta_{b(o)}] \frac{a_2}{a_3 - k_2}$$

საბოლოოდ მივიღებთ:

$$\theta_b = \theta_{b(o)} \exp(-a_3 x) + [\theta_{v_0} - \theta_{b(o)}] \frac{a_2}{k_2 - a_3} [\exp(-a_3 x) - \exp(-k_2 x)] \quad (68)$$

$$\begin{aligned} \theta_v = & \theta_{b(o)} \exp(-a_3 x) + [\theta_{v_0} - \theta_{b(o)}] \frac{a_2}{k_2 - a_3} [\exp(-a_3 x) - \exp(-k_2 x)] + \\ & + [\theta_{v_0} - \theta_{b(o)}] \exp(-k_2 x) \end{aligned} \quad (69)$$

წიბოს ეფექტურობის კოეფიციენტი:

$$\eta_v = \frac{\theta_{b(o)}}{\theta_{v_0}} = \frac{\theta_{b(o)}}{\theta_{v_0}} \frac{1 - \exp(-a_3 \ell)}{a_3 \ell} + \frac{\theta_{v_0} - \theta_{b(o)}}{\theta_{v_0}} \frac{a_2}{(k_2 - a_3) \ell} \left[\frac{1 - \exp(-a_3 \ell)}{a_3 \ell} - \frac{1 - \exp(-k_2 \ell)}{k_2 \ell} \right] \quad (70)$$

ამ ფორმულაში შემავალი სიდიდე $\theta_{b(o)}$ განისაზღვრება (60)

ფორმულის საშუალებით, ხოლო k_2 -ის გამოსათვლელად მიღებული გვაქვს გამოსახულება

$$k_2^2 - a_2 k_2 - m^2 = -m^2 \frac{k_2 \ell}{\exp(k_2 \ell - 1)} \quad (71)$$

რომელიც ამოიხსნება ეგბ-ის საშუალებით. მაღალი წიბოების შემთხვევაში შეიძლება დავუშვათ:

$$k_2 = \frac{a_2}{2} + \sqrt{\left(\frac{a_2}{2}\right)^2 + m^2} \quad (72)$$

k_1 და k_2 -ს გამოთვლის მეთოდიკა მოყვანილია ნაშრომში /2/.

ნახაზზე 12, სადაც კოორდინატა $X=0$ პირობითად მიღებულია როგორც ზემო და ქვემო წიბოების გამყოფი ფუძე, დატანილია (61), (62), (68), (69) ფორმულებით გამოთვლილი 10 სმ სიმაღლის მქონე წიბოების ზედაპირის და სითხის ტემპერატურების განაწილების მრუდები. აქვე დატანილია იმავე ზედაპირებზე სითხის ტემპერატურის განაწილების მრუდი, როცა წიბოები გამორთულია, ე.ო. როცა თბოცვლა მიმდინარეობს სითხის ნაკადსა და ჰაერს შორის. ტემპერატურის ეს განაწილება გამოთვლილია ცნობილი ფორმულით [10]:

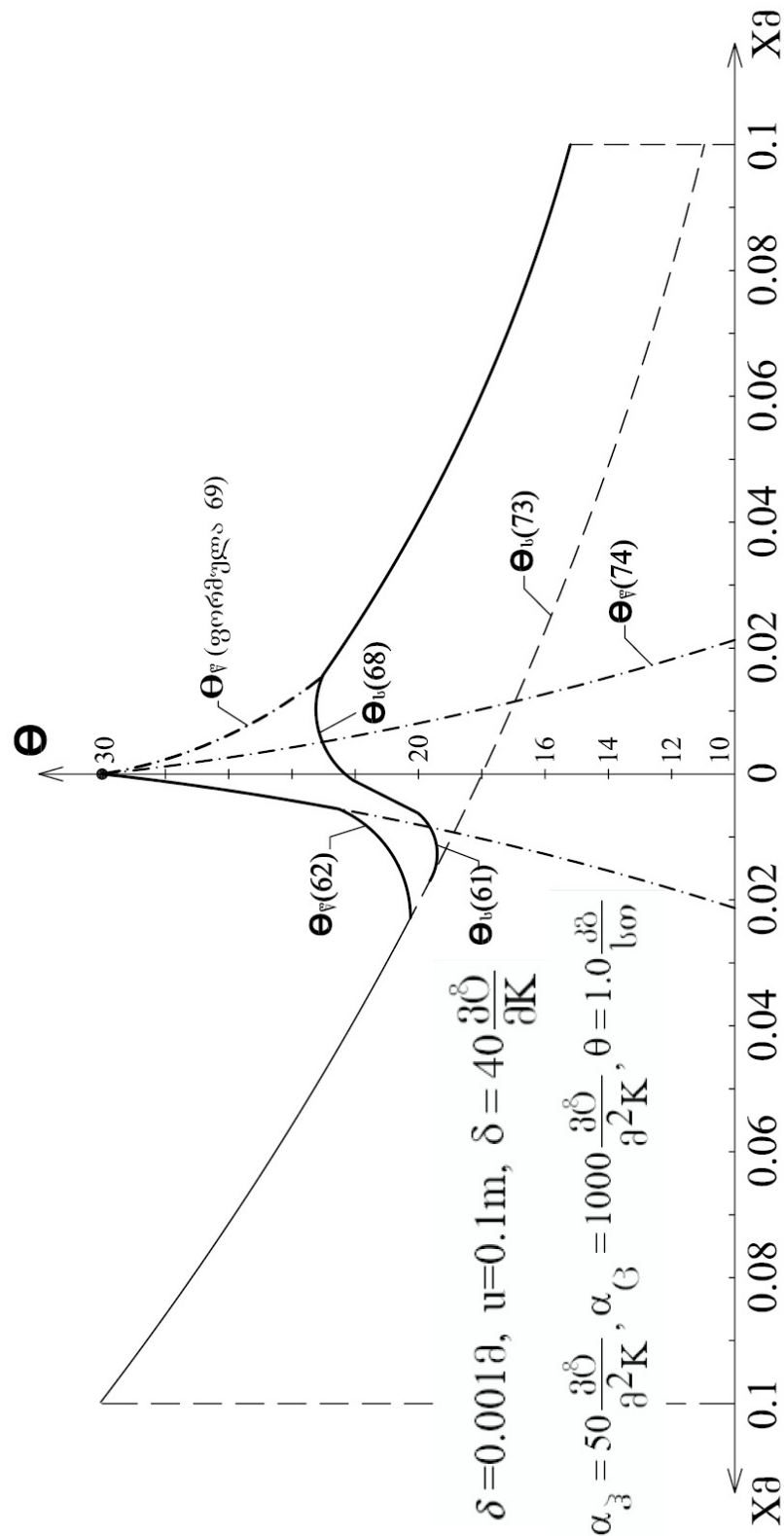
$$\theta_b = \theta_{b(o)} \exp\left(-\frac{\alpha_{\ddot{u}} u}{C_{\dot{v}_b} G} x\right) \quad (73)$$

ასევე დატანილია წიბოს ზედაპირზე ტემპერატურის განაწილება სითხის ნაკადის გარეშე:

$$\theta_{\dot{v}} = \theta_{\dot{v}(o)} \exp\left(-\sqrt{\frac{\alpha_{\ddot{u}} u}{\lambda f}} x\right) \quad (74)$$

როგორც გრაფიკიდან ჩანს, სითხის ნაკადის შემთხვევაში წიბოს ზედაპირის საშუალო ტემპერატურა გაცილებით მაღალია, ვიდრე

სითხის ნაკადის გარეშე. ეს ტემპერატურა ასევე მეტია სითხის ნაკადის საშუალო ტემპერატურაზე გამორთული წიბოების დროს.



ნახ. 12 წიბოების ზედაპირის და სითხის ტემპერატურების განაწილების მრუდები

რეალურ პირობებში სწორი წიბოს ზემო და ქვემო ნაწილები ერთად მუშაობენ. ამიტომ წიბოს ეფექტურობის კოეფიციენტი უნდა განვიხილოთ როგორც წიბოს ზემო და ქვემო ნაწილების ეფექტურობათა საშუალო სიდიდე.

სითხის ნაკადის ტემპერატურა წიბოს ზედა და ქვედა ნაწილების პირობითად გამყოფ ფუძეზე, როცა $X=0$

$$\theta_{b(o)} = \theta_{b_o} \frac{(a_3 + k_1) \exp(-a_3 \ell)}{a_1 + k_1 - a_2 \exp[-(a_3 + k_1) \ell]} + \theta_{v_o} \frac{a_2 [1 + \exp[-(a_3 + k_1) \ell]}{a_1 + k_1 - a_2 \exp[-(a_3 + k_1) \ell]}$$

მოსარწყავზედაპირებიანი თბომცვლელი აპარატის პრაქტიკულად გამოყენების ყველაზე ხელსაყრელ შემთხვევად ითვლება, როცა გაწიბოვნებული ზედაპირები ირწყვება მუდმივად რეცირკულირებული სითხით (წყლით) ეს პროცესი ხელსაყრელია იმიტომ, რომ არ მითხოვს მომრწყველი სითხის წინასწარ თერმულ დამუშავებას და შესაბამისად დამატებით ხარჯებს. ასეთი “ადიაბატური” პროცესის განხორციელებისას მყარდება რეჟიმი, როცა სითხის ტემპერატურა წიბოს ზედა ნაწილის დატოვებისას წიბოს ქვედა ნაწილზე შემოსული სითხის ტემპერატურის ტოლია.

სითხის ეს ტემპერატურა შეიძლება გამოვითვალოთ შემდეგი გამოსახულების საშუალებით:

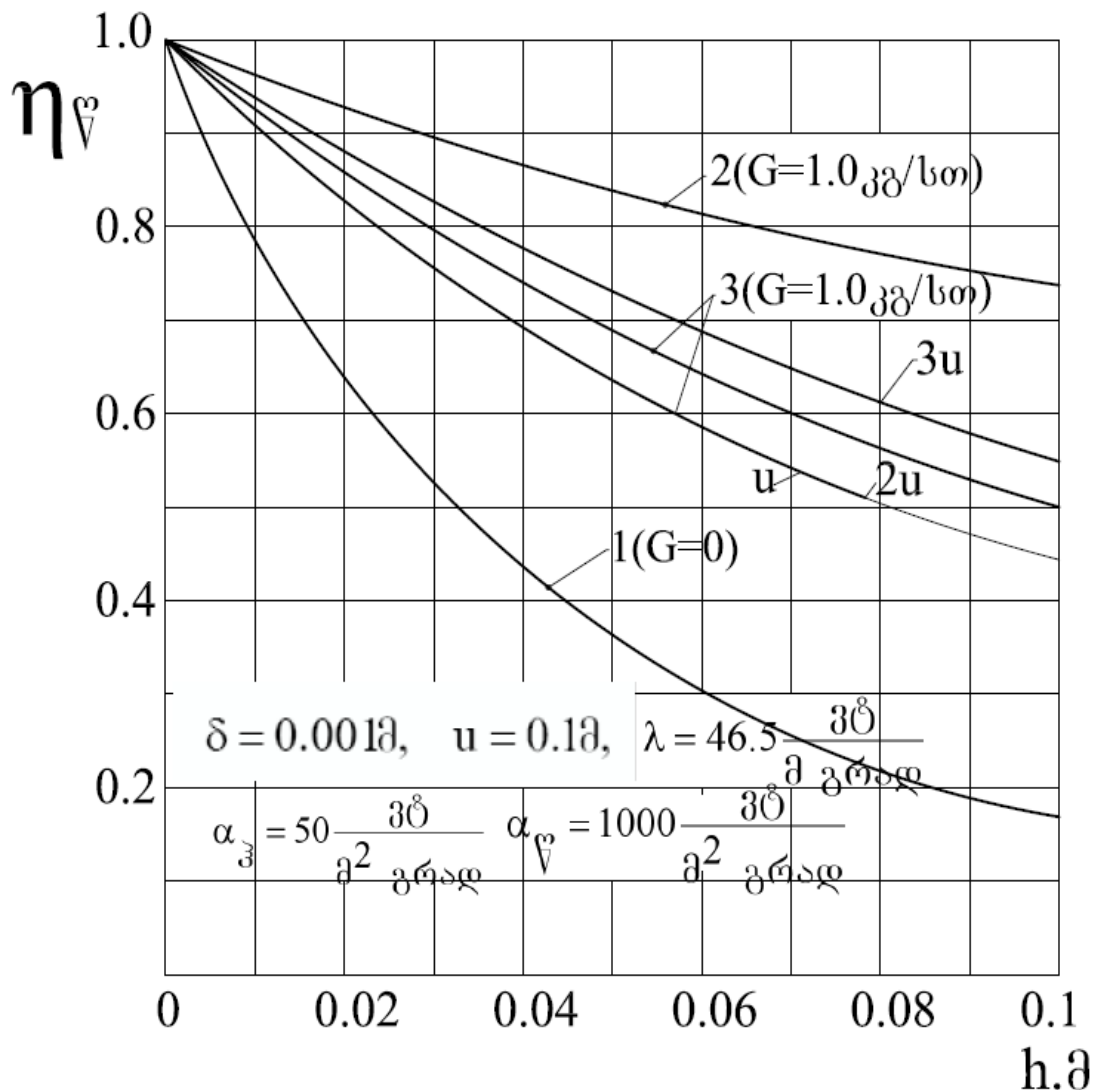
$$\theta_{b_o} = \theta_{v_o} \frac{\frac{a_2}{k_1 - a_3} [\exp(-a_3 \ell) - \exp(-k_1 \ell)] + \frac{M}{1-M} \exp(-a_3 \ell)}{\frac{M}{1-M} - \exp(-2a_3 \ell) + \frac{a_2}{k_1 - a_3} \{ \exp(-2a_3 \ell) + \exp[-a_3 + k_1] \ell \}} \quad (75)$$

სადაც

$$M = \frac{a_2 \{1 - \exp[-(a_3 + k_2) \ell]\}}{a_1 + k_2 - a_2 \exp[-(a_3 + k_2) \ell]},$$

როგორც გამოთვლებმა გვიჩვენა, ასეთი “ადიაბატური” პროცესის განხორციელებისას წიბოს ეფექტურობაზე მცირედ მოქმედებს სითხის ხარჯი. წიბოს ეფექტურობაზე მნიშვნელოვანი გავლენა აქვს წიბოს გეომეტრიულ პარამეტრებს, მათ შორის სითხესა და წიბოს შორის კონტაქტის ზედაპირს.

ნახაზზე 13 მოყვანილია სითხის ნაკადიანი წიბოს ეფექტურობის კოეფიციენტის დამოკიდებულება წიბოს სიმაღლეზე, „მშრალი” წიბოს შემთხვევაში (მრუდი), როცა სითხის საწყისი ტემპერატურა ტოლია წიბოს ფუძის ტემპერატურისა (მრუდი 2) და „ადიაბატური” რეჟიმის დროს (მრუდები 3) კონტაქტის სხვადასხვა ფართის პირობებში. როგორც გრაფიკიდან ჩანს



ნახ. 13 სითხის ნაკადიანი წიბოს ეფექტურობის კოეფიციენტის დამოკიდებულება წიბოს სიმაღლეზე

„ადიაბატური” რეჟიმში სითხესა და წიბოს შორის კონტაქტის ზედაპირის გაზრდით იზრდება წიბოს ეფექტურობის კოეფიციენტი. ამიტომ, სასურველია წიბოს ზედაპირზე შეიქმნას კაპილარული

სტრუქტურა, რაც წიბოს ეფექტურობის ამაღლებასთან ერთად ხელს შეუწყობს სითხის ნაკადის თანაბარ განაწილებას წიბოს მთელ ზედაპირზე.

„ადიაბატური“ პროცესის განხორციელებისას წიბოს ეფექტურობის კოეფიციენტი ნაკლებია, ვიდრე თერმულად დამუშავებული წყლით მორწყვის პირობებში, როცა წყლის საწყისი ტემპერატურა ტოლია წიბოს ფუძის, ანუ მიღებში გამავალი წყლის ტემპერატურისა, მაგრამ იგი სჭარბობს „მშრალი“ წიბოს ეფექტურობის კოეფიციენტს. გაწიბოვნებულ ზედაპირებზე სითხის ნაკადის ორგანიზებით, „ადიაბატურ“ რეჟიმშიც, შესაძლებელია წიბოს ეფექტურობის ოპტიმალური მნიშვნელობის, $\eta_p \geq 85$, შენარჩუნება საკმაოდ მაღალი წიბოების შემთხვევაში ($h = 0,02 \div 0,03 \vartheta$); რაც საგრძნობლად ამცირებს მიღების ხარჯს იმ აპარატებთან შედარებით, სადაც წიბოს სიმაღლედ ჩვეულებრივად მიღებულია $h = 0,005 \div 0,01 \vartheta$ და იძლევა მეტალის მნიშვნელოვან ეკონომიას.

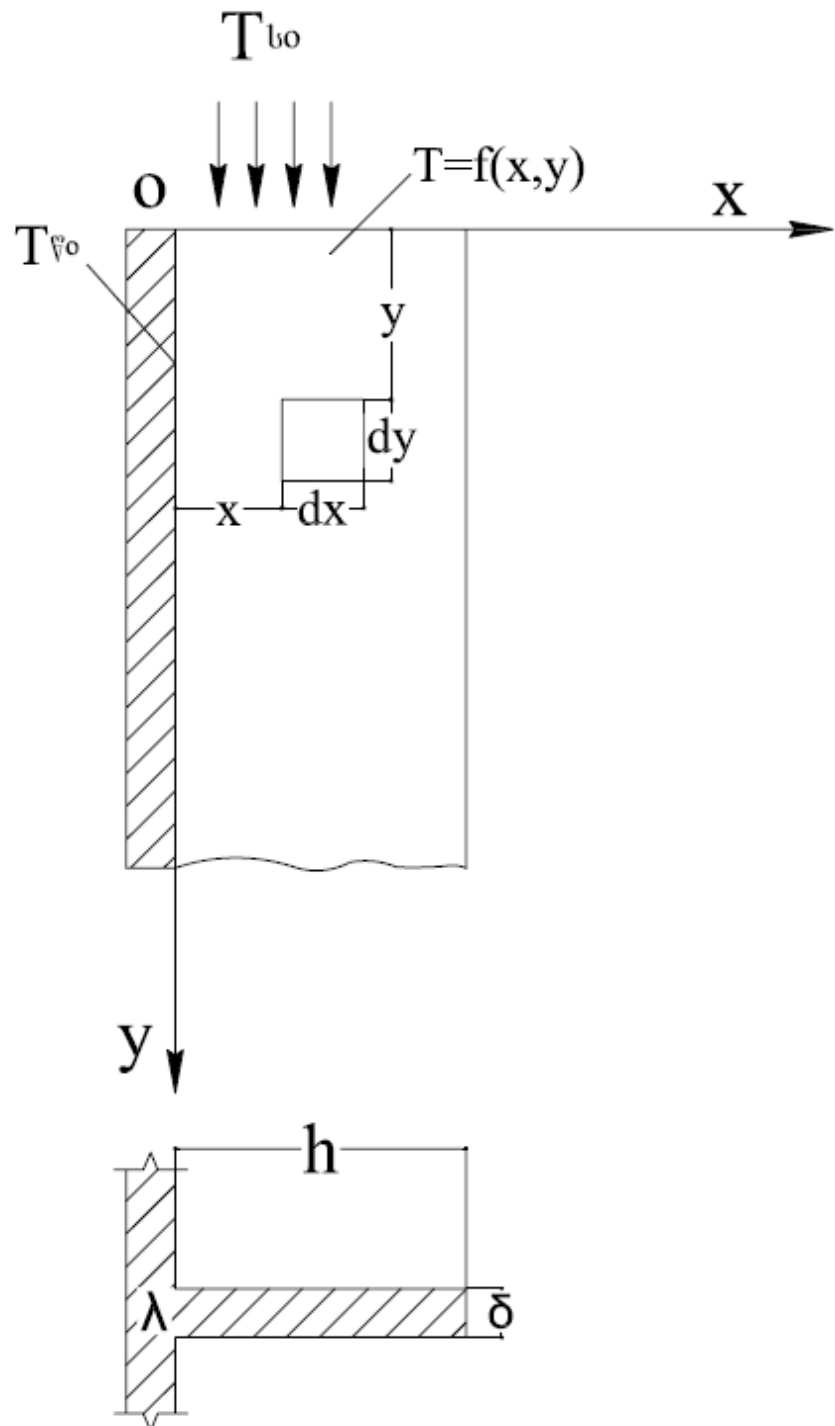
თავი 4.2. სწორი წიბოს ზედაპირის ტემპერატურული ველის და ეფექტურობის გამოკვლევა სითხის ორგანიზაციული ნაკადის ფუძის გასწვრივად მოძრაობის დროს

მოსარწყავზედაპირიან თბომცვლელ აპარატებში, რომლებიც გამოიყენება ვენტილაციის და ჰაერის კონდიცირების სისტემებში, შესაძლებელია ისეთი პროცესის განხორციელება, როცა სითხე მოძრაობს სწორი წიბოს ზედაპირზე ფუძის პარალელურად. ამ შემთხვევაში ტემპერატურული ველი წიბოს ზედაპირზე ორგანზომილებიანია. ანალოგიური სტაციონალური თბოგამტარობის ორგანზომილებიანი ამოცანა ნახევრადშეზღუდული ფირფიტისათვის სითხის გარეშე განხილულია შრომებში [3, 12].

განვიხილოთ ერთგვაროვანი მასალის თხელი სწორი წიბო მუდმივი სისქით δ და თბოგამტარობით λ , რომლის ზომა შეუზღუდავია იყ ლერძის მიმართულებით ნახ. 14. უშვებთ რომ მუდმივია სითხის

სითბოტევადობა $C_{\text{წ}}$ და მასური ხარჯი G . მუდმივია აგრეთვე პაერსა და სითხეს შორის თბოცვლის კოეფიციენტი α ; პაერის ტემპერატურა

სითხის ნაწალი



ნახ. 14 სწორი წიბო, მუდმივი სისქით და თბოგამტარობით, რომლის
სიგრძე შეუზღუდავია

T_{so} , წიბოს ტემპერატურა ფუძეზე T_{vo} . სითხისა და წიბოს ტემპერატურები ზედაპირის ნებისმიერ წერტილში არ განსხვავდებიან ერთმანეთისაგან $T_{\text{v}} = T_{\text{b}} = T$.

სითბოს ბალანსის დიფერენციალური განტოლება ზედაპირის $dxdy$ ელემენტისათვის შემდეგნაირად ჩაიწერება:

$$\lambda \delta \left(\frac{\gamma^2 T_{\text{v}}}{\gamma x^2} + \frac{\gamma^2 T_{\text{v}}}{\gamma y^2} \right) dxdy = \frac{C_{\text{vb}} G}{h} \frac{\gamma T_{\text{b}}}{\gamma y} dxdy + 2\alpha_{\text{v}} (T_{\text{b}} - T_{\text{v}}) dxdy \quad (76)$$

$$\text{შემოვიდოთ } \text{შემდეგი აღნიშვნები: } \frac{C_{\text{vb}} G}{\lambda \delta h} = a; \quad \frac{2\alpha}{\lambda \delta} = b; \quad T = T_{\text{vo}} = \theta;$$

$$T_{\text{so}} = T_{\text{vo}} = \theta_{\text{so}}; \quad T_{\text{bo}} = T_{\text{vo}} = \theta_o;$$

მაშინ (76) მიიღებს სახეს:

$$\frac{\gamma^2 \theta}{\gamma x^2} + \frac{\gamma^2 \theta}{\gamma y^2} = a \frac{\gamma \theta}{\gamma y} \sin \theta + \sin \theta_{\text{so}} = 0; \quad (77)$$

შემდეგი სასაზღვრო პირობებით:

$$\begin{aligned} \text{როცა} \quad x = 0, \quad \theta_{(o,y)} &= 0 \\ y = 0, \quad \theta_{(x,o)} &= \theta_{bo} \end{aligned} \quad (78)$$

მოცემული განტოლების ამოსახსნელად ვიყენებთ ფურიეს სინუს გარდაქმნას:

$$\begin{aligned} \theta_{(x,y)} &\int_0^\infty F(\lambda_1 y) \sin(\lambda_1 x) dx \\ F(\lambda_1 y) &= \frac{2}{\pi} \int_0^\infty \theta(x_1 y) \sin(\lambda_1 x) dx \end{aligned} \quad (79)$$

(79) - ს საშუალებით, რიგი მათემატიკური გარდაქმნების შემდეგ (77) დებულობს სახეს:

$$\frac{d^2 F(\lambda_1 y)}{dy^2} - a \frac{dF(\lambda_1 y)}{dy} - (\lambda_1^2 + b) F(\lambda_1 y) + \frac{2b\theta_{bo}}{\pi \lambda_1} = 0 \quad (80)$$

(80) წარმოადგენს მეორე რიგის არაერთგვაროვან დიფერენციალურ განტოლებას, რომლის ზოგადი ამონახსნია:

$$F(\lambda_1 y) = F_1(\lambda_1 y) + F_2(\lambda_1 y) \quad (81)$$

ამ გამოსახულების პირველი წევრი არის (80) - ს შესაბამისი ერთგვაროვანი დიფერენციალური განტოლების ზოგადი ამონახსნი და ტოლია:

$$F_1(\lambda_1 y) = \ell^{\frac{ay}{2}} \left(C_1 \ell^{Ky} + C_2 \ell^{-Ky} \right) \quad (82)$$

$$\text{სადაც} \quad K = \frac{1}{2} \sqrt{a^2 + y(K^2 + b)}$$

მეორე წევრი წარმოადგენს (80) - ს კერძო ამონახსნს:

$$F_2(\lambda_1 y) = \frac{1}{K} \int_o^y \left(-\frac{2}{\pi} \frac{b\theta_{bo}}{\lambda} \right) \ell^{-\frac{a(t-y)}{2}} \operatorname{sh} K(y-t) dt \quad (83)$$

რომელიც, რიგი მათემატიკური გარდაქმნების შემდეგ მიიღებს სახეს:

$$F_2(\lambda_1 y) = \frac{b\theta_{bo}}{\pi \lambda K} \left[\frac{1 - \ell^{y(K+\frac{a}{2})}}{K + \frac{a}{2}} + \frac{1 - \ell^{-y(K+\frac{a}{2})}}{K - \frac{a}{2}} \right] \quad (84)$$

(82) და (84) - ს შეტანით (81) - ში მივიღებთ:

$$F(\lambda_1 y) = \left[C_1 - \frac{b\theta_{bo}}{\pi \lambda K \left(K + \frac{a}{2} \right)} \right] \ell^{y(K+\frac{a}{2})} + \left[C_2 - \frac{b\theta_{bo}}{\pi \lambda K \left(K + \frac{a}{2} \right)} \right] \ell^{-y(K-\frac{a}{2})} + \frac{2}{\pi} \frac{b\theta_{bo}}{\lambda(K^2 + b)} \quad (85)$$

C_1 და C_2 ინტეგრირების მუდმივების განსაზღვრისათვის გიყენებთ შემდეგ სასაზღვრო პირობებს:

$$\text{როცა } y=0, \quad \theta_{(x_1 o)} = \theta_{bo} \quad \text{და} \quad F(\lambda_1 o) = \frac{2}{\pi} \int_0^\infty \theta(x_1 o) \sin(\lambda_1 x) dx \frac{2}{\pi} \frac{\theta_{bo}}{x}$$

(85')
მეორე მხარე, (85)-დან მივიღებთ:

$$F(\lambda_1 o) = \left[C_1 - \frac{b\theta_{bo}}{\pi \lambda K \left(K + \frac{a}{2} \right)} \right] + \left[C_2 - \frac{b\theta_{bo}}{\pi \lambda K \left(K - \frac{a}{2} \right)} \right] + \frac{2b\theta_{bo}}{\pi \lambda (x^2 + b)} \quad (86)$$

ამ გამოსახულებიდან რიგი მათემატიკური გარდაქმნების შედეგად გვექნება:

$$C_1 + C_2 = \frac{2}{\pi} \frac{\theta_{bo}}{x} \quad (87)$$

როცა $y = \infty$, $\frac{d\theta_{(x_1 y)}}{dy} = 0$ საიდანაც, მათემატიკური გარდაქმნების შედეგად მიიღება სასაზღვრო პირობა გამოსახულებისთვის

$$\frac{dF(\lambda_1 y)}{dy} \Big|_{y=\infty} = 0$$

(85)-ს გათვალისწინებით და პირობით $K > \frac{a}{2}$ მივიღებთ:

$$C_1 = \frac{b\theta_{bo}}{\pi \lambda K \left(K + \frac{a}{2} \right)}, \quad C_2 = \frac{2\theta_{bo}}{\pi \lambda} - \frac{b\theta_{bo}}{\pi \lambda K \left(K + \frac{a}{2} \right)} \quad (88)$$

რომელთა შეტანით (85)-ში საბოლოოდ მივიღებთ გამოსახულებას:

$$F(\lambda_1 y) = \left[\frac{2\theta_{bo}}{\pi \lambda} - \frac{2b\theta_{bo}}{\pi \lambda (x^2 + b)} \right] e^{-y \sqrt{K - \frac{a}{2}}} + \frac{2b\theta_{bo}}{\pi \lambda (x^2 + b)} \quad (89)$$

ფურიეს უკუგარდაქმნების საშუალებით $\theta(x_1 y)$ ორიგინალისათვის გვექნება:

$$\theta(x_1y) = \frac{2}{\pi} \theta_{bo} \int_o^{\infty} \frac{\ell^{-y\left(\frac{K-a}{2}\right)}}{\lambda} \sin(\lambda x) d\lambda - \frac{2}{\pi} b \theta_{bo} \int_o^{\infty} \frac{\ell^{-y\left(\frac{K-a}{2}\right)}}{\lambda(\lambda^2 + b)} \sin(\lambda x) d\lambda + \frac{2}{\pi} b \theta_{bo} \int_o^{\infty} \frac{\sin(\lambda x)}{\lambda(\lambda^2 + b)} d\lambda \quad (90)$$

მიღებული განტოლების პირველი და მეორე წევრები ანალიზურად არ განისაზღვრებიან და ამიტომ წიბოს ზედაპირის ორგანზომილებიანი ტემპერატურული გელის საპოვნელად საჭირო ხდება ეგმ-ის გამოყენება.

საკმაოდ გრძელი წიბოს შემთხვევაში, ან როცა ხდება მომრწყველი სითხის რეცირკულაცია შეიძლება მივიღოთ, რომ $y=\infty$ და (90) მიიღებს სახეს:

$$\theta(x_1y) = \frac{2}{\pi} \theta_{bo} b \int_o^{\infty} \frac{\sin(\lambda x)}{\lambda(\lambda^2 + b)} dx = \theta_{bo} \left(1 - \ell^{-\sqrt{bx}} \right) \quad (91)$$

რომელიც წარმოადგენს უსასრულო სიგრძის სწორი წიბოს ზედაპირის ერთგანზომილებიანი ტემპერატურული გელის გამოსახულებას [3]:

$$\frac{T - T_b}{T_{\varphi o} - T_b} = \ell^{-\sqrt{\frac{2\alpha}{\lambda\delta_x}}} \quad (92)$$

წიბოს ზედაპირის საშუალო ტემპერატურა განისაზღვრება შემდეგი გამოსახულებით:

$$\bar{\theta} = \frac{1}{hL} \int_o^h \int_o^L \theta_{(x_1y)} dx dy \quad (93)$$

სადაც L -წიბოს სიგრძეა y დერძის მიმართულებით. ამ ფორმულაში (90) - ს შეტანით მივიღებთ:

$$\bar{\theta} = \frac{2\theta_{bo}}{\Pi h L} \int_o^{\infty} \frac{(1 - \cos h\lambda) \left[1 - \ell^{-L(K-\frac{a}{2})} \right]}{\lambda^2 \left(K - \frac{a}{2} \right)} d\lambda - \frac{2b\theta_{bo}}{\Pi h L} \int_o^{\infty} \frac{(1 - \cos h\lambda) \left[1 - \ell^{-L(K-\frac{a}{2})} \right]}{\lambda^2 (K_2 - b) \left(K - \frac{a}{2} \right)} d\lambda + \theta_{bo} + \frac{\theta_{bo}}{h\sqrt{b}} \left(\ell^{-h\sqrt{b}} - 1 \right) \quad (94)$$

წიბოს ეფექტურობის კოეფიციენტი კი იქნება:

$$\eta = 1 - \frac{\bar{\theta}}{\theta_{bo}} = \frac{2b}{\Pi h L} \int_o^{\infty} \frac{(1 - \cos h\lambda) \left[1 - \ell^{-L(K-\frac{a}{2})} \right]}{\lambda^2 \left(\lambda^2 + b \left(K - \frac{a}{2} \right) \right)} d\lambda - \frac{2\theta_{bo}}{\Pi h L \theta_{bo}} \int_o^{\infty} \frac{(1 - \cos h\lambda) \left[1 - \ell^{-L(K-\frac{a}{2})} \right]}{\lambda^2 \left(K - \frac{a}{2} \right)} d\lambda + \frac{1 - \ell^{-h\sqrt{b}}}{h\sqrt{b}}. \quad (95)$$

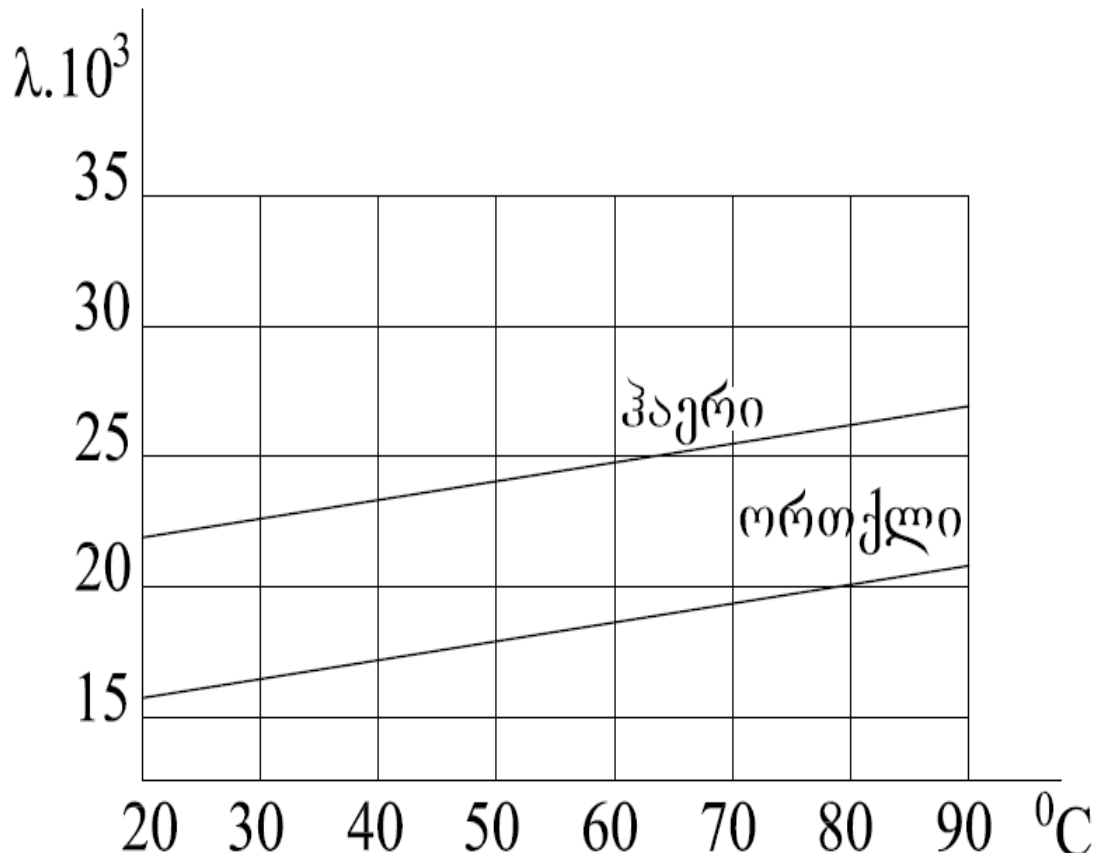
საკმაოდ გრძელი წიბოს შემთხვევაში, ან როცა ხდება მომრწყველი წყლის რეცირკულაცია (95) მიიღებს სახეს:

$$\eta = \frac{1 - \ell^{-h\sqrt{b}}}{h\sqrt{b}} \quad (96)$$

თავი 4.3. მრბვალი წიბოს ზედაპირის ფემავრატურული გელის და ეფექტურობის გამოკვლევა სითხის ორგანიზაციის ნაკადის შემთხვევაში

გათბობის, გენტილაციის და ჰაერის კონდიცირების სისტემებში ჰაერის თერმოდინამიური დამუშავებისთვის, უმრავლეს შემთხვევაში, გამოიყენება თბომცვლელი აპარატები, სადაც ცილინდრული ზედაპირები (მილები) აღჭურვილია მრგვალი წიბოებით ნახ. 15. ა სითხის ორგანიზებული ნაკადი ასეთ ზედაპირებზე იწვევს ტემპერატურული გელის და შესაბამისად ეფექტურობის კოეფიციენტის ცვლილებას „მშრალ“ წიბოებთან შედარებით. განვიხილოთ ერთგვაროვანი მასალის მრგვალი წიბო მუდმივი სისქით δ და თბოგამტარობის კოეფიციენტი λ ნახ. 16. წიბოს შიგა რადიუსია r ,

ხოლო გარე რადიუსი r_2 . დაშვებულია, რომ მუდმივია სითხის ხარჯი G და სითბოტევადობა $C_{\text{წ}}$. ასევე მუდმივია პაერის ტემპერატურა t_b , წიბოს ტემპერატურა ფუძეზე T_o და პაერსა და სითხეს შორის თბოცვლის კოეფიციენტი α . სითხის და წიბოს ტემპერატურები



ნახ. 15 თბომცვლელი აპარატები, რომლის ცილინდრული ზედაპირები (მილები) აღჭურვილია მრგვალი წიბოებით

ზედაპირის ნებისმიერ წერტილში ერთმანეთის ტოლია $T_v = T_{bo} = T$. მიღებული გვაქვს $\theta = T - T_b$, $\theta_o = T_o - T_b$.

dr სისქის წიბოს რგოლური ელემენტისთვის თბოგამტარობით გადატანილი სითბოს რაოდენობა იქნება;

$$dQ\lambda = \theta r - \theta r + dr = 2\pi\lambda \left(\frac{d^2\theta}{dr^2} r dr + \frac{d\theta}{dr} dr \right) \quad (97)$$

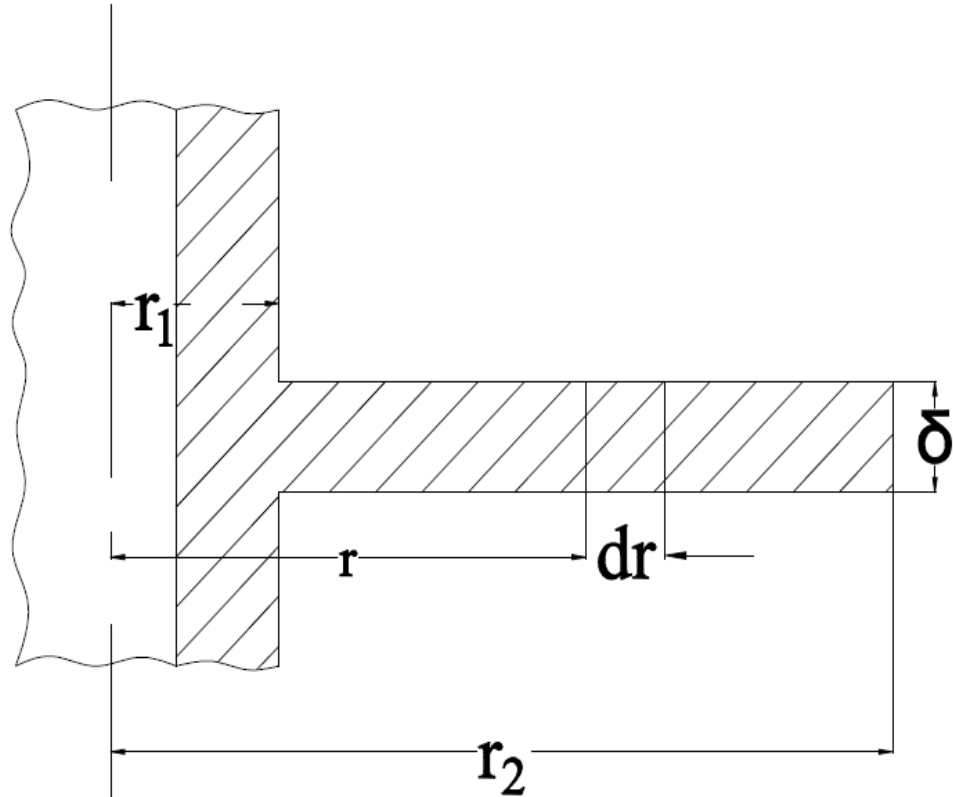
სითხის ნაკადის მიერ გადატანილი სითბოს რაოდენობა:

$$dQ_G = -C_{\text{vib}} G \frac{d\theta}{dr} dr \quad (98)$$

მათი ჯამი წარმოადგენს გარემო ჰაერისადმი გადიდებულ სითბოს რაოდენობას;

$$dQ = \alpha \theta 4 \pi r d r \quad (99)$$

ამრიგად მივიღებთ შემდეგ დიფერენციალურ განტოლებას;



ნახ. 16 ერთგვაროვანი მასალის მრგვალი წიბო, მუდმივი სისქით

$$\frac{d^2\theta}{dr^2} - \frac{1}{r} \left(\frac{C_{\text{vib}} G}{2\pi\lambda\delta} - 1 \right) \frac{d\theta}{dr} - \frac{2\alpha}{\lambda\delta} \theta = 0 \quad (100)$$

რომელიც წარმოადგენს ბესელის მოდიფიცირებულ დიფერენციალურ განტოლებას. მისი ზოგადი ამოხსნა იქნება;

$$\theta = r^\nu [C_1 I(Y_\nu(Z)) + C_2 K_\nu(Z)] \quad (101)$$

$$\text{სადაც } m = \left(\frac{2\alpha}{\lambda\delta} \right)^{\frac{1}{2}}; \quad V = \left(\frac{C_{\text{vib}} G}{y\pi\lambda\delta} \right); \quad Z = i m z$$

C_1 და C_2 მუდმივები გამოითვლებიან სასაზღვრო პირობებიდან:

$$\text{როცა } r = r_1; \quad \theta = \theta_o.$$

$$r = r_2; \quad \frac{d\theta}{dz} = 0. \quad (102)$$

რეკურენტული ფორმულების გამოყენებით, (101) - დან მივიღებთ ორ განტოლებას:

$$\begin{aligned} \theta_o &= r_1^v [C_1 I_v(z_1) + C_2 K_v(z_1)] \text{ და} \\ O &= V r_2^{v-1} [C_1 I_v(z_2) + C_2 K_v(z_2)] + r_2^v \left\{ C_1 \left[i m I_{v+1}(Z_2) + \frac{V}{r_2} Z_v(z_2) \right] + \right. \\ &\quad \left. + C_2 \left[-i m K_{v+1}(Z_2) + \frac{V}{r_2} K_v(z_2) \right] \right\} \end{aligned}$$

გამოვითვალეთ რა C_1 და C_2 -ს ამ განტოლებებიდან ჩავსვამთ მათ (101) - ში და მივიღებთ მრგვალი წიბოს ზედაპირზე ტემპერატურის განაწილების ფორმულას:

$$\theta = \theta_o \left(\frac{r}{r_1} \right)^v \frac{I_v(z) K_{v-1}(z_2) + I_{v-1}(z_2) K_v(z)}{I_v(z_1) K_{v-1}(z_2) + I_{v-1}(z_2) K_v(z_1)} \quad (103)$$

წიბოს ეფექტურობის კოეფიციენტი, რომელიც წარმოადგენს ზედაპირიდან გაცემული რეალური სითბოს რაოდენობის შეფარდებას სითბოს რაოდენობასთან, რომელიც გაიცემოდა იმ შემთხვევაში თუ წიბოს მთელ ზედაპირს ექნებოდა ფუძის ტემპერატურა. შემდეგნაირად გამოისახება:

$$\eta = \frac{2\pi\alpha \int_{r_1}^{r_2} \theta r dr}{\pi(r_2^2 - r_1^2)\alpha\theta_o} = \frac{2 \int_{r_1}^{r_2} \theta r dr}{\theta_o(r_2^2 - r_1^2)} \quad (104)$$

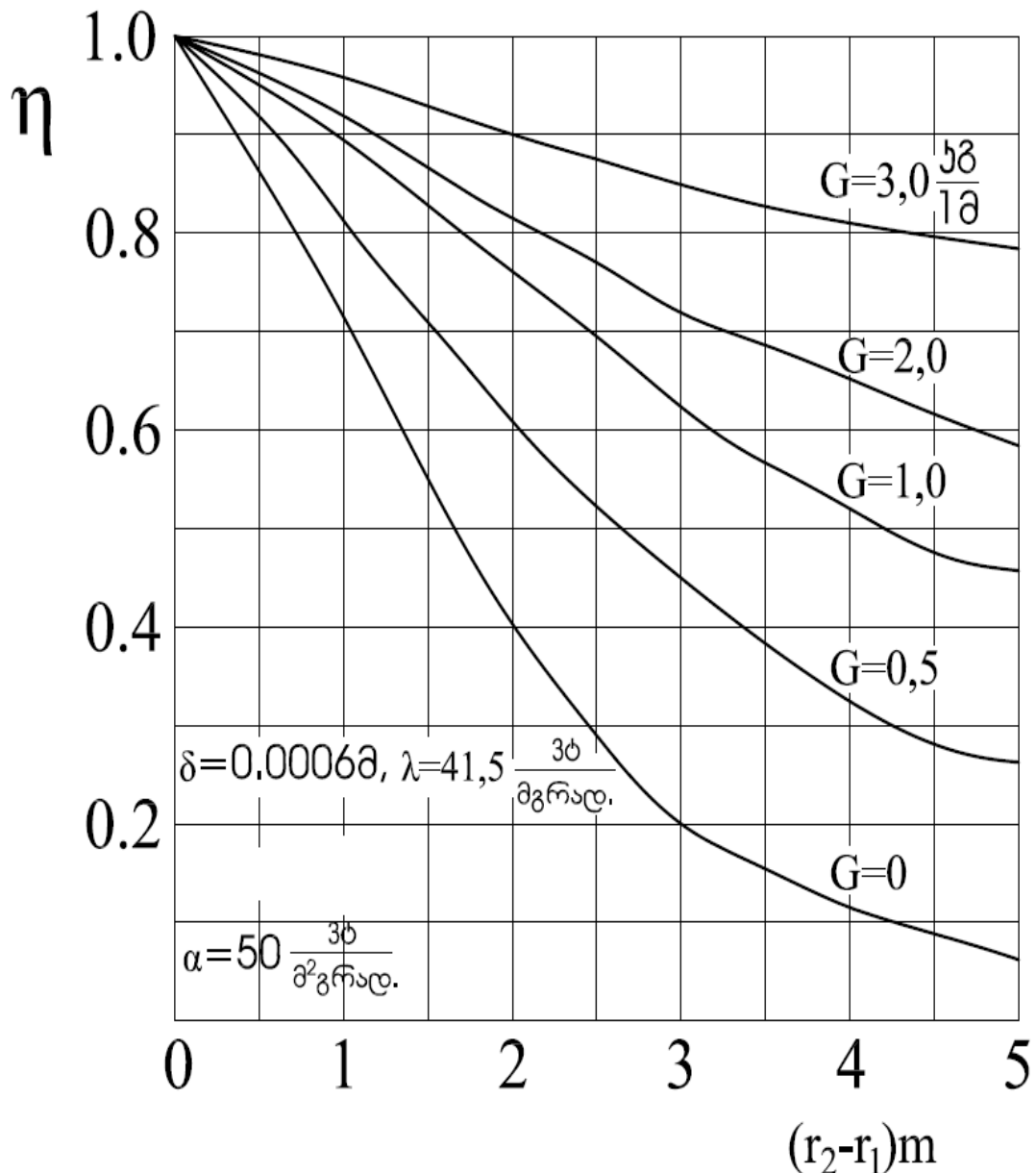
(100) - დან გვექნება:

$$r\theta = \frac{r}{m^2} \frac{d^2\theta}{dr^2} - \frac{1}{m^2} \left(\frac{C_{\psi b} G}{2\pi\lambda\delta} - 1 \right) \frac{d\theta}{dr}$$

და მივიღებთ:

$$\eta = \frac{2}{\theta_o m^2 (r_2^2 - r_1^2)} \left[2V(\theta_o - \theta r_2) - r_1 \left(\frac{d\theta}{dr} \right)_{r=r_1} \right] \quad (105)$$

გამოვიყენებთ რა რეკურენტულ ფორმულებს საბოლოო
მივიღებთ:



ნახ. 17 მრგვალი წიბოს ეფექტურობის დამოკიდებულება სიდიდეზე
 $m(r_2 - r_1)$ სითხის სხვადასხვა ხარჯის დროს

$$\eta = \frac{2}{m^2(r_2^2 - r_1^2)} x$$

$$x \frac{2V[I_V(z_1)K_{V-1}(z_2) + I_{V-1}(z_2)K_V(z_1)] - 2V\left(\frac{r_2}{r_1}\right)^V [I_V(z_2)K_{V-1}(z_2) + I_{V-1}(z_2)K_V(z_2)]}{I_V(z_1)K_{V-1}(z_2) + I_{V-1}(z_2)K_V(z_1)} -$$

$$- z_1 [K_{V-1}(z_2)I_{V-1}(z_1) - I_{V-1}(z_2)K_{V-1}(z_1)]$$
(106)

რომელიც, როცა $G = 0$ კ.ი. $V = 0$ გარდაიქმნება „მშრალი“ წიბოს ეფექტურობის გამოსათვლელ ფორმულად:

$$\eta = \frac{rr_1}{m(r_2^2 - r_1^2)} \frac{I_1(mr_2)K_1(mr_1) - K_1(mr_2)Z_1(mr_1)}{K_1(mr_2)I_o(mr_1) + I_1(mr_2)K_o(mr_1)}$$
(107)

ნახაზზე 17 მოცემულია მრგვალი წიბოს ეფექტურობის დამოკიდებულება სიდიდეზე $m(r_2 - r_1)$ სითხის სხვადასხვა ხარჯის დროს. როგორც გრაფიკიდან ჩანს, მრგვალი წიბოს შემთხვევაშიც სითხის ნაკადს დიდი გავლენა აქვს წიბოს ეფექტურობის კოეფიციენტზე და ეს გავლენა იზრდება სითხის ხარჯის გაზრდით.

თავი 5. ფიგურული ზედაპირის ფიგურული გელის ექსპრიმენტაციური გამოკვლევა

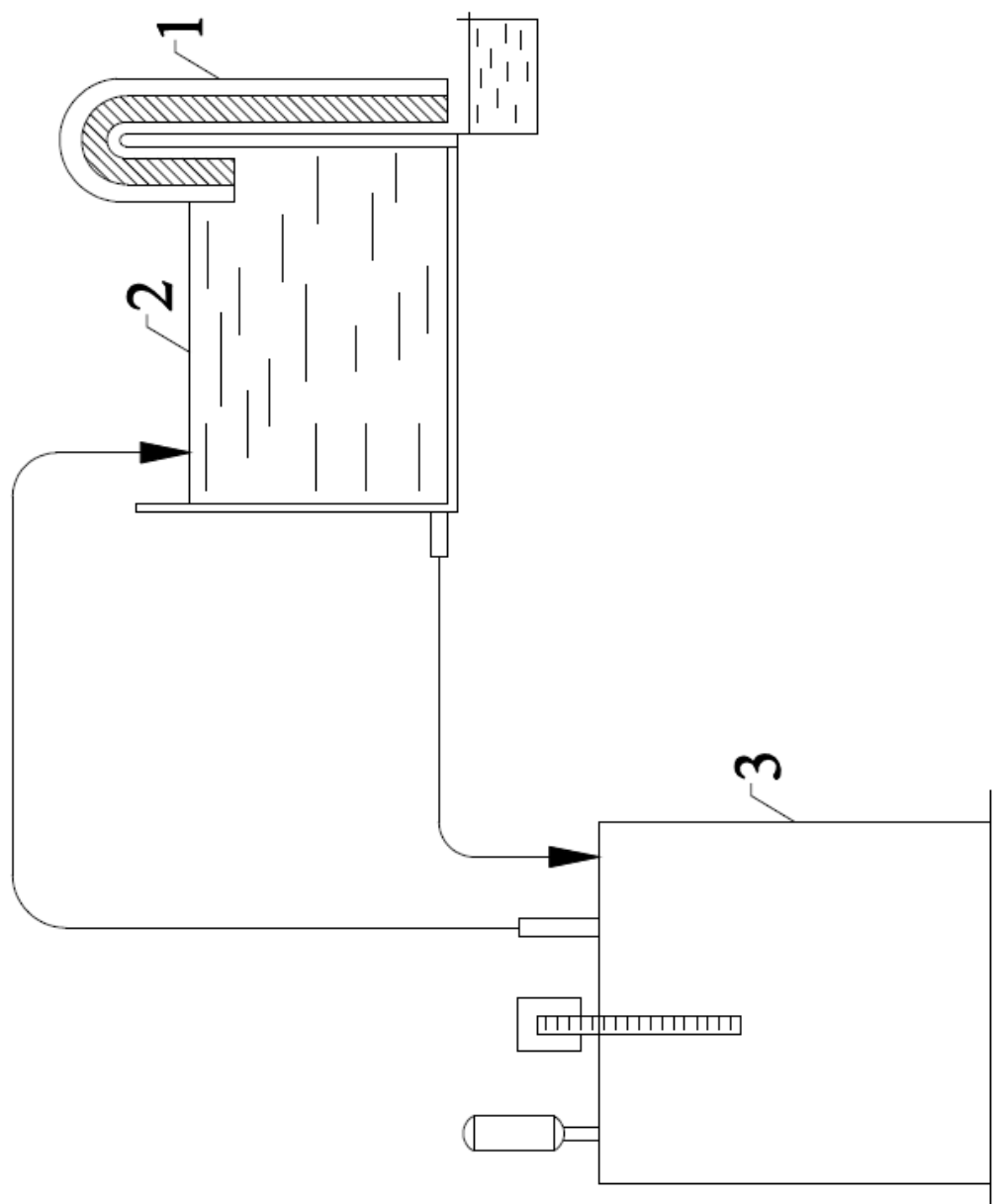
ზემოთ მოყვანილ მასალებში მოცემულია წიბოს ზედაპირის ტემპერატურული ველის და ეფექტურობის გამოსათვლელი ფორმულები სითხის ორგანიზებული ნაკადის შემთხვევაში და მათზე პაერის ტემპერატურის ცვლილების გათვალისწინებით. მიღებული ანალიზური დამოკიდებულებების შესამოწმებლად ჩატარებული იქნა ექსპერიმენტალური გამოკვლევები, რისთვისაც შექმნილი იყო რამოდენიმე ექსპერიმენტალური სტენდი. პირველ სტენდზე შეისწავლებოდა სწორი წიბოს ზედაპირზე ტემპერატურის განაწილება პაერის ბუნებრივი კონვექციის პირობისთვის, როცა სითხის საწყისი ტემპერატურა ტოლია წიბოს ფუძის ტემპერატურის, სითხის ნაკადის და კონდუქტორი სითბოს ნაკადის მიმართულებები ერთმანეთს ემთხვევა. სწორკუთხა კვეთის სწორ წიბოს წარმოადგენდა უჟანგავი ფოლადის ფირფიტა, რომლის თბოგამცემ ზედაპირზე დატანილი იყო კაპილარული დარები, მეორე ზედაპირი კი იყო თბოიზოლირებული.

ექსპერიმენტალური სტენდის სქემა მოცემულია ნახაზზე 18. მოხრილი ფირფიტა (1) რომლის ზომებია: სისქე $\delta = 0.002\text{მ}$, სიგანე $b = 0.12\text{მ}$, სიგრძე $\ell = 0.11\text{მ}$, ერთი ბოლოთი ჩაშვებული იყო წყლიან ავზში (2). ავზში წყლის ტემპერატურის რეგულირება ხორციელდებოდა ავტომატური მოწყობილობით აღჭურვილი თერმოსტატით (3) საშუალებით. ფირფიტის კაპილარული სტრუქტურა, მუშაობდა რა როგორც კაპილარული ტუმბო, უზრუნველყოფდა წყლის მუდმივ ნაკადს წიბოს ზედაპირზე. წყლის ხარჯის რეგულირება ხორციელდებოდა წიბოს ჩაძირვის დონის ცვლილებით, ხოლო ხარჯის გაზომვა კი აწონვით.

ტემპერატურის ცვლილება ფირფიტის ზედაპირზე განისაზღვრებოდა ზედაპირზე მირჩილული ქრომელ-ალუმელის თერმოწყვილების საშუალებით. ტემპერატურა იზომებოდა რვა წერტილში წიბოს ფუძიდან (ფირფიტის ბოლო, ჩაშვებული წყალში) წიბოს ბოლომდე (ფირფიტის თავისუფალი ბოლო პაერში). თერმოწყვილების ელექტრო მამოძრავებელი ძალა განისაზღვრებოდა

დაბალწინაღობიანი პოტენციომეტრის საშუალებით. იზომებოდა აგრეთვე ავზში მყოფი წყლის ტემპერატურა ლაბორატორიული თერმომეტრით და ჰაერის ტემპერატურა და ტენიანობა ასმანის ფსიქომეტრის საშუალებით. ექსპერიმენტები ტარდებოდა ჰაერის ბუნებრივი კონვექციის პირობებში.

ავზში მყოფი წყლის ტემპერატურის ცვლილების შესაბამისად ფირფიტის ზედაპირის ტემპერატურული გალი განისაზღვრებოდა



ნახ. 18 პირველი ექსპერიმენტალური სტენდის სქემა

როგორც პაერიდან წყლის ზედაპირზე წყლის ორთქლის კონდენსაციის, ასევე წყლის აორთქლების პირობებში. განისაზღვრებოდა აგრეთვე „მშრალი” წიბოს ზედაპირზე ტემპერატურის განაწილება სითხის ნაკადის გარეშე.

ექსპერიმენტული გამოკვლევების რეზულტატები მოცემულია გრაფიკზე ნახ. 19 უგანზობილებო კოორდინატებში:

$$\frac{\theta}{\theta_o} = \frac{t_3 - t_x}{t_3 - t_o} \quad \text{და} \quad \frac{x}{h}$$

სადაც t_3 -პაერის ტემპერატურაა K , t_o -წიბოს ფუძის ტემპერატურა (წყლის ტემპერატურა აგზში), t_x -ზედაპირის ტემპერატურა მოცემულ წერტილში, x -წერტილის კოორდინატა θ , h -წიბოს (ფირფიტის) სიმაღლეა, θ .

გრაფიკზე დატანილია ტემპერატურის განაწილება წიბოს სიმაღლეზე პაერის გათბობის და გაცივების შემთხვევაში სითხის ნაკადის გარეშე ($G = 0$), ასევე წყლის აორთქლებისა და მის ზედაპირზე პაერიდან წყლის ორთქლის კონდენსაციის პირობებში სითხის ნაკადის სხვადასხვა ხარჯის დროს.

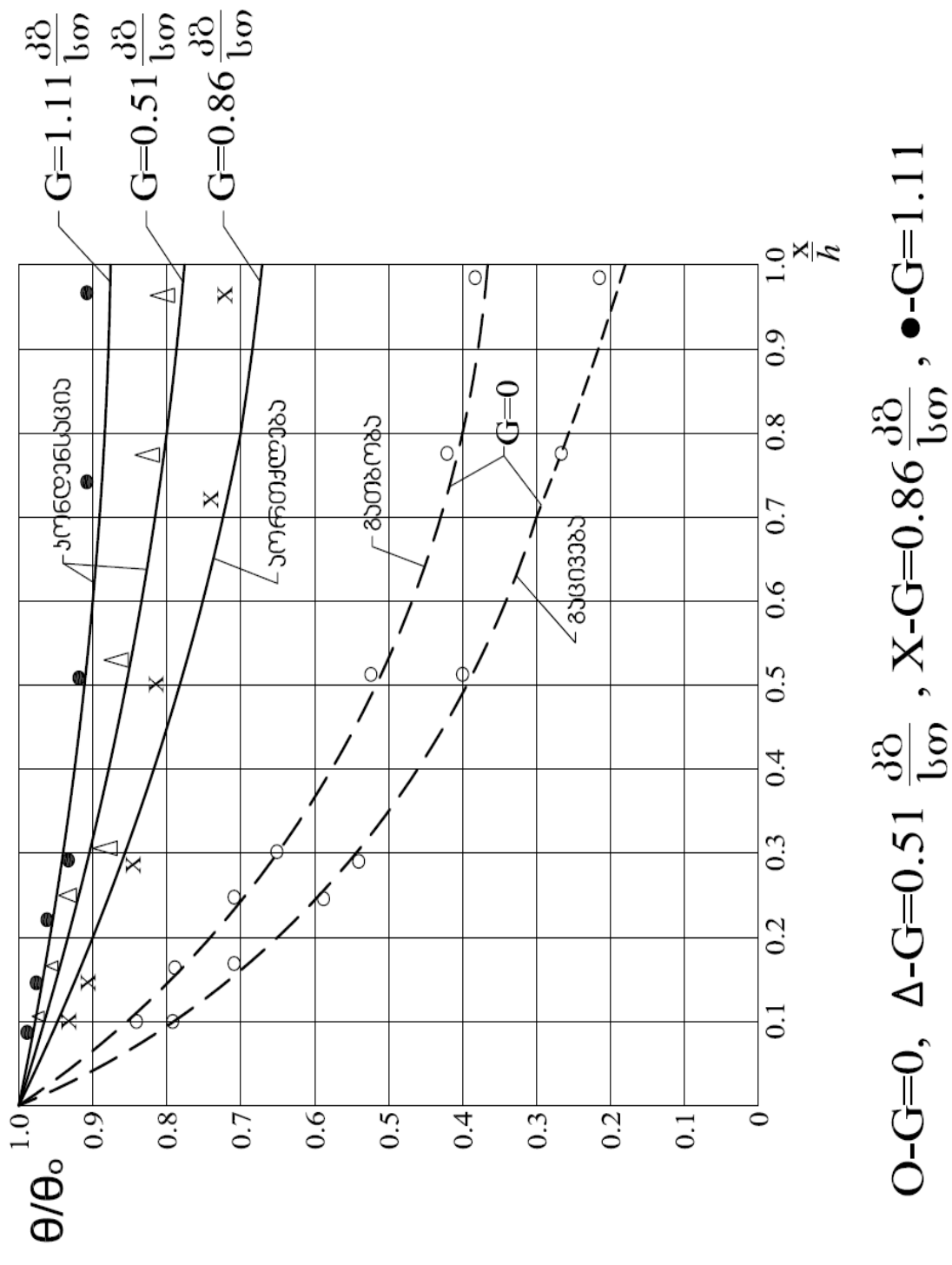
გრაფიკზე თეორიული მრუდების დასატანად საჭიროა განისაზღვროს ექსპერიმენტების პირობების შესაბამისი პაერსა და წიბოს ზედაპირს შორის თბოცვლის კოეფიციენტები. ბუნებრივი კონვექციის პირობებში - ლამინარული რეჟიმის დროს, როცა დაცულია პირობა $10^3 < G_r \times p_r < 10^9$, სწორედ ამ რეჟიმში ტარდებოდა ექსპერიმენტები. პაერსა და წიბოს ზედაპირს შორის კონვექციური თბოცვლის კოეფიციენტი მასათა ცვლის გარეშე გამოითვლება ცნობილი კრიტერიალური განტოლებით [19]:

$$N_u = 0.75(G_r \times P_r)^{0.25} \quad (108)$$

სადაც: $N_u \frac{\alpha_k \ell}{\lambda}$ - ნუსელტის კრიტერიუმია;

$G_r = \frac{\beta \ell^3 g \Delta t}{\gamma^2}$ - გრასგოფის კრიტერიუმი;

$$P_r = \frac{v}{a} - \text{პრანგლის პრიტერიუმი};$$



ნახ. 19 ექსპერიმენტული გამოკვლევების რეზულტატები

ამ კრიტერიუმებში შემავალი სიდიდეებია: α_{β} - კონვექციური თბოცვლის კოეფიციენტი $\frac{3\alpha\beta}{\theta^2 K}$; ℓ -მსაზღვრელი ზომა, ჩვენს შემთხვევაში ℓ იძოს სიმაღლე, გ; λ -პაერის თბოგამტარობის კოეფიციენტი, $\frac{3\alpha\beta}{\theta K}$; g -სიმძიმის ძალის აჩქარება, $\frac{\partial}{\nabla\theta}$; Δt - პაერისა და ℓ იძოს ზედაპირის ტემპერატურათა სხვაობა; ν - სიბლანტის კინემატიკური კოეფიციენტი, $\frac{\partial^2}{\nabla\theta}$; a - ტემპერატურის გამტარობის კოეფიციენტი, $\frac{\partial^2}{\theta^2}$; $\beta = \frac{1}{T}$ -მოცულობითი გაფართოების ტემპერატურული კოეფიციენტი, $\frac{1}{K}$.

ბუნებრივი კონვექციის შემთხვევაში მნიშვნელოვან როლს თამაშობს თბოცვლა გამოსხივებით. ამიტომ კონვექციური თბოცვლის კოეფიციენტს საჭიროა დაემატოს გამოსხივებით თბოცვლის კოეფიციენტი, რომელიც გამოითვლება სტეფან - ბოლცმანის კანონით.

$$\alpha_{\beta} = \frac{\varepsilon C_o \left[\left(\frac{T_{\beta}}{100} \right)^4 - \left(\frac{T_{\beta}}{100} \right)^4 \right] \psi}{T_{\beta} - T_{\beta}} \frac{3\alpha\beta}{\theta^2 K} \quad (109)$$

სადაც ε - სისტემის სიშავის ხარისხია, შეიძლება მივიღოთ $\varepsilon = 0.9$; $C_o = 5.67$ - აბსოლუტურად შავი სხეულის გამოსხივების კოეფიციენტია, $\frac{3\alpha\beta}{\theta^2 K^4}$; ψ -კუთხური კოეფიციენტი, ასევე შეიძლება მივიღოთ $\psi = 0.9$; T_{β} , T_{β} - იძოს ზედაპირისა და პაერის ტემპერატურებია, K .

სითხის აორთქლების ან მის ზედაპირზე პაერიდან წყლის ორთქლის კონდენსაციის შემთხვევაში თბოცვლის საერთო კოეფიციენტის გამოსათვლელად შეიძლება გისარგებლოთ გამოსახულებით:

$$\alpha_{\varepsilon} = (\alpha_{\beta} + \alpha_{\beta}) \xi \quad (110)$$

სადაც ζ -ტენის გამოყოფის კოეფიციენტია და გამოითვლება ფორმულით.

$$\xi = 1 + \frac{\beta_{\text{v}}}{\alpha} r \frac{P_{\text{so}} - P_{\text{sb}}}{t_o - t_b} \approx 1 + 2.34 \frac{P_{\text{so}} - P_{\text{sb}}}{t_o - t_b} \quad (111)$$

ნახ. 19 დატანილი, წიბოს ზედაპირზე წყლის ნაკადის გარეშე ტემპერატურის განაწილების თეორიული წყვეტილი მრუდები, აგებულია ცნობილი ფორმულის [2, 3] საშუალებით:

$$\theta = \theta_o \frac{\text{ch}[m(h-x)]}{\text{ch}(mh)} \quad (111')$$

სხვა დანარჩენი მრუდები, რომლებიც აღწერენ ტემპერატურის განაწილებას წიბოს ზედაპირზე სითხის ნაკადის სხვადასხვა ხარჯის დროს წყლის აორთქლების ან მის ზედაპირზე ჰაერიდან წყლის ორთქლის კონდენსაციის პროცესში, აგებულია (112) ფორმულით.

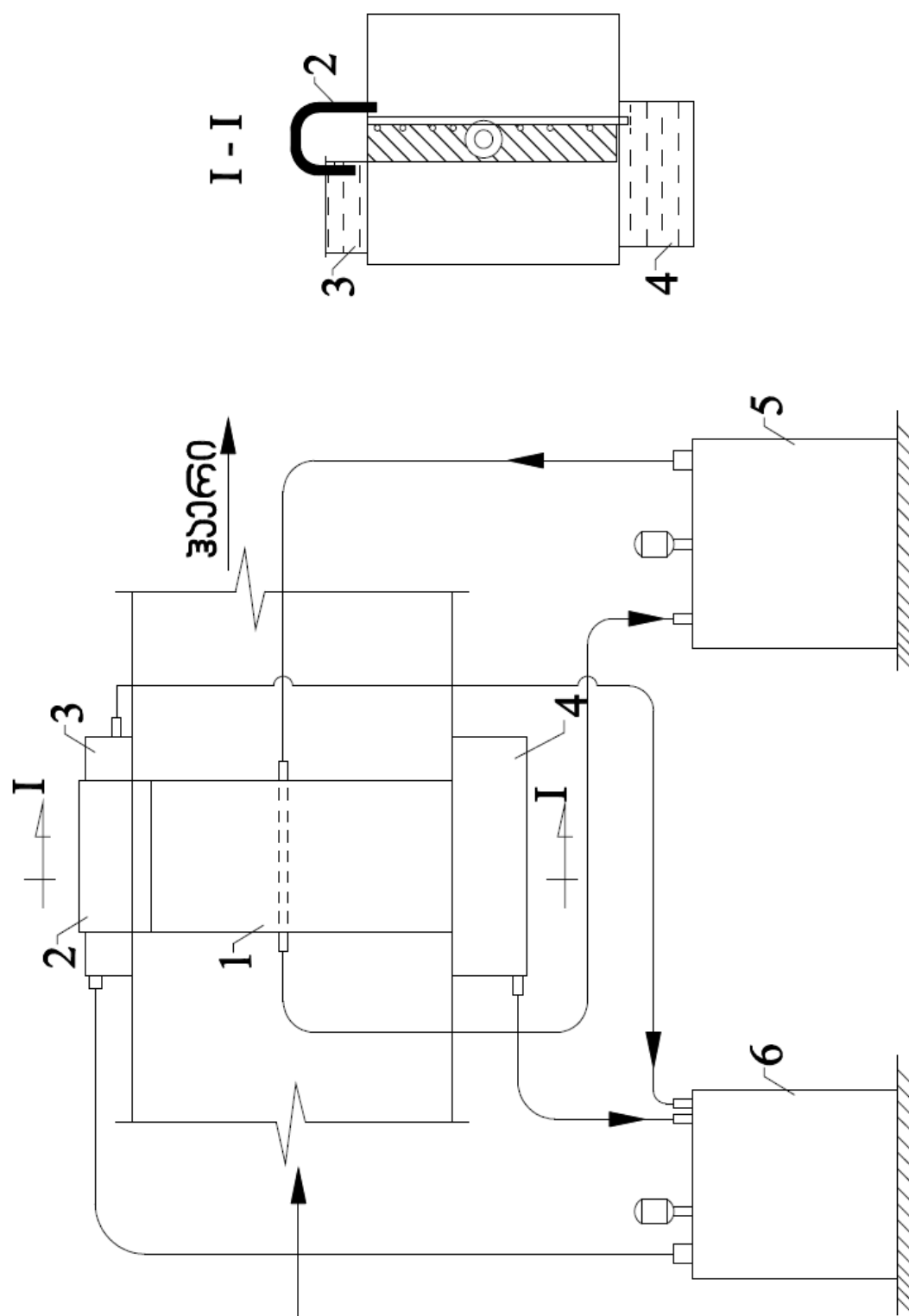
$$\theta = \theta_o \frac{(a+b)\ell^{bh}\ell^{(a-b)x} - (a-b)\ell^{(a+b)x}\ell^{-bh}}{(a+b)\ell^{bh} - (a-b)\ell^{-bh}} \quad (112)$$

თეორიული და ექსპერიმენტალური მონაცემების ერთგვარი არდამთხვევა აიხსნება იმ გარემოებით რომ, (112) თეორიული ფორმულა არ ითვალისწინებს თბოცვლას სითხის ნაკადსა და წიბოს ზედაპირს შორის. ამასთან ერთად, ბუნებრივი კონვექციის პირობებში, მიუხედავად იმისა, რომ ჰაერსა და ზედაპირს შორის თბოცვლის კოეფიციენტი მცირეა, მის ცვლილებას წიბოს სიმაღლეზე მნიშვნელოვანი გავლენა აქვს ტემპერატურის განაწილებაზე.

მეორე ექსპერიმენტალურ სტენდზე შეისწავლებოდა ტეპერატურის განაწილება ფუძიდან ზემო და ქვემო წიბოებზე მომრწყველი სითხის სხვადასხვა საწყისი ტემპერატურის დროს ჰაერის იძულებითი კონვექციის პირობებში. ექსპერიმენტალური სტენდის სქემა მოცემულია ნახაზზე 20.

უსანგავი ფოლადისაგან დამზადებული ფირფიტის (1) შუა ნაწილში მიღუდებული იყო მილაკი, რომელშიც მიედინებოდა თბილი ან

ციფრი წევალი. ფირფიტის გარე ზედაპირზე, წყლის თანაბარი განაწილების მიზნით, შექმნილი იყო კაპილარული სტრუქტურა. ფირფიტის მეორე მხარე იყო საიმედოდ თბოიზოლირებული. ფირფიტის



ნახ. 20 მეორე ექსპერიმენტალური სტუდიის სქემა

ზომებია: სისქე $\delta = 0.0006$ მ, სიგანე $b = 0.06$ მ, მილაკიდან თითოეული მხარის სიმაღლე $h = 0.14$ მ.

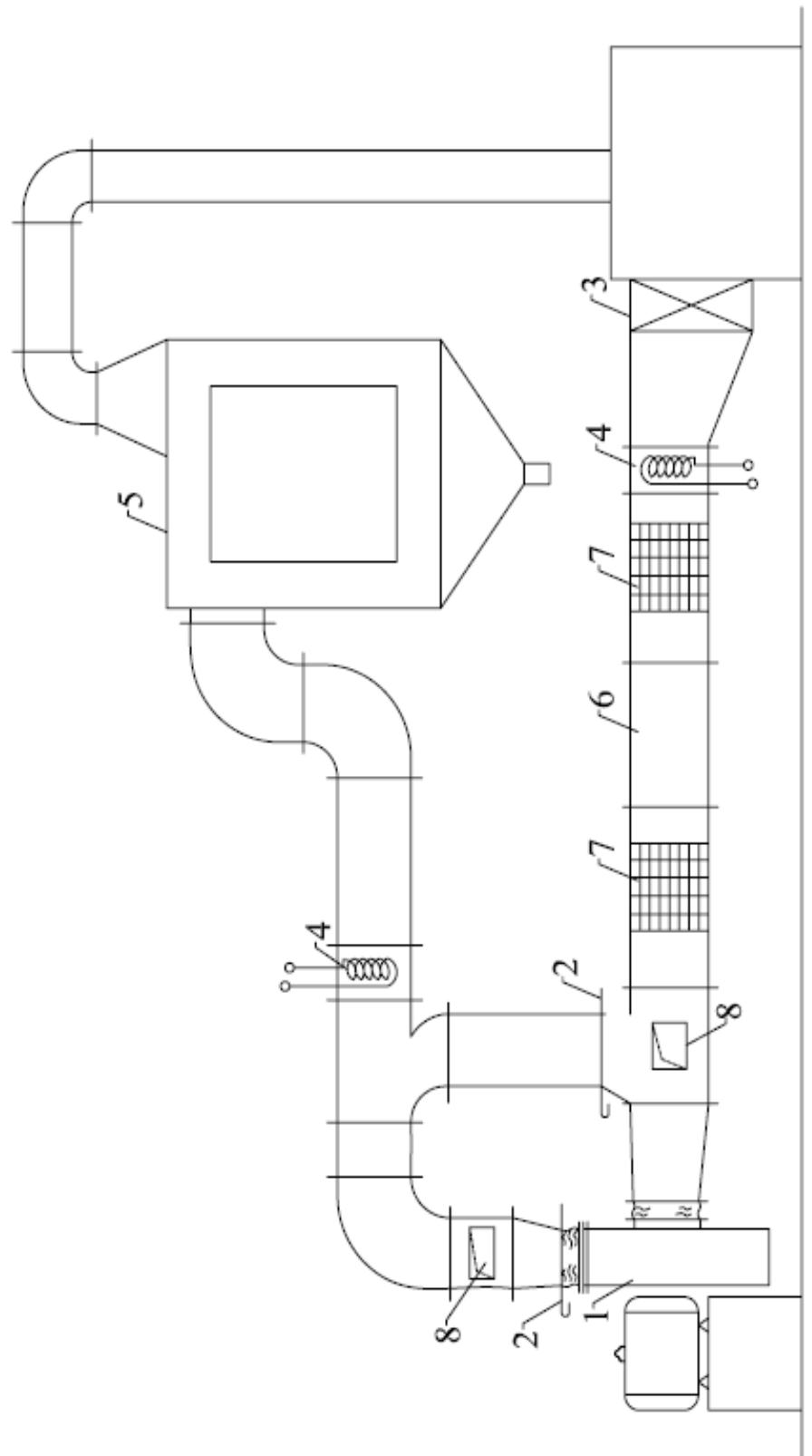
ფირფიტის გარე ზედაპირზე წყალი მიეწოდებოდა სიფონური ტუმბოს (2) საშუალებით, რომელიც ჩაშეებული იყო წყლის აგზში (3). ფირფიტიდან ჩამოდინებული წყალი გროვდებოდა აგზში (4). წყლის მიწოდება აგზში (3) და მისი ტემპერატურის რეგულირება ხორციელდებოდა თერმოსტატის (6) საშუალებით. მილაკში წყლის ცირკულაციას და მის საჭირო ტემპერატურას უზრუნველყოფდა თერმოსტატი (5). ფირფიტის მილაკიდან ზემო ნაწილში წყლის ნაკადისა და კონდენსატის სითბოს მიმართულებები ურთიერთსაწინააღმდეგო იყო, ხოლო ქვემო ნაწილში ეს მიმართულებები ერთმანეთს ემთხვეოდნენ.

ფირფიტის მთელ სიმაღლეზე ტემპერატურის განაწილება განისაზღვრებოდა ქრომელ - ალუმელის თერმოწყვილებით, რომლებიც მირჩილული იყო ზედაპირის 10 წერტილში. წყლის ნაკადის საწყისი და საბოლოო ტემპერატურები, აგრეთვე მილაკში გამავალი წყლის ტემპერატურა იზომებოდა ლაბორატორიული თერმომეტრის საშუალებით, წყლის ნაკადის ხარჯი კი აწონებოთ.

ფირფიტა მოთავსებული იყო ექსპერიმენტალური დანადგარის მუშა ნაწილში კვეთის ზომებით $0,36 \times 0,3$ (h)მ. ექსპერიმენტალური დანადგარი წარმოადგენდა შეკრულ კონტურიან აეროდინამიურ მილს, რომლის სქემა მოცემულია ნახაზზე 21.

ჰაერის ცირკულაცია სისტემაში ხორციელდებოდა ცС-30 ტიპის ცენტრიდანული ვენტილატორის (1) საშუალებით, რომლის წარმადობაა $3000 \frac{\text{მ}^3}{\text{სთ}}$ და ანვითარებს 630 მმ. წყ. სვ. წნევას. ვენტილატორის წარმადობა რეგულირდებოდა ვენტილატორის დამჭირხნავ მილყელთან და ბაიპასზე დაყენებული შიბერებით (2). სისტემაში ჰაერის საჭირო ტემპერატურას უზრუნველყოფდა წყლიანი (3) და ელექტროპალორიფერები (4) საჭირო ტენიანობას ნაცმებიანი გამატენიანებელი საკანი (5). ჰაერის ნაკადის გასამართავად მუშა ნაწილის (8) წინ და მის შემდეგ მოწყობილი იყო გამმართველი

გისოსები (6). ჰაერის ნაწილობრივად შესაცვლელად
გათვალისწინებული იქო ღიობები (7)



ნახ. 21 ექსპერიმენტალური დანადგარი

ჰაერის ნაკადის ტემპერატურა და ტენიანობა დანადგარის მუშა ნაწილში შესვლისას და გამოსვლისას იზომებოდა ლაბორატორიული თერმომეტრების და ფსიქომეტრების საშუალებით. ჰაერის ხარჯი განისაზღვრებოდა პნევმომეტრული მილებით, რომელთა საშუალებით იზომებოდა ჰაერის მოძრაობის სიჩქარე ჰაერსატარის პვეტის სხვადასხვა წერტილებში.

ჩატარებული იქნა ექსპერიმენტების რამოდენიმე სერია:

თბოცვლა ფირფიტასა და ჰაერს შორის წყლის ნაკადის გარეშე; თბოცვლა წყლის ნაკადსა და ჰაერს შორის გამორთული წიბოების დროს, როცა მილაკში არ მიედინებოდა წყალი; თბოცვლა „ადიაბატური“ რეჟიმის პირობებში, როცა წყლის ნაკადის საწყისი და საბოლოო ტემპერატურები ერთმანეთის ტოლია; თბოცვლა წყლის ნაკადის და მილაკში გამავალი წყლის სხვადასხვა საწყისი ტემპერატურების დროს.

ექსპერიმენტალური გამოკვლევების შედეგები მოყვანილია ნახაზზე 22. გრაფიკზე დატანილია სხვადასხვა სერიებში მიღებული ტემპერატურის განაწილება ფირფიტის ზემო და ქვემო ნაწილებში, რომელთა პირობით გამყოფს წარმოადგენს $\frac{X}{\ell} = 0$ კოორდინატა.

გრაფიკზე თეორიული მრუდების ასაგებად საჭიროა განისაზღვროს თბოცვლის კოეფიციენტები წიბოს ზედაპირსა და წყლის ნაკადს შორის α_f და წყლის ზედაპირსა და ჰაერს შორის α_a . α_f განისაზღვრება ცნობილი კრიტერიალური განტოლებებიდან: სითხის მოძრაობის ლამინარული რეჟიმის დროს, როცა $Re_b < \frac{10^5}{b}$

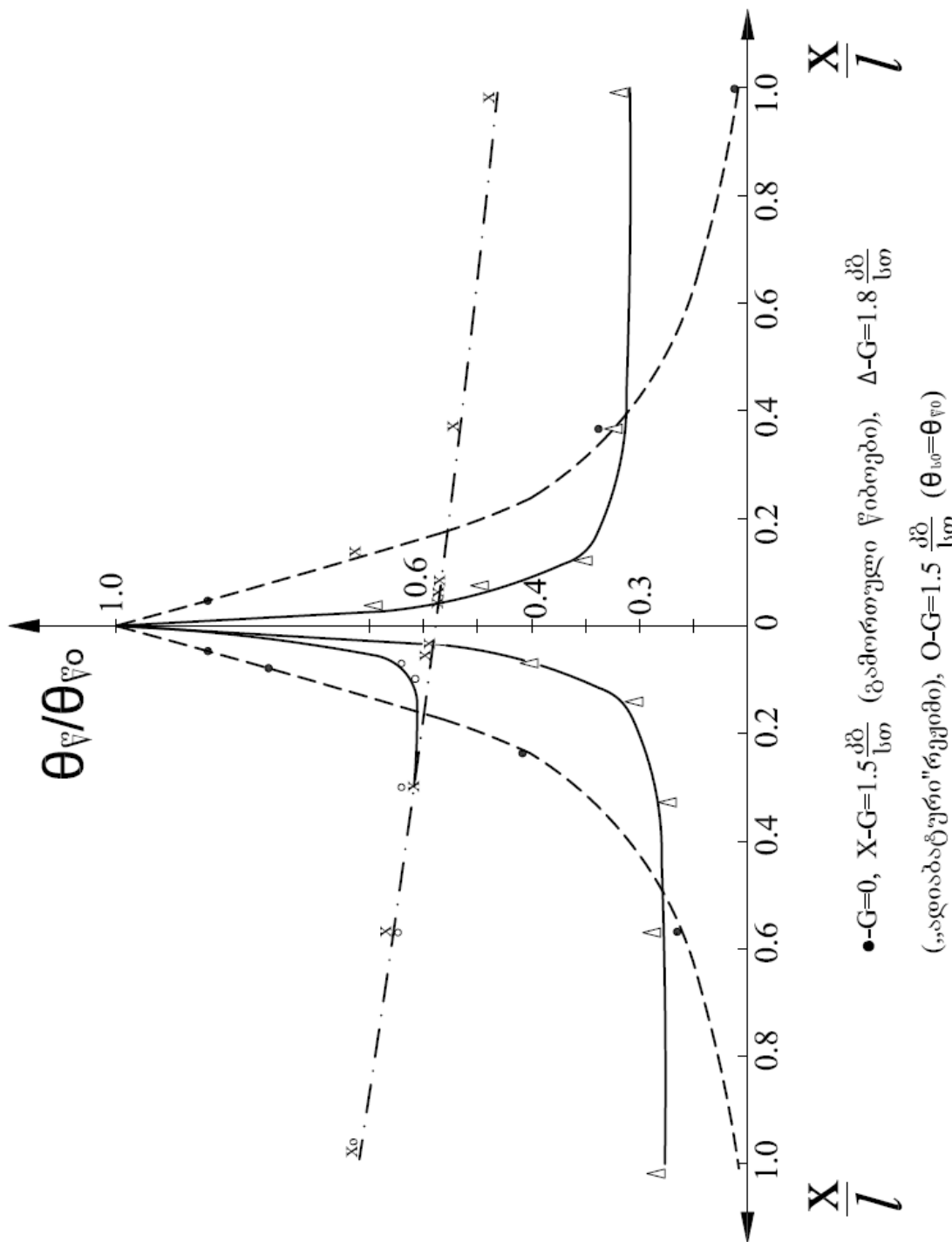
$$Nu_b = 0.66 Re_b^{0.5} Pr_b^{0.43} \quad (113)$$

ტურბულენტური რეჟიმის დროს, როცა $Re_b > 10^5$

$$Nu_b = 0.037 Re_b^{0.8} Pr_b^{0.43} \quad (114)$$

სადაც $Re_b = \frac{\pi \ell}{v}$ - რეინოლდსის კრიტერიუმია;

თ- ფირფიტის ზედაპირზე წყლის აფსცის მოძრაობის საშუალო სიჩქარეა და განისაზღვრება ცნობილი ფორმულით:



ნახ. 22 ექსპერიმენტალური გამოკვლევების შედეგები

$$\sigma = \sqrt[3]{\frac{H^2 \gamma (\gamma_b - \gamma_a)}{3\mu_b \gamma_b^2}}; \quad \frac{\partial}{\partial \gamma} \quad (115)$$

რომელშიც $H_b = \frac{G}{U}$ - მორწყვის სიმჭიდროვეა და ჩვენს შემთხვევაში წარმოადგენს მომრწყველი წყლის ხარჯის ფარდობას ფირფიტის სიგანგესთან, $\frac{\partial \theta}{\partial \gamma}$; γ_b, γ_a -წყლისა და ჰაერის ხვედრითი წონებია, μ_b - წყლის სიბლანტის დინამიური კოეფიციენტია,

$$\frac{\partial \theta}{\partial \gamma^2}$$

ჰაერის იძულებითი კონვექციის პირობებში, თბოცვლის კოეფიციენტი ჰაერსა და წიბოს ზედაპირს შორის α , როცა თბოცვლასთან არ სდევს მასათა ცვლა, შეიძლება განისაზღვროს (113) და (114) ფორმულებით, რომლებიც ნუსელტის, რეინოლდსის და პრანტლის კრიტერიუმები შეიცავენ ჰაერის ფიზიკურ პარამეტრებს.

სწორი წიბოს თბოგამტარობის დიფერენციალური განტოლების ზოგად ამონახსნები აქვთ სახე:

$$\theta = C_1 \ell^{mx} + C_2 \ell^{-mx} \quad (116)$$

X კოორდინატას ათვლა იწყება წიბოს ფუძიდან, ჩვენს შემთხვევაში მიღავის ფირფიტასთან მიღუდების წერტილიდან შევირჩიეთ X-ის ორ მნიშვნელობას, რომლებიც ზუსტად ტოლია B და 2B ერთეულების და ვზომავთ წიბოს ტემპერატურას სამ წერტილში: წიბოს ფუძეზე, როცა $X=0$, $X=B$ და $X=2B$ კვეთებში. მაშინ, (116) დან მივიღებთ:

$$\begin{aligned} \theta_o &= C_1 + C_2 \\ \theta_3 &= C_1 \ell^{MB} + C_2 \ell^{-MB} \\ \theta_{23} &= C_1 \ell^{2MB} + C_2 \ell^{-2MB} \end{aligned} \quad (117)$$

აღვნიშნავთ $R = \frac{\theta_o + \theta_{23}}{\theta_3}$ და შევიტანო მასში θ -ს მნიშვნელობებს:

$$R = \frac{C_1 + C_2 + C_1 \ell^{2MB} + C_2 \ell^{-MB}}{C_1 \ell^{MB} + C_2 \ell^{-MB}}$$

გავამრავლებთ მრიცხველს და მნიშვნელს $(\ell^{MB} + \ell^{-MB})$ - ზე და ალგებრული გარდაქმნების შემდეგ მივიღებთ გამოსახულებებს:

$$R = \frac{(\ell^{MB} + \ell^{-MB})(C_1 + C_2 + C_1 \ell^{2MB} + C_2 \ell^{-2MB})}{(\ell^{MB} + \ell^{-MB})(C_1 \ell^{MB} + C_2 \ell^{-MB})},$$

$$R = \frac{(\ell^{MB} + \ell^{-MB})(C_1 + C_2 + C_1 \ell^{2MB} + C_2 \ell^{-2MB})}{C_1 + C_2 + C_1 \ell^{2MB} + C_2 \ell^{-2MB}},$$

ან $R = \ell^{MB} + \ell^{-MB} = 2ch(MB)$.

მივიღეთ R - სა და MB -ს შორის უბრალო დამოკიდებულება, რომელიც ითვალისწინებს წიბოს ცნობილ გეომეტრიულ ზომებს, თბოგამტარობის კოეფიციენტს და სამ გაზომილ ტემპერატურას, საიდანაც განისაზღვრება საძიებელი თბოცვლის კოეფიციენტი:

$$\begin{aligned} MB &= \left(\frac{2\alpha}{\lambda\delta} \right)^{\frac{1}{2}} B = \text{arc ch} \left(\frac{R}{2} \right); \\ \alpha &= \frac{\lambda\delta}{2} \left(\frac{\text{arc ch} \left(\frac{R}{2} \right)}{B} \right)^2 \end{aligned} \quad (118)$$

წიბოს ზედაპირზე წყლის ორგანიზებული ნაკადის დროს, როცა წყალი ან ორთქლდება ჰაერში ან ხდება მის ზედაპირზე ჰაერიდან წყლის ორთქლის კონდენსაცია, ამგვარად განსაზღვრული თბოცვლის კოეფიციენტი მრავლდება ტენის გამოყოფის კოეფიციენტზე, რომელიც გამოითვლება (111) ფორმულით. ჰაერიდან წყლის ორთქლის კონდენსაციის პირობებში სითბოსა და მასის ცვლის კოეფიციენტების დეტალური გამოკვლევა მოცემულია მომდევნო თავში.

ნახაზზე 22 ექსპერიმენტალურ მონაცემებთან ერთად დატანილია თეორიული მრუდები: წყვეტილი - „მშრალი“ თბოცვლის პირობებში, წერტილწყვეტილი-გამორთული წიბოების დროს, რომლებიც აგებულია

ლიტერატურაში ცნობილი ფორმულების საშუალებით. მთლიანი მრუდები აგებულია (119) და (120) ფორმულების გამოყენებით.

$$\theta_{\tilde{V}} = \theta_b + [\theta_{v_0} - \theta_{b(0)}] \ell^{-k_1 x} = \theta_{bo} \ell^{-a_3(h-x)} + \\ (\theta_{vo} - \theta_{bo} \ell^{-a_3 h}) \frac{(a_1 + k_1) \ell^{-k_1 x} - a_2 \ell^{-a_3(h-x)-k_1 h}}{a_1 + k_1 - a_2 \ell^{-(a_3+k_1)h}} \quad (119)$$

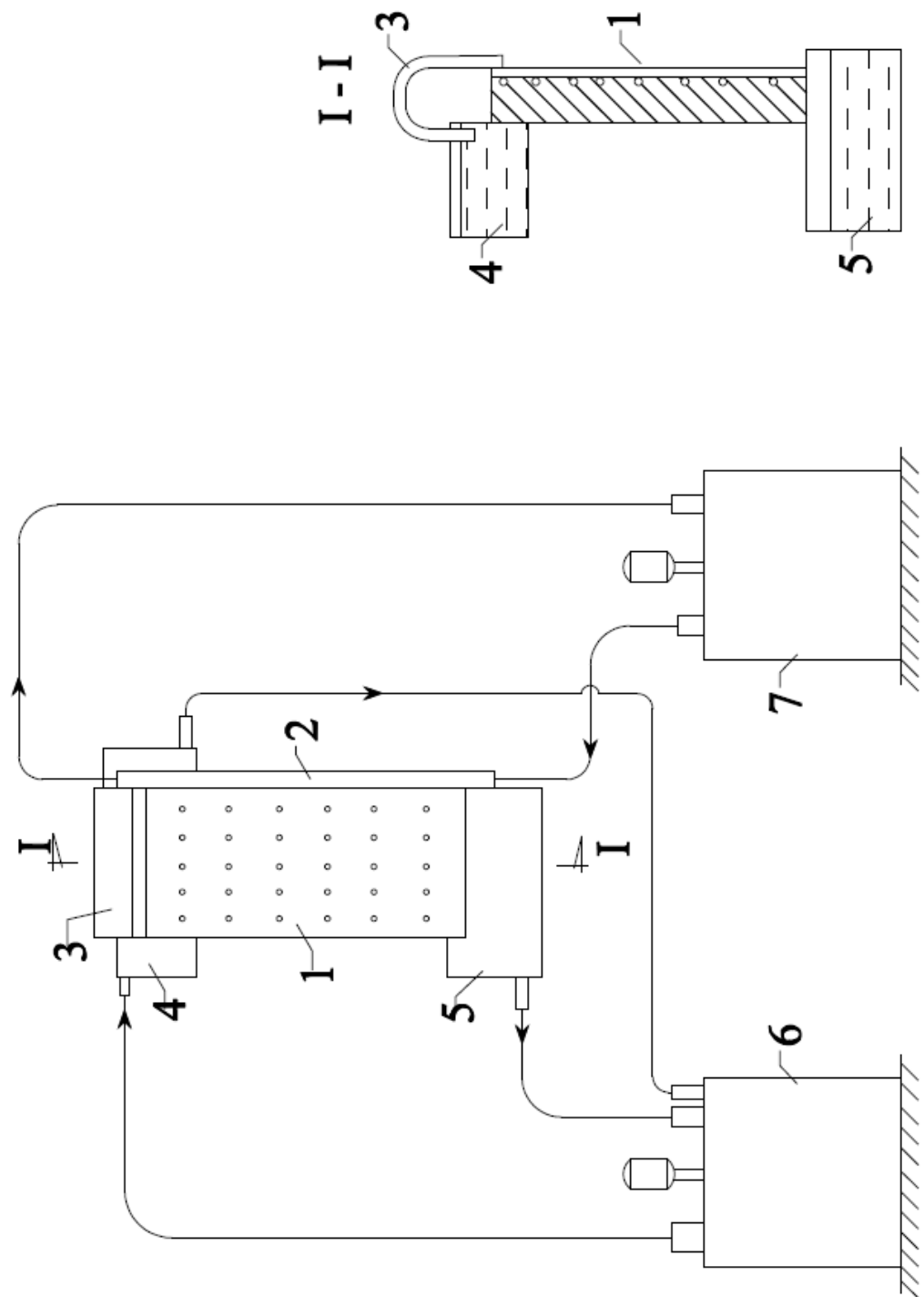
$$\theta_{\tilde{V}} = \theta_{bo} \ell^{-a_3 x} + [\theta_{vo} - \theta_{bo}] \frac{a_2}{k_2 - a_3} (\ell^{-a_3 x} - \ell^{-k_2 x}) + \\ [\theta_{vo} - \theta_{bo}] \ell^{-k_2 x} \quad (120)$$

ექსპერიმენტალური მონაცემების შედარება თეორიულ მრუდებთან გვიჩვენებს მათ კარგ შეთანაწყობას, რაც ადასტურებს თეორიული გამოკვლევების შედეგების სისწორეს.

მესამე სტენდზე შეისწავლებოდა წიბოს ზედაპირზე ტემპერატურის განაწილება სითხის გასწვრივი ნაკადის შემთხვევაში. ექსპერიმენტალური სტენდის სქემა მოცემულია ნახაზზე 23.

წიბოდ გამოყენებული იქნა უჟანგავი ფოლადისაგან დამზადებული ფირფიტა 1, ზომებით 0,3 X0; 006 X0; 006 მ. ფირფიტის მოელ სიგრძეზე გვერდიდან მიღუდებული იყო მილაკი 2, რომელშიც მიედინებოდა ობომატარებელი (წყალი). ფირფიტის გარე ზედაპირზე წყლის ნაკადის თანაბარი განაწილების მიზნით შექმნილი იყო კაპილარული სტრუქტურა, მეორე ზედაპირი იყო თბოიზოლირებული. წყალი ფირფიტის გარე ზედაპირზე მიეწოდებოდა წყლის ავზში 4 ჩაშვებული სიფონური ტუმბოს 3 საშუალებით, ფირფიტიდან ჩამოდინებული წყალი გროვდებოდა ავზში 5. წყლის მიწოდება ავზში 4 და მისი ტემპერატურის რეგულირება ხორციელდებოდა თერმოსტატის 6 საშუალებით. მილაკში წყლის ცირკულაციას და მისი საჭირო ტემპერატურას უზრუნველყოფდა თერმოსტატში 7.

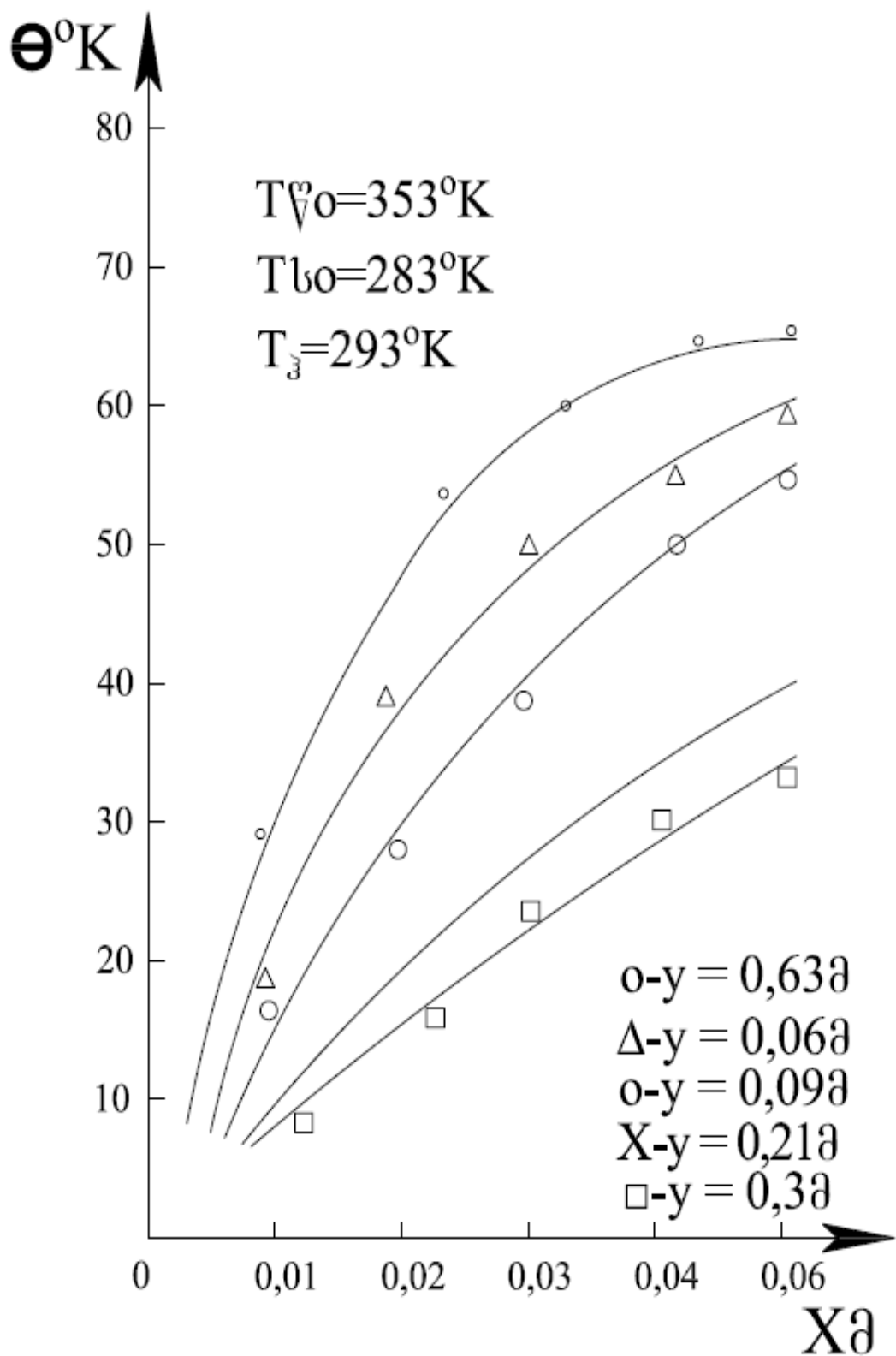
ფირფიტის ზედაპირზე ტემპერატურის განაწილება განისაზღვრებოდა ქრომელ-ალუმელის თერმოწყვილების საშუალებით, მომრწყველი წყლის ხარჯი კი აწონვით. იზომებოდა აგრეთვე



ნახ. 23 მესამე ექსპერიმენტალური სტენდის სქემა

მომრწყველი და მიღავში გამავალი წყლის ტემპერატურები, ფირფიტის გარემომცველი ჰაერის ტემპერატურა და ტენიანობა.

ნახაზზე 24 ექსპერიმენტალურ მონაცემებთან ერთად დატანილია ტემპერატურის განაწილების თეორიული მრუდები, სითხის სხვადასხვა საწყისი ტემპერატურის, წიბოს სხვადასხვა სიმაღლის დროს.



ნახ. 24 ექსპერიმენტალური გამოკვლევების შედეგები

თეორიული და ექსპერიმენტალური მონაცემების კარგი შეთანაწყობა გვიჩვენებს თეორიული გამოკვლევების სისწორეს.

მეოთხე სტენდი განეკუთვნებოდა წიბოს ზედაპირზე
ტემპერატურის განაწილებაზე ჰაერის ტემპერატურის ცვლილების
გავლენის გამოკვლევას. მისი სქემა მოცემულია ნახაზზე 25.

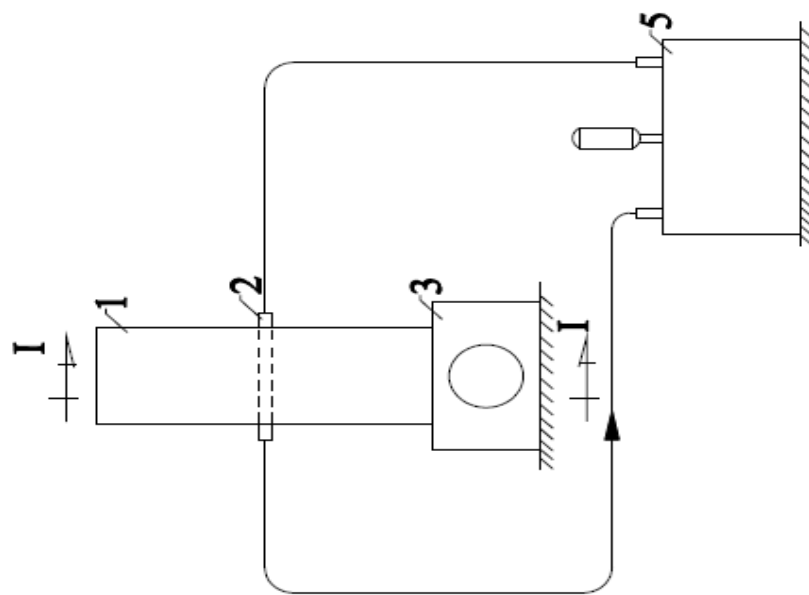
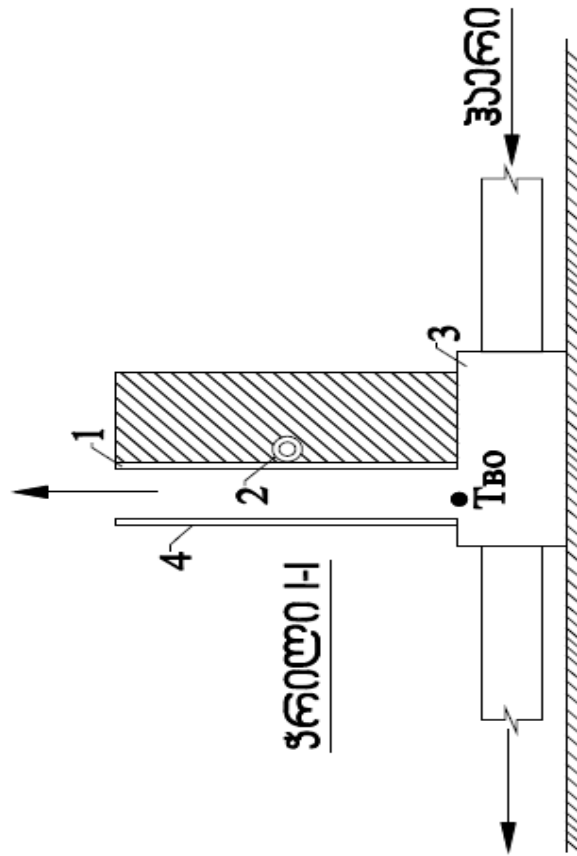
უქანგავი ფოლადისაგან დამზადებული, 0.21მ სიგრძის
გერტიკალური ფირფიტის (1) შუაში მიღულებული იყო მილაკი (2),
რომელშიც ექსპერიმენტის პირობიდან გამომდინარე, მიედინებოდა ცივი
ან თბილი წყალი. ფირფიტა განლაგებული იყო სტატიკურ კამერაზე (3),
რომლის ღრებოდან ჰაერი გარსშემოედინებოდა ფირფიტის გარე
ზედაპირს. ღრებოს სიგანე იცვლებოდა ტიხრის (4) გადაადგილებით.
ფირფიტის მეორე მხარე იყო თბოიზოლირებული. სტატიკური კამერა
მოთავსებული იყო შეკრულკონტურიან აეროდინამიურ მილში, სადაც
ხდებოდა ჰაერის თერმოდინამიური დამუშავება. მილაკში წყლის
ცირკულაციას და საჭირო ტემპერატურას უზრუნველყოფდა
თერმოსტატი (5). ფირფიტის მილაკიდან ზემო ნაწილში ჰაერის ნაკადის
მიმართულება ემთხვეოდა კონდუქტიური სითბოს ნაკადის
მიმართულებას, ქვემო ნაწილში ეს მიმართულებები
ურთიერთსაწინააღმდეგო იყო.

ტემპერატურის განაწილება ფირფიტის სიმაღლეზე
განისაზღვრებოდა ფირფიტის ზედაპირზე მირჩილული ქრომელ-
ალუმელის თერმოწყვილების საშუალებით. ჰაერის ხარჯი ღრებოში
მიიღებოდა როგორც სტატიკური კამერის წინ და მის შემდეგ ჰაერის
ხარჯთა სხვაობა. ეს უკანასკნელი იზომებოდნენ ნორმალური
დიაფრაგმებით. იზომებოდა აგრეთვე სტატიკურ კამერაში ჰაერის
ტემპერატურა და ტენიანობა, მილაკში გამავალი წყლის ტემპერატურა.
ჰაერსა და ფირფიტის ზედაპირს შორის თბოცვლის ზედაპირს შორის
თბოცვლის კოეფიციენტი განისაზღვრებოდა ზემოთმოყვანილი
მეთოდიკის საშუალებით ფორმულა (118).

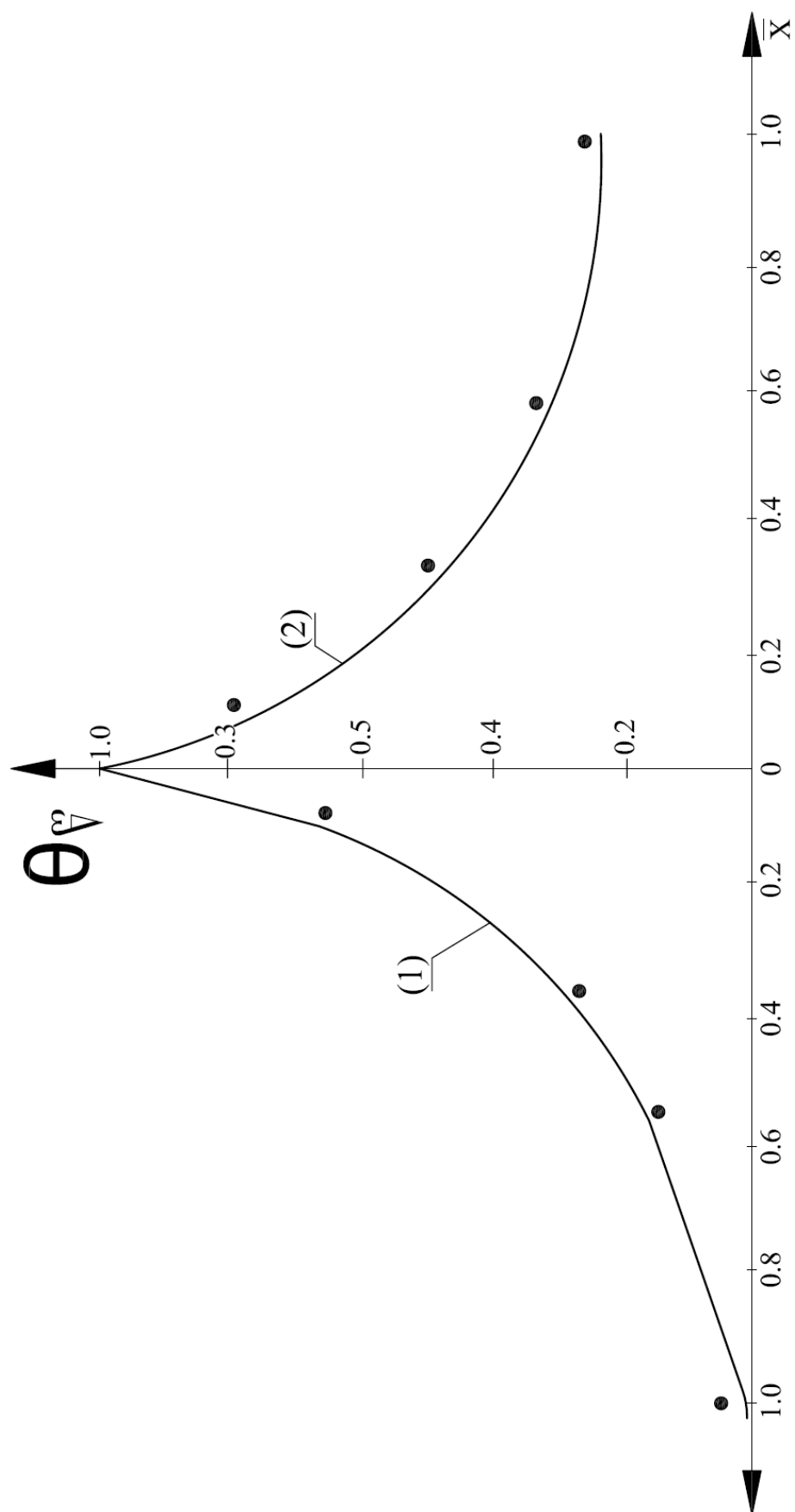
ექსპერიმენტალური გამოკვლევების შედეგები მოცემულია
გრაფიკზე ნახ. 26 უგანზომილებო კოორდინატებში:

$$\theta_{\text{v}} = \frac{T_{\text{v}} - T_{\text{so}}}{T_{\text{vo}} - T_{\text{so}}} \text{ და } \bar{X} = \frac{X}{h}$$

იქვე დატანილია თეორიული მრუდები, აგებული (121) და (122) ფორმულებით (შესაბამისად მრუდები (1) (2)). თეორიული და ექსპერიმენტალური მონაცემების დამაკმაყოფილებელი შეთანაწყობა გვიჩვენებს თეორიული დასკვნების სისწორეს.



ნახ. 25 მეოთხე ექსპერიმენტალური სტენდის სქემა



ნახ. 26 ექსპერიმენტალური გამოკვლევების შედეგები

$$\theta_{\tilde{V}} = \frac{T_{\tilde{V}} - T_{\tilde{V}0}}{T_{\tilde{V}0} - T_{\tilde{V}0}} = \frac{a \left(e^{-k_1 x} - e^{-k_1 h} \right) + k_1 e^{-k_1 x}}{k_1 + a \left(1 - e^{-k_1 h} \right)} \quad (121)$$

$$\theta_{\tilde{V}} = \frac{T_{\tilde{V}} - T_{\tilde{V}0}}{T_{\tilde{V}0} - T_{\tilde{V}0}} = \frac{a}{k_2} \left(1 - e^{-k_2 x} \right) + e^{-k_2 x} \quad (122)$$

თავი 5.1 მშსპერიტენტალური დანაღბარის აღმოჩენა

გამოკვლეულის ჩასატარებლად შექმნილი იქნა სპეციალური ექსპერიმენტალური დანაღგარი, საერთო სახე და სქემა მოცემულია ნახაზზე 21. ის წარმოადგენს აეროდინამიკურ მიღს ჩაკეტილი კონტურით მუშა ნაწილში, რომელსაც აქვს სწორკუთხა ფორმა 360X300 მმ, განთავსებულია საცდელი თბომცვლელი.

სისტემაში ჰაერის გადაადგილება ხდებოდა ცС-30 (1) ტიპის ცენტრიდანული გენტილატორის საშუალებით. გენტილატორის წარმადობა რეგულირდებოდა დროსელიანი დიაფრაგმით (2).

სისტემაში აუცილებელი ტემპერატურა შენარჩუნებული იყო ავტომატური სამარჯვიანი ელექტრო კალორიფერით (4).

ჰაერსადენზე, დიამეტრით 105 მმ, დამონტაჟებული იყო მიღი გენტურა (4). ჰაერის ნაკადის გათანაბრებისათვის მუშა ნაწილის წინ და მის შემდეგ დაყენებული იყო მასწორებელი ცხაურები (7). ჰაერის ხშირი ცვლისათვის გათვალისწინებული იყო დიობები (8).

5.2 საზომი ხელსაჭყოები და გაზომვის მეთოდიკა

ჰაერის ხარჯისა და სიჩქარის გაზომვისათვის, თანამედროვე პირობებში არსებული მეთოდებიდან, ყველაზე მისაღებად ჩავთვალეთ გენტურის მიღის გამოყენების მეთოდი.

ვენტურის მილი გამოთვლილი და კონსტრუირებული იყო ნორმატიული მოთხოვნების შესაბამისად, ამიტომ წნევის ვარდნა შერჩეული იყო მუშა საკანზი ჰაერის შესაძლო სიჩქარისა და მიკრომანომეტრზე წნევის დასაშვები ვარდნის შესაბამისად.

ვენტურის მილის ტარირება წარმოებული იყო კოლექტორის საშუალებით.

ტარირების შედეგებით მიღებული იქნა ჰაერის ხარჯის განსაზღვრისათვის შემდეგი დამოკიდებულება:

$$V = 87,394 \sqrt{\frac{AP_B}{\alpha_{CM}}} \text{ მ}^3/\text{სთ.} \quad (123)$$

სადაც AP_B - წნევის დანაკარგი ვენტურის მილში, მმ. ვ .წყ. სკ. α_{CM} - ჰაერისა და ორთქლის ნარევის მიცულობითი წონა.

ჰაერის, სითხის ნაკადის, სითბოსა და მასათა ცვლის ზედაპირის ტემპერატურე იზომებოდა სპილენძის თერმოწყვილით დანაყოფთა სხვაობოთ $0,1^\circ$.

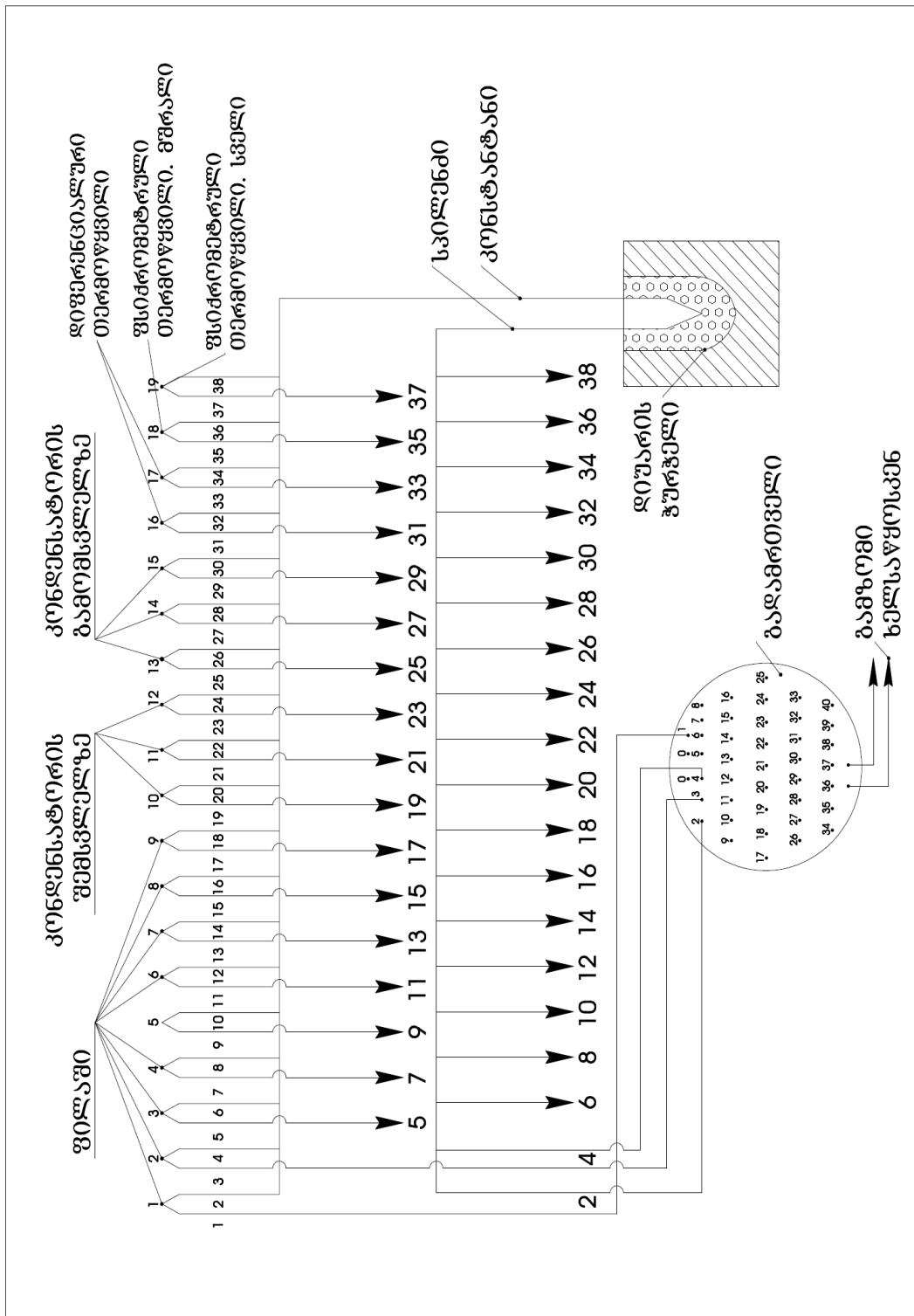
აღნუსხვა ხდებოდა კომპენსაციური მეთოდით.

კონდენსაციის ზედაპირის ტემპერატურის გასაზომად დამონტაჟებული იყო დაფრეზული დარაკში განთავსებული 9 თერმოწყვილი. დარაკში ჩასხმული იყო წებო ნΦ-2-ის და სპილენძის ფხვნილის ნარევი, დახშული იყო სპილენძის ფოლგის ზოლებით. თერმოწყვილების თავები განლაგებულია უშუალოდ ფოლგის ქვეშ, ფოლგის სისქე 0.1 მმ-ია. თერმოწყვილების სადენში სითბოს დანაკარგის შესამცირებლად სადენების მნიშვნელოვანი ნაწილი განლაგებულია იზოთერმულ ზედაპირზე.

სითხის ნაკადის ტემპერატურა, საცდელ თბომცვლელში შესვლაზე და გამოსვლაზე იზომებოდა ვერცხლისწყლის ლაბორატორიული თერმომეტრებით, დანაყოფთა სხვაობით $0,1^\circ$. და აგრეთვე სპილენძის თერმომეტრებით „ცხელი“ დარჩილვით.

ჰაერის ნაკადის ტემპერატურის გაზომვა ხდებოდა სპილენძის დიფერენციალური თერმოწყვილებით, რომლებიც მოჭიმული იყო

სპეციალურ ჩარჩოში და დაყენებული იყო დანაღვარის მუშა ნაწილის შესვლასა და გამოსვლაზე.



ნახ. 27 თერმოწყვილების ელექტრო სქემა

პაერის ნაკადის საშუალო ტემპერატურა მიღებული იქნა ჩვენებების საშუალო არითმეტიკულით.

პაერის ფარდობითი ტენიანობა განისაზღვრებოდა საცდელი თბომცვლელის შესვლასა და გამოსვლაზე დაყენებული ფსიქომეტრების საშუალებით. „სველი” თერმომეტრის დატენიანება ხორციელდებოდა წყლით სავსე მინის მიღაკიდან, რომლის ქვედა ნაწილში ჩაშვებული იყო ვერცხლისწყლის ბურთულით დაფარული ბატისტის შალითა.

სითხის ნაკადის ხარჯი განისაზღვრებოდა წონითი მეთოდით. ამ მიზნისთვის გამოიყენებოდა საზომი ჭურჭელი, რომელიც პერიოდულად, ცდის სტაციონარული რეჟიმის პირობებში შეივსებოდა სითხით და იწონებოდა სასწორზე. ჭურჭლის შევსების დრო იზომებოდა წამზომის, სიზუსტით 0.1 წმ-მდე, სითხის რაოდენობა კი – სიზუსტით 1.0 გ.

ტემპერატურული ველი და პარციალური წნევა, პაერის მოსაზღვრე შრეში სითბოსა და მასათა ცვლის ზედაპირზე, იზომებოდა ფსიქომეტრული თერმოწყვილების საშუალებით. ის შედგება „მშრალი” და „სველი” მშვილდისებრი სპილენძის თერმოწყვილისგან დიამეტრით 0.09 მმ. „სველი” თერმოწყვილის დასველება ხდებოდა დისტილირებული წყლით, რომელიც მიეწოდება ქლორვინილის მიღაკიდან. „სველი” თერმოწყვილი შეხვეული იყო ბატისტის ძაფით, რაც უზრუნველყოფდა მის თანაბარ დასველებას.

მირითადი დასპვები

განსახილები პრობლემებისადმი მიძღვნილ თეორიულ და ექსპერიმენტალურ ნაშრომთა ანალიზი უფლებას გვაძლევს გავაკეთოთ შემდეგი დასკვნები:

მოსარწყავზედაპირიან თბომცვლელ აპარატებში თბოფიზიკური თვალსაზრისით მიმდინარეობს მეტად რთული სითბოსა და მასის ცვლის ერთდროული და ურთიერთდაკავშირებული პროცესები, რომელთაც თან სდევს ასევე რთული მომრწყველი სითხისა და ჰაერის ნაკადების ჰიდროდინამიკა და აეროდინამიკა, გაწიბოვნებულ მეტალურ ზედაპირზე კონდექციური სითბოს გავრცელება.

აღნიშნული საკითხის შესწავლის მიზნით ჩატარებული დღემდე ცნობილი გამოკვლევები ძირითადად ექსპერიმენტალური ხასიათისაა, ხოლო არსებული თეორიული გამოკვლევები მიძღვნილია ცალკეული, კერძო ამოცანების ამოხსნისადმი. არც ერთ ნაშრომში არ არის განხილული გაწიბოვნებულ ზედაპირზე შექმნილი სითხის ნაკადის გავლენა წიბოს ტემპერატურულ ველზე, მაშინ როდესაც მას არსებითი გავლენა აქვს გაწიბოვნებული ზედაპირის ეფექტურობაზე.

გამოკვლეულ იქნა ჰაერის ტემპერატურის ცვლილების გავლენა სწორი წიბოს ტემპერატურულ ველზე და მის ეფექტურობის კოეფიციენტზე წიბოს სისქეში კონდექციური ნაკადისა და ჰაერის ნაკადის ურთიერთმიმართულებათა გათვალისწინებით. მიღებულია წიბოს ტემპერატურული ველის და ეფექტურობის კოეფიციენტის გამოსათვლელი ფორმულები აღნიშნულ ნაკადთა თანმხედრი და ურთიერთსაწინააღმდეგო მიმართულების დროს.

გამოკვლეულ იქნა სწორი წიბო შეუზღუდავი სიგრძით, როცა ჰაერის ნაკადი მოძრაობს წიბოს ფუძის პარალელურად. ამ შემთხვევაში ტემპერატურული ველი წიბოს ზედაპირზე ორგანზომილებიანია. შედგენილია დიფერენციალური განტოლება და ამოხსნილია იგი ცვლადთა განცალკევების მეთოდით. მიღებულია წიბოს ზედაპირის ორგანზომილებიანი ტემპერატურული ველის და წიბოს ეფექტურობის კოეფიციენტის გამოსახულება ჰაერის ტემპერატურის ცვლილების

გათვალისწინებით. დადგენილია, რომ წიბოს სიგრძის გაზრდით იზრდება მისი ეფექტურობის კოეფიციენტი.

გამოკვლეულ იქნა პაერსა და წიბოს ზედაპირს შორის თბოცვლის კოეფიციენტის გავლენა როგორც მშრალი, ასევე მოსარწყავზედაპირიანი წიბოების ეფექტურობის კოეფიციენტზე. მიღებულია, რომ მშრალი წიბოების შემთხვევაში ეს გავლენა შეიმჩნევა წიბოს სიმაღლის ნახევრიდან. მოსარწყავზედაპირიან წიბოებზე წყლის ორთქლის კონდენსაციის დროს თბოცვლის კოეფიციენტის ცვლილება გავლენას ვერ ახდენს ეფექტურობის კოეფიციენტის ზრდაზე მშრალ წიბოებთან შედარებით, რაც საშუალებას იძლევა გაიზარდოს წიბოს სიმაღლე. წყლის აორთქლების შემთხვევაში, თბოცვლის მაღალი კოეფიციენტის გამო, მოსარწყავზედაპირიანი წიბოს ეფექტურობის კოეფიციენტი მცირდება და საჭირო ხდება ძალზე დაბალი წიბოების ან კაპილარული ზედაპირების გამოყენება.

გამოკვლეულ იქნა შემთხვევა როცა სითხის ნაკადი მოძრაობს სწორი წიბოს ფუძის პერპენდიკულარულად. სითხის საწყისი ტემპერატურა და წიბოს ფუძის ტემპერატურა სხვადასხვაა და სითხის ტემპერატურა განსხვავდება წიბოს ზედაპირის ტემპერატურისაგან. მიღებულია ფორმულები სითხის და წიბოს ზედაპირზე ტემპერატურული ველის განსასაზღვრავად. მიღებულია აგრეთვე სწორი წიბოს ეფექტურობის კოეფიციენტის გამოსათვლელი ფორმულა სითხის ორგანიზებული ნაკადის სხვადასხვა მიმართულების, ხარჯისა და საწყისი პარამეტრების შემთხვევაში.

ნაშრომში მოცემულია ადრე მიღებული სითხის ორგანიზებული ნაკადის და პაერის ტემპერატურის ცვლილების გათვალისწინებით მიღებული თეორიული ფორმულების შესამოწმებლად ჩატარებული ექსპერიმენტალური გამოკვლევის შედეგები.

აღნიშნულის ჩასატარებლად შექმნილი იქნა ოთხი ექსპერიმენტალური სტენდი და ექსპერიმენტების შედეგად მიღებული მონაცემები დატანილ იქნა თეორიულ მრუდებთან ერთად. თეორიული და ექსპერიმენტალური მონაცემების დამაკმაყოფილებელმა შეთანაწყობამ გვიჩვენა თეორიული დასკვნების სისწორე.

გამოკვლეულ იქნა სწორი წიბოს ტემპერატურული ველი და მისი ეფექტურობის კოეფიციენტი წიბოს ზედაპირზე სითხის (წყლის) ორგანიზებული ნაკადის ფუძის პერპენდიკულარულად მოძრაობის შემთხვევაში. წიბოების ასეთი კონსტრუქცია ახასიათებს მიღოვანფიტოგან თბომცვლელ აპარატებს აღჭურვილს ოვალური მიღებით, (ან როცა მრგვალი მიღები ჰორიზონტალურ სიბრტყეში ერთმანეთთან ახლოსაა განლაგებული). გამოკვლევები ჩატარდა ორი შემთხვევისთვის: როცა სითხის და წიბოს ზედაპირის ტემპერატურა ერთმანეთს ემთხვევა და როცა ეს ტემპერატურები განსხვავდება ერთმანეთისგან. მიღებულია წიბოს ზედაპირზე ტემპერატურის განაწილების და წიბოს ეფექტურობის კოეფიციენტის გამოსათვლელი ანალიზური ფორმულები თრივე შემთხვევისთვის, რომელთა მიხედვით დასტურდება, რომ სითხის ორგანიზებული ნაკადის დროს წიბოს ზედაპირის საშუალო ტემპერატურა გაცილებით ახლოა მისი ფუძის (მილის ზედაპირის) ტემპერატურასთან ვიდრე „მშრალი“ წიბოს საშუალო ტემპერატურა. შედეგად იზრდება წიბოს ეფექტურობის კოეფიციენტის მნიშვნელობა (სითხის ხარჯის პროპორციულად)

გამოკვლეულ იქნა სწორი წიბოს ზედაპირის ორგანზომილებიანი ტემპერატურული ველი ორგანიზებული სითხის ნაკადის წიბოს ფუძის პარალელურად მოძრაობის შემთხვევაში. ასეთ პროცესს ადგილი აქვს თბომცვლელ აპარატებში, სადაც ვერტიკალურ მიღებზე მოწყობილია სპირალურად დახვეული სწორი წიბოები. გამოკვლეულია აგრეთვე ვენტილაცია - პაერის კონდიცირების სისტემებში ყველაზე მეტად გავრცელებული მრგვალი წიბოების ზედაპირის ტემპერატურული ველი სითხით მოწყვის დროს. თრივე შემთხვევისთვის მიღებულია წიბოს ზედაპირზე ტემპერატურის განაწილების, საშუალო ტემპერატურის და წიბოს ეფექტურობის კოეფიციენტის ანალიზური ფორმულები.

გამოკვლევებით დადასტურდა, რომ სითხის (წყლის) ორგანიზებული ნაკადი წიბოს ზედაპირზე ზრდის წიბოს ეფექტურობის კოეფიციენტს მით მეტად, რაც მეტია სითხის ხარჯი. შედეგად წიბოს ოპტიმალური ეფექტურობის კოეფიციენტის ($\eta = 0,8 \div 0,85$) შენარჩუნების პირობებში შესაძლებელია მნიშვნელოვნად შევამციროთ (2-ჯერ და

მეტად) მიღების რაოდენობა თბომცვლელ აპარატში, რაც იძლევა მეტალის ხარჯის მნიშვნელოვან ეკონომიას. აღნიშნული დონისძიებები შესაძლებელია განხორციელდეს როგორც ცენტრალურ, ასევე ადგილობრივ კონდიციონირებში.

ՀԱՅԱՍՏԱՆԻ

1. Богословский, В. Н. Поз. М. Я. Теплофизика аппаратов утилизации тепла систем отопления, вентиляции и кондиционирования воздуха, М. Стройиздат, 1980 стр 49-56.
2. Керн. Д. Краус А. Развитые поверхности теплообмена (Пер. сангл.яз) М. Энергия, 1977. 76-135 стр.
3. Исаченко В. П. Осипова В. А. Сукомел А. С. теплопередача. М: Энергия, 1975, 48-60 стр.
4. Богословский В. Н. строительная теплофизика. Уч. для вузов, 2-е изд.-М. Высшая школа, 1982. 415 с.
5. Галант Ю.Г. Исследование процессов теплопередачи, гидродинамики и особенностей использования оребренных орошаемых теплообменников систем вентиляции и кондиционирования для нагревания и увлажнения воздуха. Автореферат дис. на соиск. учен. степени канд. тех. наук. М. 1978 с. 10-11.
6. Поз М. Я. Галант Ю. Г. Аналитическое и экспериментальное исследование процессов тепло-и влагообмена в орошаемых поверхностных теплообменниках. Вкн: Системы инженерного оборудования зданий. М. Стройиздат. 1980. С. 166-190.
7. Сасин В. И. Интенсификация наружного теплообмена в трубчато-пластинчатых теплообменниках и их конструктивное совершенствование. Автореферат дис. на соиск. учен. степени канд. тех. наук. М. 1966.
8. Сасин В. И. Перспективы развития калориферостроения. Обзор. -М. ЦНИИТЭ строймаш, 1970. 44 с.
9. Михеев М. А. Михеева И.М. – Основы теплопередачи „Энергия”, М. 1973.
10. Грудзинский М. М, Галант Ю. Г. Нагревание и увлажнение воздуха в орошательных теплообменниках-В кн.:инженерное оборудование зданий. М. МНИИТЭП, 1972, с. 125-138
11. Баркалов Б. В. Карпис Е. Е. Кондиционирование воздуха в промышленных, общественных зданиях. М. Стройиздат, 1971. 269 с
12. Шнейдер П. Инженерные проблемы теплопроводности. М. Издательство иностранной литературы, 1960, с 78-81.
13. Han L. S. Lefkowitz S. G. ASME Paper 60-WA-41, 1960
14. Chen S. Y. Ryckowcki G. L. ASME Paper 63-HT-12, 1963.
15. Vind T.H. private comunicasian, 1966

16. Gardner K. A. General Discussion on Heat Transfer, Institute of Mechanical Engineers (London), 1951, p. 214.
17. Зусманович Л. М. Оросительные камеры установок искусственного климата. М. Машиностроение, 1967, с. 110.
18. Гоголин А. А Кондиционирование воздуха в мясной промышленности. М. Пищевая промышленность, 1960.
19. Пчелкин И. М. В кн. Конвективный и лучистый теплообмен. М. Изд-во АН СССР, 1960, с 56-64.
20. Grande Figahts Air conditioning in Computer Rooms – Heating and air conditioning, 1964, vol 33 №4 p. 274-280.
21. Rohrer F. Rechenrenten Planung von Bau und Einrichtung Munchen, 1970 167s. Пер №93708 М, ВНИИТИ 1972.
22. Гоголин А. А. Технологическое кондиционирование воздуха в мясной и молочной промышленности, Сб. Трудов, М. 1973 с. 7.
23. Карпич Е. Е. и др. Устройства для увлажнения воздуха в системах кондиционирования и вентиляции (обзор), М. 1975.
24. stepnich Iran C. Humidification By infrared, Heating, piping, air conditioning. March, 1973 №21.
25. Трускова Л. А. Автономный увлажнитель воздуха. Технологическое кондиционирование воздуха в мясной и молочной промышленности, Сб. Трудов, ВНИХИ, М. 1973 с. 53-58.
26. Иоган Ау Цингел. Устройства для увлажнения воздуха. Патент №314148, Австрия, 1973.
27. Воронцов Е. Г. Тананайко Ю. М. Теплообмен в жидкостных пленках. Киев, 1972.
28. Хоблер Т. Теплопередача и Термообменники, Госхимиздат, Ленинград, 1961.
29. Мак-Адамс В. Х. Теплопередача. М. Металлургиздат, 1961.
30. Кичигин М. А. Тобилевич Н. Ю. Сборник работ КФ ЦИНС за 1946-1949 г.г. Киев 1951.
31. Ратиани Г. В. Мествиришвили Ш. А. Шекриладзе И. Г. Анализ двух случаев испарения с поверхности тонких ламинарных пленок. Сообщ. АН ГССР. 1969. Т.55, №3 с. 645-649.
32. Васильев Л. Л. Конев С. В. Теплопередающие Трубки. Минск. Наука и техника, 1972, 152с.

33. Мориц. Влияние геометрии капилляров на максимальную тепловую нагрузку в тепловых трубах. Тепловые трубы. М. Мир, 1972 с. 33-117.
34. Форелл, Джонсон. Механизм теплообмена в испарительной зоне тепловой трубы. Тепловые трубы. М. Мир, 1972 с. 33-117.
35. Лейман, Хуанг. Анализ распределения температуры в фитилях тепловых труб. Тепловые трубы. М. Мир, 1972 с. 9-32.
36. Gregorig R. Hautkondensation on feingewelten Oberflacken bei Berucksichtigung der oberflackenspannungen. ZAMP. 1954. Bd.5. №1. S. 36-49.
37. Шекриладзе И. Г. Русишвили Д. Г. Исследование процессов фазовых превращений на капиллярных поверхностях. Термофизические Исследования-79. Часть 2. Обнинск: ФЭИ, 1980 с. 13-19.
38. Тепловые трубы для систем термостабилизации. Под редакцией И. Г. Шекриладзе, М. Энергоатомиздат. 1991. с. 77-86.
39. Левич В. Г. Физико-химическая гидродинамика. М. Физматгиз, 1959, 699 с.
40. Камке Э. Справочник по обыкновенным дифференциальным уравнениям. 3-е изд. М. Наука, 1965.
41. Нестеренко А. В. Основы термодинамических расчетов вентиляции и кондиционирования воздуха, М. Высшая школа, 1971, с. 274.
42. Нестеренко А. В. Экспериментальное исследование тепло и массообмена при испарении жидкости со свободной поверхности. ЖТФ АН СССР, Т. 24. №4, 1954.
43. Смольский Б. М. Внешний тепло и массообмен в процессе конвективной сушки, Минск, 1957.
44. Nguyen-Van-huong. Transfert de chaleur et de masse dans les batteries a aillettes. Thermigue et Aerauligue. №2, 1970.
45. Карпис Е. Е. Исследование и расчет поверхностных ребристых воздухоохладителей. В. сб. „кондиционирование воздуха в промышленных и общественных зданиях”. М. Госстройиздат. 1962.
46. Гоголин А. А. Медникова Н. М. О расчете испарительных конденсаторов. Холодильная техника, 1978, №2.
47. Минин В. Е. Теплотехнические и аэродинамические характеристики воздухоохладителей из алюминиевых трубок с накатными ребрами. Труды ВНИИ кондвестмаша, выпл. 2. М. 1973.
48. Минин В. Е. орошаемые поверхностные теплообменники. В. Кн. кондиционирование воздуха в промышленных и гражданских зданиях. Л. 1974.

49. Бялый Б. И. Куликов Г. С. Русланов Г. В. Поверхностные орошающие теплообменники. В кн: Вентиляция и кондиционирование воздуха. Межвузовский тематический сборник №6, Рига, 1973.
50. Купленов Н. И. О расчете орошаемых теплообменников. Холодильная техника, 1978, №12.
51. Купленов Н. И. Минин В. Е. Тепломассообмен в орешающих горизонтальных теплообменниках Холодильная техника. 1980, №8
52. Куликов Г. С. Русланов Г. В. Исследование процессов тепломассообмена в поверхностных орошаемых теплообменниках. В кн: кондиционирование воздуха, Харьков, 1975, вып.4.
53. Кокорин О. Я. Установки кондиционирования воздуха. Н. Машиностроение. 1978. 264 с.
54. Кокорин О. Я. Испарительное охлаждение для целей кондиционирования воздуха. Н. Стройиздат, 1965.
55. Раяк М. Б. Экспериментальное исследование пластинчатого теплообменника Косвенного испарительного охлаждения с проволочным оребрением. Труды НИИСТ, 1966 №18.
56. Галант Ю. Г. Орошающие теплообменники в системах вентиляции и кондиционирования воздуха для нагревания и увлажнения воздуха. Водоснабжение и санитарная техника, 1975, №8.
57. Боровков В. С. Майрановский Ф. Г. Аэрогидродинамика систем вентиляции и кондиционирования воздуха. Н. Стройиздат, 1978.
58. Барский Н. А. Купленов Н. И. Тепло-и массообмен в абсорбционной установке кондиционирование воздуха. Холодильная техника, 1976, №3.
59. Чихладзе В. В. исследование эрлифтного контактного аппарата для систем кондиционирования воздуха. В. сб: „кондиционирование воздуха в общественных зданиях, М. Стройиздат, 1970.
60. Prandtle L. Verharde. D. III intern. Match. Kongr, Heidelberg, 1904.
61. Blasius H. Zs. Match Phys. №56, 1908.
62. Crocco L. Monografie Shientifiche di Aeronautica, Roma, 3, 1946.
63. Van-Driest E. R. NACA, TN, 1952.
64. Nartnert I. P. Eckert E. R. G. Trans. Asme, №2, Vol 79, 1957.
65. Karman T. ZAMM, №4, 1921.
66. Polehausen K. ZAMM, №1, 1921.

67. Александров А. Н. ЖТФ, VIII, вып 22-23, 1938.
68. Лейбензон Л. С. Труды ЦАГИ, вып. 240, 1935.
69. Мельников А. П. Труды Ленинградского института инженеров гражданского воздушного флота, вын. 12, 1938.
70. Федяевский К. К. Техника воздушного флота, №7-8, 1939.
71. Кружилин Г. Н. ЖТФ, VI, вын 3, 1936.
72. Калихман Л. Е. Прикладная математика и механика, X вып 4, 1946.
73. Кочин Н. Е. Лояцянский Л. Г. Доклады АН СССР, 36, №9, 1942.
74. Лояцянский Л. Г. Доклады АН СССР, 35, №8, 1942.
75. Басин А. М. Доклады АН СССР, 40, №1, 1942.
76. Ginzel I. ZAMM, 29, №11, 1949.
77. Buri A. Brit. Ministry Aircraft Production R. T. R. Transl, 2073, From Thesis, 652, Federal Tech. College, Zurich, 1931.
78. Cruswitz E. Ing-Arch. №2, 1931.
79. Doenhoff A. E. Teterin N. NACA, Rept, 1943
80. Эккерт Э. Р. и Драйк Р. М. Теория тепло – и массообмена, Госэнергоиздат, москва-ленинград, 1961.
81. Ranni W.D. Calif. Inst. Technol. Iet Propul. Lab. Progresse Rept. 1947.
82. Tamaki A. Rep. Inst. Indust. Sei. Univ. Tokyo, Vol. №8, 1951.
83. Nakamura H. Bulletion of ISME, vol, 5, №18, 1962.
84. Reynolds O. Proc. Roy. Soc. London, Vol. 21, №144, 1873.
85. Othmer D. F. Ind. Eng. chem. Vol. 21, №6, 1929.
86. Langen E. Forshh. Ing-Wes. Bd. 2, №10, 1931.
87. Гудемчук В. А. Известни ВТИ, №12, 1935.
88. Кутателадзе С. С. Теплоотдела ири конденсации и Кипении, Машгиз, 1952.
89. Брдлик П. М. Кондидатская диссертация, Москва, 1955.
90. Мак-Адамс В. Теплопередела, ОНТИ, 1936.
91. Colburn A. P. Hougen O. A. Ind. Eng. Chem. Vol. 22, №5, 1930.

92. Meisenburg S. Boats R. and Badger W. Trans. Inst. Chem. Eng. V.31, 1936.
93. Вишневекий К. П. Кандидатская диссертация, Минск, 1949.
94. Мазюкович И. В. Сб. Вопросы теплообмена ири изменении агрегатного состояния вещества, 1953.
95. Берман Л. Д. Фукс С.Н. Известия ВТИ, №11, 1952.
96. Фукс С. Н. Кандидатская диссертация, Москва, 1950.
97. Семеин В. М. Кандидатская диссертация, Иваново, 1954.
98. Фастровский В. Г. Ровинский А. Е. Известия ВТИ, №1950.
99. Trapanese G. Supplement au Bulletin de l' Institut International du froid, Paris, 1957.
100. Комаров И. А. Известия вузов, „Химия и химическая технология“ №3, 1962.
101. Комаров И. А. ИФЖ, VIII, №5, 1965.
102. Сергазин Ж. Ф. Кандидатская диссертация, Москва, 1965.
103. Ладыженский Р. П. кондиционирование воздуха, Госторгиздат, 1962.
104. Петухов Б. С. Детлаф А. А. Кирилин В.В. Журнал технической физики, Т. XXIV, вып. 10, 1954.
105. Щиголев Б. М. Математическая обработка наблюдений, Физматгиз, 1962.
106. Акменс П. Ю. Применение увлажнителей воздуха с открытой подогреваемой поверхностью испарения. – В кн. Вентиляция и кондиционирование воздуха, сб. №8, Рига, 1975, с. 3-10.
107. Акменс П. Ю. Экспериментальное Исследование паровых увлажнителей с открытой подогреваемой поверхностью испарения. – Вкн. Вентиляция и кондиционирование воздуха, сб. №9, Рига, 1977, с. 3-8.
108. Вукелович М. П. Кирилин В. А. Ремизов С. А. Силецкий В. С. Тимофеев В. Н. Термодинамические свойства газов, Машгиз, 1953.
109. Rossie K. Forsch. Ing-Wes. Bd. 19. 1953.
110. Монин А. С. Яглом А. М. Статистическая гидромеханика. Ч. 1 и 2. М. Наука, 1965, 639 и 740 с.
111. Lewis W. „Mech End.“ №4, 1922.
112. Карпис Е. Е. Сб. НТО Стройиндустрии – Проектирование отопления, Вентиляция и кондиционирования воздуха жилых и общественных зданий, Госстройиздат, М.1959.

113. Зусманович Л. М. Оросительные камеры установок искусственного климата, Машиностроения, М. 1967.
114. Энергосбережение в системах теплоснабжения, вентиляции и кондиционирование воздуха. Под редакцией Л.Д. Богуславского и В.И. Ливчака, Москва, Стройиздат, 1990, с.
115. Нестеренко А. В. Тепло-и массообмен при испарении жидкости. Тепло-и массообмен в процессах испарения. Сборник трудов ЭНИНа, Изд-во АН СССР, 1958.
116. Петров Л. В. испарение воды в условиях свободной конвекции и вынужденного движения воздуха Сб. „Межотраслевые вопросы строительства” (отечественный опыт), ЦНИИС, вып 8. 1970.
117. Renz W. and Marshall W. Evaporation from drops. Chemical Engineering Progress, March 1952.
118. Лыков А. В. Тепло-и массообмен в процессах сушки. Госэнергоиздат, 1956.
119. Сорокин Н. С. вентиляция, увлажнение и отопление на текстильных фабриках. Гизлегпром, 1953.
120. Указания по проектированию отопление, вентиляции и кондиционирование воздуха шерстяных фабрик текстильной промышленности ВСН2-67 МЛП СССР, М. 1968.
121. Корокин Н. С. вентиляция, отопление и кондиционирование воздуха на текстильных предприятиях, Изд-во „легкая индустрия”, М, 1974.
122. Абрамович Г. Н. Прикладная газовая динамика. М. Наука, 1969.
123. Дейч М. Е. техническая газодинамика. М. Госэнергоиздат, 1961.
124. Nalupcak I. Poddrukowe stumienice gazowe. Wroclaw, 1975.